

Px4 平台之我见

Author: jingwenyi

| | |
|----------------------------------|-----|
| Px4 平台之我见..... | 1 |
| 第一章 各传感器数据的更新流程..... | 2 |
| 第一节 imu 数据更新代码流程..... | 2 |
| 第二节 gps 数据更新代码流程..... | 4 |
| 第三节 rc 数据处理流程..... | 5 |
| 第二章 代码分析基础知识..... | 7 |
| 第一节 3X3 矩阵操作..... | 7 |
| 第二节 飞行器的三种模式介绍..... | 14 |
| 第三节 22 状态 EKF 滤波..... | 18 |
| 第四节 Pxio..... | 21 |
| 第五节 kalman 滤波..... | 24 |
| 第三章 px4 各种模式的分析..... | 29 |
| 第一节 悬停模式..... | 29 |
| 第四章 ekf 和 dcm 对数据的处理..... | 41 |
| 第一节 ekf 和 dcm 代码总体流程介绍..... | 41 |
| 第二节 Ekf 状态方程分析..... | 42 |
| 第三节 空速传感器 ekf 代码分析..... | 61 |
| 第三节 磁力计 ekf 算法分析..... | 66 |
| 第四节 速度和位置的 kalman filter 算法..... | 76 |
| 第五章 mavlink 与地面站的通信..... | 86 |
| 第一节 mavlink 协议..... | 86 |
| 第六章 Pid 控制..... | 124 |
| 第七章 相关实验测试..... | 125 |
| 实验一 IMU 减振实验报告分析..... | 125 |

第一章 各传感器数据的更新流程

第一节 imu 数据更新代码流程

```

void Copter::loop()
{
    fast_loop();
}--->
void Copter::fast_loop()
{
    read_AHRS();
}--->
void Copter::read_AHRS(void)
{
    //这个地方调用了 AP_AHRS_NavEKF 中的 update, 而不是 AP_AHRS_DCM 的 update
    ahrs.update();
}--->
void AP_AHRS_NavEKF::update(void)
{
    AP_AHRS_DCM::update(); //这里直接调用了 AP_AHRS_DCM 的 update
}--->
AP_AHRS_DCM::update(void)
{
    //跟新 imu 的值
    _ins.update();
}--->
void AP_InertialSensor::update(void)
{
    for (uint8_t i=0; i<_backend_count; i++) {
        _backends[i]->update(); //imu 更新
    }
}--->
bool AP_InertialSensor_PX4::update(void)
{
    _get_sample(); //读取 imu 的数据

    //将加速度计的值付给 AP_InertialSensor 结构体 _accel 成员
    _publish_accel(_accel_instance[k], accel, false);
    //将加速度计对时间积分的速度付给 AP_InertialSensor 结构体
    _delta_velocity
    _publish_delta_velocity(_accel_instance[k],
        _delta_velocity_accumulator[k], _delta_velocity_dt[k]);
}

```

```

//将陀螺仪的值付给 AP_InertialSensor 结构体_gyro 成员
_publish_gyro(_gyro_instance[k], gyro, false);
//将 ekf 需要使用的值保持到 AP_InertialSensor 结构体_delta_angle
_publish_delta_angle(_gyro_instance[k],
                    _delta_angle_accumulator[k]);
}
_get_sample 简单分析
void AP_InertialSensor_PX4::_get_sample()
{
    //获取陀螺仪数据
    bool gyro_valid = _get_gyro_sample(i, gyro_report);
    //获取加速度计数据
    bool accel_valid = _get_accel_sample(i, accel_report);
    .....
    //处理采样的数据，并保存到 AP_InertialSensor_PX4
    _new_gyro_sample(i, gyro_report);
    _new_gyro_sample(i, gyro_report);
    .....
}

-->AP_InertialSensor_PX4::_new_accel_sample(. ....)
{
    //将加速度的数据加入到_accel_in
    _accel_in[i] = _accel_filter[i].apply(accel);
    // 将加速度对时间积分算出速度，供 ekf 使用
    Vector3f delVel = Vector3f(accel.x, accel.y, accel.z) * dt;
    _delta_velocity_accumulator[i] += delVel;
    _delta_velocity_dt[i] += dt;
}

-->AP_InertialSensor_PX4::_new_gyro_sample(. ....)
{
    //将陀螺仪的数据记录到_gyro_in 中
    _gyro_in[i] = _gyro_filter[i].apply(gyro);
    //计算角度的累积值供 ekf 使用
    //http://www.sage.unsw.edu.au/snap/publications/tian_etal2010b.pdf
    Vector3f delConing = ((_delta_angle_accumulator[i]+
                        _last_delAng[i]*(1.0f/6.0f)) % delAng) * 0.5f;
    _delta_angle_accumulator[i] += delAng + delConing;
}

```

第二节 gps 数据更新代码流程

```
//启动一个跟新 gps 的任务
{ SCHED_TASK(update_GPS),          8,      200 }--->
void Copter::update_GPS(void)
{
    gps.update(); //更新 gps 数据
    //将 gps 数据写入 flash
    DataFlash.Log_Write_GPS(gps, i, current_loc.alt);
}--->
Void AP_GPS::update(void)
{
    update_instance(i);
}--->
AP_GPS::update_instance(uint8_t instance)
{
    bool result = drivers[instance]->read();
}--->
AP_GPS_PX4::read(void)//jwy gps read
{
    //从串口读
    if (OK == orb_copy(ORB_ID(vehicle_gps_position), _gps_sub, &_gps_pos)) {

        if (_gps_pos.fix_type >= 2) { //保存位置数据
            state.location.lat = _gps_pos.lat;
            state.location.lng = _gps_pos.lon;
            state.location.alt = _gps_pos.alt/10;

            state.ground_speed = _gps_pos.vel_m_s;
            state.ground_course_cd = int32_t(double(_gps_pos.cog_rad) / M_PI *
18000. +.5);

            // convert epoch timestamp back to gps epoch - evil hack until we get the
genuine

            // raw week information (or APM switches to Posix epoch ;-))
            uint64_t epoch_ms = uint64_t(_gps_pos.time_utc_usec/1000.+5);
            uint64_t gps_ms = epoch_ms - DELTA_POSIX_GPS_EPOCH +
LEAP_MS_GPS_2014;
            state.time_week = uint16_t(gps_ms / uint64_t(MS_PER_WEEK));
            state.time_week_ms = uint32_t(gps_ms -
uint64_t(state.time_week)*MS_PER_WEEK);

            if (_gps_pos.time_utc_usec == 0) {
                // This is a work-around for
```

<https://github.com/PX4/Firmware/issues/1474>

```

        // reject position reports with invalid time, as APM adjusts it's clock
        after the first lock has been aquired
        state.status = AP_GPS::NO_FIX;
    }
}
if(_gps_pos.fix_type >= 3) { //保存速度信息
    state.have_vertical_velocity = _gps_pos.vel_ned_valid;
    state.velocity.x = _gps_pos.vel_n_m_s;
    state.velocity.y = _gps_pos.vel_e_m_s;
    state.velocity.z = _gps_pos.vel_d_m_s;
}
}

```

第三节 rc 数据处理流程

```

//启动一个 rc 任务
{ SCHED_TASK(rc_loop),          4,      130 }-->
void Copter::rc_loop()
{
    read_radio(); //读取遥控器传来的 rc 值
    read_control_switch(); //切换飞行模式
}--->
//获取信道的 pwm 值
void Copter::read_radio()
{
    .....
    //获得所有信道的 pwm 值，这里最后调用的 PX4RCInput 中的 read
    RC_Channel::set_pwm_all();
    .....
}
//切换信道
void Copter::read_control_switch()
{
    int8_t switch_position;
    //模式切换的信道为信道 5，一共可配置 6 种模式，六种模式对应的 pwm 值
    如下
    if      (g.rc_5.radio_in < 1231) switch_position = 0;
    else if (g.rc_5.radio_in < 1361) switch_position = 1;
    else if (g.rc_5.radio_in < 1491) switch_position = 2;

```

```

else if (g.rc_5.radio_in < 1621) switch_position = 3;
else if (g.rc_5.radio_in < 1750) switch_position = 4;
else switch_position = 5;
.....
//进行模式切换，这里需要说明的是，这个地方只选择了第几种模式，至于
该模式下是那种飞行模式，需要在 misson 软件中配置
if (set_mode(flight_modes[switch_position]))
.....
}-->
bool Copter::set_mode(uint8_t mode)
{

}

```

到了这里下面就不用分析了，基本都懂。

Rc 在驱动中的处理过程

Rc 的接口为

```

class AP_HAL::RCInput {
};

```

其实现类为

```

class PX4::PX4RCInput : public AP_HAL::RCInput {
.....
//为上次提供了两个读_rcin 中信道值的函数
uint16_t read(uint8_t ch);
uint8_t read(uint16_t* periods, uint8_t len);
void _timer_tick(void);
.....
private:
struct rc_input_values _rcin;
};
//系统刚启动时，启动了这个定时器
void PX4RCInput::_timer_tick(void)
{
//读取遥控器的 pwm 数据保存到 18 个信道中_rcin 的
//values[RC_INPUT_MAX_CHANNELS]变量中
orb_copy(ORB_ID(input_rc), _rc_sub, &_rcin);
}

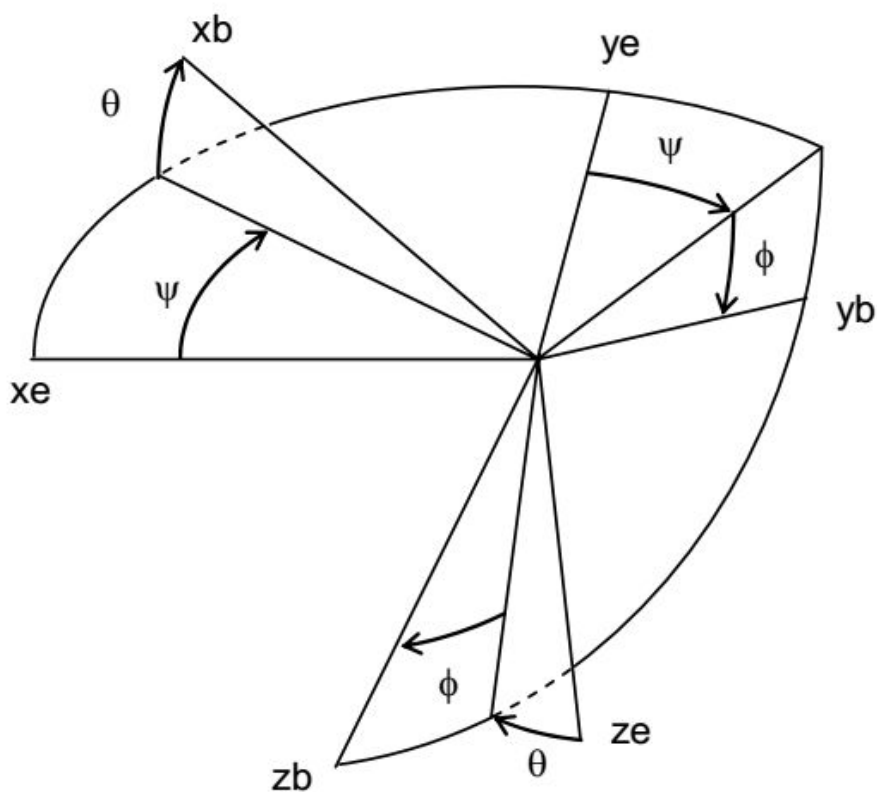
```

第二章 代码分析基础知识

第一节 3X3 矩阵操作

1、如何通过角度值求 DCM 矩阵

飞机和地球坐标系建立如下图



其中 x_e 、 y_e 、 z_e 是地球坐标系， z_e 指向地心， x_e 指向正东方， y_e 指向正北方； x_b 、 y_b 、 z_b 为机体坐标系；

第一步：假设我站在机体坐标中，我需要通过先绕 X_b 轴旋转 ϕ ，再旋转 Y_b 轴旋转 θ ，最后绕 Z_b 轴旋转 ψ ，回到地球坐标系；先求出每次旋转的矩阵。

如果绕机体 X 轴旋转的角度为 ϕ ，那么

$$L(\phi) = \begin{bmatrix} 1 & 0 & 0 \\ 0 & \cos \phi & -\sin \phi \\ 0 & \sin \phi & \cos \phi \end{bmatrix};$$

如果绕机体 Y 轴旋转的角度为 θ ，那么

$$L(\theta) = \begin{bmatrix} \cos \theta & 0 & \sin \theta \\ 0 & 1 & 0 \\ -\sin \theta & 0 & \cos \theta \end{bmatrix};$$

如果绕机体 Z 轴旋转的角度为 ψ ，那么

$$L(\psi) = \begin{bmatrix} \cos \psi & -\sin \psi & 0 \\ \sin \psi & \cos \psi & 0 \\ 0 & 0 & 1 \end{bmatrix};$$

第二步：由于站在机体坐标上需要按照 X→Y→Z 的顺序，经过 3 次旋转，才能回到地球坐标系；反过来如果站在地球坐标系，则需要经过 Z→Y→X 的三次旋转才能到达机体坐标系；因为我们可以列出从地球坐标系到机体坐标系的 DCM 矩阵。

$$L(\phi, \theta, \psi) = L(\psi) * L(\theta) * L(\phi);$$

计算得：

$$L(\phi, \theta, \psi) = \begin{bmatrix} \cos \theta \cos \psi & \sin \phi \sin \theta \cos \psi - \cos \phi \sin \psi & \cos \phi \sin \theta \cos \psi + \sin \phi \sin \psi \\ \cos \theta \sin \psi & \sin \phi \sin \theta \sin \psi + \cos \phi \cos \psi & \cos \phi \sin \theta \sin \psi - \sin \phi \cos \psi \\ -\sin \theta & \sin \phi \cos \theta & \cos \phi \cos \theta \end{bmatrix}$$

这个公式表示的是地轴系与体坐标的方向余弦的关系，该公式对应的矩阵值为

$$\mathbf{R} = \begin{bmatrix} r_{xx} & r_{xy} & r_{xz} \\ r_{yx} & r_{yy} & r_{yz} \\ r_{zx} & r_{zy} & r_{zz} \end{bmatrix} = \text{rotation matrix}$$

本文解析的代码在 matrix3.cpp 中

我进行转换下

设

$$L(\phi, \theta, \psi) = \begin{bmatrix} a \\ b \\ c \end{bmatrix} = \begin{bmatrix} a_x & a_y & a_z \\ b_x & b_y & b_z \\ c_x & c_y & c_z \end{bmatrix};$$

以上整个求解过程是对 matrix3.cpp 代码中 from_euler 函数的解析


```

template <typename T>
void Matrix3<T>::from_euler(float roll, float pitch, float yaw)
{
    float cp = cosf(pitch); //pitch 表示俯仰相对于地球坐标系的角度值
    float sp = sinf(pitch);
    float sr = sinf(roll); //roll 表示横滚相对于地球坐标系的角度值
    float cr = cosf(roll);
    float sy = sinf(yaw); //yaw 表示偏航相对于地球坐标的角度值
    float cy = cosf(yaw);

    a.x = cp * cy;
    a.y = (sr * sp * cy) - (cr * sy);
    a.z = (cr * sp * cy) + (sr * sy);
    b.x = cp * sy;
    b.y = (sr * sp * sy) + (cr * cy);
    b.z = (cr * sp * sy) - (sr * cy);
    c.x = -sp;
    c.y = sr * cp;
    c.z = cr * cp;
}

```

2、如何通过 DCM 矩阵值来求角度值

数学公式：

$$\theta = -\arcsin(r_{zx})$$

$$\phi = \operatorname{atan} 2(r_{zy}, r_{zz})$$

$$\psi = \operatorname{atan} 2(r_{yx}, r_{xx})$$

函数 to_euler 式通过上面的 3 个公式求出对应的角度的

```

template <typename T>
void Matrix3<T>::to_euler(float *roll, float *pitch, float *yaw) const
{
    if (pitch != NULL) {
        *pitch = -safe_asin(c.x);
    }
    if (roll != NULL) {
        *roll = atan2f(c.y, c.z);
    }
    if (yaw != NULL) {
        *yaw = atan2f(b.x, a.x);
    }
}

```

3、从地球坐标系到体坐标系，按照 Z→X→Y 轴的顺序旋转可以得到

$$L(\phi, \theta, \psi) = L(\psi) * L(\phi) * L(\theta)$$

计算得：

$$L(\phi, \theta, \psi) = \begin{bmatrix} \cos \theta \cos \psi - \sin \phi \sin \theta \sin \psi & -\sin \phi \sin \psi & \cos \theta \cos \psi + \sin \phi \cos \theta \sin \psi \\ \cos \theta \sin \psi + \sin \phi \sin \theta \cos \psi & \cos \phi \cos \psi & \sin \theta \sin \psi - \sin \phi \cos \theta \cos \psi \\ -\cos \phi \sin \theta & \sin \phi & \cos \phi \cos \theta \end{bmatrix}$$

对应的函数为

```
template <typename T>
void Matrix3<T>::from_euler312(float roll, float pitch, float yaw)
{
    float c3 = cosf(pitch);
    float s3 = sinf(pitch);
    float s2 = sinf(roll);
    float c2 = cosf(roll);
    float s1 = sinf(yaw);
    float c1 = cosf(yaw);

    a.x = c1 * c3 - s1 * s2 * s3;
    b.y = c1 * c2;
    c.z = c3 * c2;
    a.y = -c2*s1;
    a.z = s3*c1 + c3*s2*s1;
    b.x = c3*s1 + s3*s2*c1;
    b.z = s1*s3 - s2*c1*c3;
    c.x = -s3*c2;
    c.y = s2;
}
```

4、根据陀螺仪的角度值，来计算当前机体的姿态 DCM 矩阵

其使用的方法是：机体坐标的每个轴的向量与 g(陀螺仪改变的角度向量)求叉积，这里求的是角度改变后，姿态在各个方向上的变化量，所以最后使用了矩阵的加法

```
template <typename T>
void Matrix3<T>::rotate(const Vector3<T> &g) //jwy
{
    Matrix3<T> temp_matrix;
    //a1 = axg
    temp_matrix.a.x = a.y * g.z - a.z * g.y;
    temp_matrix.a.y = a.z * g.x - a.x * g.z;
    temp_matrix.a.z = a.x * g.y - a.y * g.x;
```

```

//b1 = b x g
temp_matrix.b.x = b.y * g.z - b.z * g.y;
temp_matrix.b.y = b.z * g.x - b.x * g.z;
temp_matrix.b.z = b.x * g.y - b.y * g.x;
//c1 = c x g
temp_matrix.c.x = c.y * g.z - c.z * g.y;
temp_matrix.c.y = c.z * g.x - c.x * g.z;
temp_matrix.c.z = c.x * g.y - c.y * g.x;

(*this) += temp_matrix;//使用矩阵的加法，把角度的变化量统计进去
}
只求 XY 轴上的叉积
template <typename T>
void Matrix3<T>::rotateXY(const Vector3<T> &g)
{
    Matrix3<T> temp_matrix;
    temp_matrix.a.x = -a.z * g.y;
    temp_matrix.a.y = a.z * g.x;
    temp_matrix.a.z = a.x * g.y - a.y * g.x;
    temp_matrix.b.x = -b.z * g.y;
    temp_matrix.b.y = b.z * g.x;
    temp_matrix.b.z = b.x * g.y - b.y * g.x;
    temp_matrix.c.x = -c.z * g.y;
    temp_matrix.c.y = c.z * g.x;
    temp_matrix.c.z = c.x * g.y - c.y * g.x;

    (*this) += temp_matrix;
}

```

对 XY 轴上的叉积进行取反操作

```

template <typename T>
void Matrix3<T>::rotateXYinv(const Vector3<T> &g)
{
    Matrix3<T> temp_matrix;
    temp_matrix.a.x = a.z * g.y;
    temp_matrix.a.y = -a.z * g.x;
    temp_matrix.a.z = -a.x * g.y + a.y * g.x;
    temp_matrix.b.x = b.z * g.y;
    temp_matrix.b.y = -b.z * g.x;
    temp_matrix.b.z = -b.x * g.y + b.y * g.x;
    temp_matrix.c.x = c.z * g.y;
    temp_matrix.c.y = -c.z * g.x;
    temp_matrix.c.z = -c.x * g.y + c.y * g.x;
}

```

```

    (*this) += temp_matrix;
}

```

矩阵的正交化（请参考 Starlino_DCM_Tutorial_01.pdf）

```

template <typename T>
void Matrix3<T>::normalize(void)
{
    float error = a * b;
    Vector3<T> t0 = a - (b * (0.5f * error));
    Vector3<T> t1 = b - (a * (0.5f * error));
    Vector3<T> t2 = t0 % t1;
    a = t0 * (1.0f / t0.length());
    b = t1 * (1.0f / t1.length());
    c = t2 * (1.0f / t2.length());
}

```

矩阵的乘法运算

```

template <typename T>
Matrix3<T> Matrix3<T>::operator *(const Matrix3<T> &m) const
{
    Matrix3<T> temp (Vector3<T>(a.x * m.a.x + a.y * m.b.x + a.z * m.c.x,
                                a.x * m.a.y + a.y * m.b.y + a.z * m.c.y,
                                a.x * m.a.z + a.y * m.b.z + a.z * m.c.z),
                    Vector3<T>(b.x * m.a.x + b.y * m.b.x + b.z * m.c.x,
                                b.x * m.a.y + b.y * m.b.y + b.z * m.c.y,
                                b.x * m.a.z + b.y * m.b.z + b.z * m.c.z),
                    Vector3<T>(c.x * m.a.x + c.y * m.b.x + c.z * m.c.x,
                                c.x * m.a.y + c.y * m.b.y + c.z * m.c.y,
                                c.x * m.a.z + c.y * m.b.z + c.z * m.c.z));

    return temp;
}

```

转置矩阵

$$\begin{bmatrix} a \\ b \\ c \end{bmatrix}^T = \begin{bmatrix} a & b & c \end{bmatrix};$$

```

template <typename T>
Matrix3<T> Matrix3<T>::transposed(void) const
{
    return Matrix3<T>(Vector3<T>(a.x, b.x, c.x),
                    Vector3<T>(a.y, b.y, c.y),
                    Vector3<T>(a.z, b.z, c.z));
}

```

清空矩阵

```
template <typename T>
void Matrix3<T>::zero(void)
{
    a.x = a.y = a.z = 0;
    b.x = b.y = b.z = 0;
    c.x = c.y = c.z = 0;
}
```

5、向量操作的相关定义函数

向量的内积操作

$$\begin{bmatrix} a \\ b \\ c \end{bmatrix} * V$$

```
template <typename T>
Vector3<T> Matrix3<T>::operator *(const Vector3<T> &v) const
{
    return Vector3<T>(a.x * v.x + a.y * v.y + a.z * v.z,
                       b.x * v.x + b.y * v.y + b.z * v.z,
                       c.x * v.x + c.y * v.y + c.z * v.z);
}
```

只求 XY 轴的

```
template <typename T>
Vector2<T> Matrix3<T>::mulXY(const Vector3<T> &v) const
{
    return Vector2<T>(a.x * v.x + a.y * v.y + a.z * v.z,
                       b.x * v.x + b.y * v.y + b.z * v.z);
}
```

转置向量的的乘积

$$[a \ b \ c] * V$$

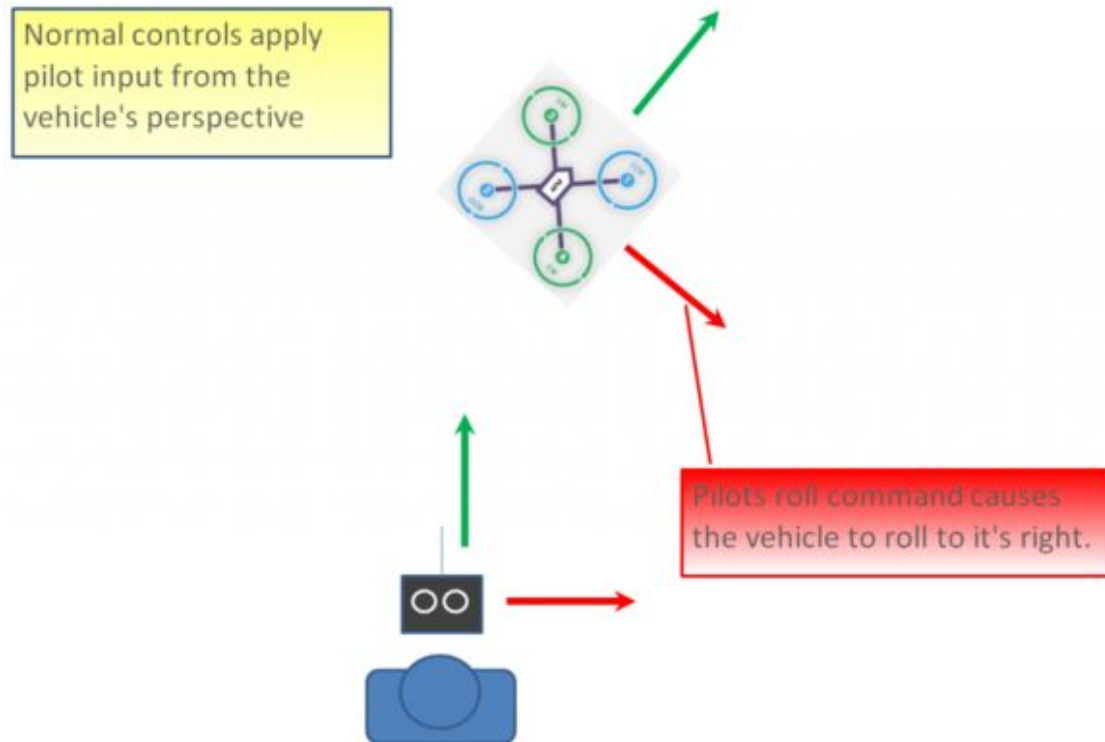
```
template <typename T>
Vector3<T> Matrix3<T>::mul_transpose(const Vector3<T> &v) const
{
    return Vector3<T>(a.x * v.x + b.x * v.y + c.x * v.z,
                       a.y * v.x + b.y * v.y + c.y * v.z,
                       a.z * v.x + b.z * v.y + c.z * v.z);
}
```

第二节 飞行器的三种模式介绍

正常模式、简单模式、超简单模式

以下关于这三种模式的理解，来自网上。

1、正常模式



在不用简单和超简单的情况下，飞手的发射机摇杆输入是对不断旋转着的飞行器进行操作的。拿上方图示举例，当飞手进行向右（红色）的 roll 的控制的时候，模型会向它自己的右侧横滚。

如果飞手和飞行器在同一方向，控制起来就相对简单，但是如果飞行器面对着飞手，没有经验的飞手就会感觉控制全都反了。换句话说，飞手向右控制 roll，从飞手的视角来看模型是向左移动的。

总结：正常模式就是飞机的头朝着哪个方向，那个方向就是前方，遥控器输入的 roll 和 pitch 值不需要进行投影。

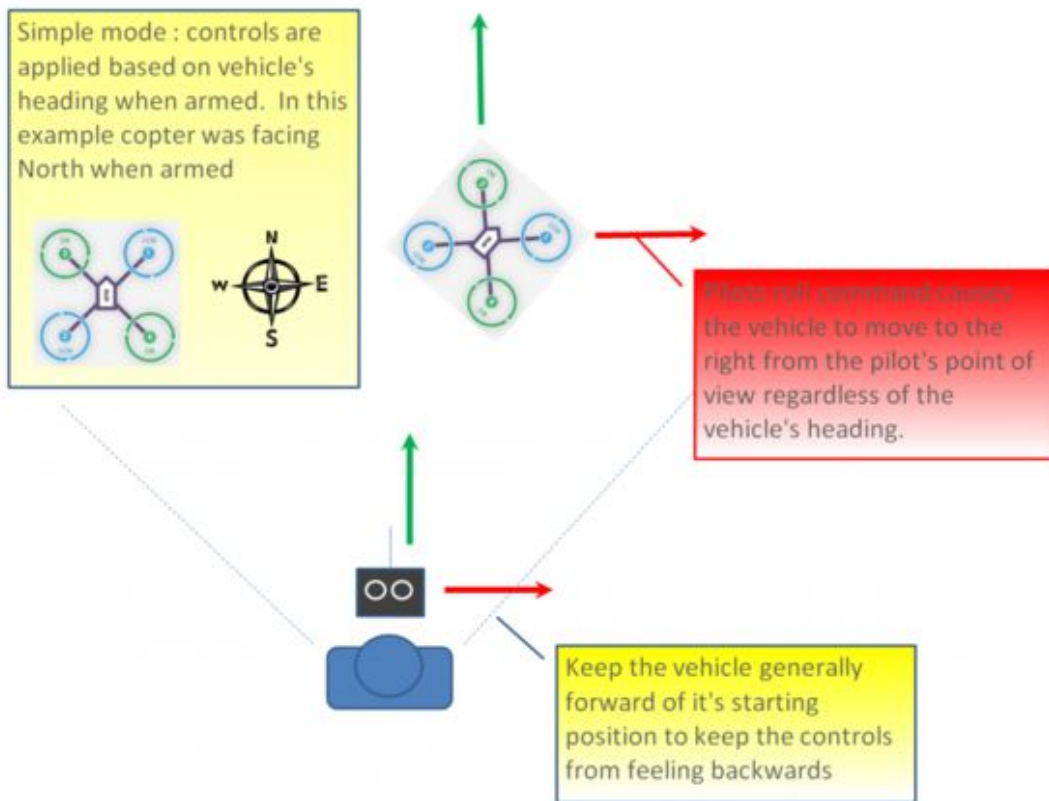
（设 $roll_{in}$ 为遥控器输入的横滚值， $pitch_{in}$ 为遥控器输入的俯仰值， $roll_b$ 为机体坐标系的横滚值， $pitch_b$ 为机体坐标系的俯仰值， $roll_e$ 为地球坐标系统的横滚值， $pitch_e$ 为地球坐标系的俯仰值，以下同此）

在正常模式下，不需要把角度转成地球坐标系

$$roll_b = roll_{in};$$

$$pitch_b = pitch_{in};$$

2、简单模式



和别的系统（MultiWii 等）的“无忧（carefree）”模式差不多，这个模式可以让你飞飞行器的时候，就像它一直是它解锁时的方向一样，不用管它现在转到了什么方向。如果你向前推 pitch 摇杆，飞行器就会飞离你，向后推 pitch 摇杆，飞行器就会朝家的方向飞回来。你甚至可以操作 yaw 任意旋转飞行器，但是用摇杆控制飞行器移动时是和起飞时一样的。通常，解锁时你应该站在模型的后面，模型的机头指向正前方。在飞行中应保持模型在起飞位置的前面，因为如果它飞到了你身后，你就会感觉所有操控都反了。如上所述，在飞行器飞得太远了看不清头的朝向的紧急情况下，简单模式也是非常有用的。

总结：简单模式就是飞行器起飞时头部对准的方向始终为机体坐标系的 pitch 轴，也就是说启动的时候就定死了机体坐标系，所以遥控器需要传入的 roll 和 pitch 值需要转到机体坐标系，在转到地球坐标系中。

（设 ψ_b 为机体坐标系中简单模式偏航角度， ψ_e 为机体坐标系先对应地球坐标系

的 Z 轴投影角度)
简单模式下的坐标变换

$$roll_b = roll_{in} * \cos \psi_b - pitch_{in} * \sin \psi_b ;$$

$$pitch_b = roll_{in} * \sin \psi_b + pitch_{in} \cos \psi_b ;$$

在上篇 3X3 矩阵操作中，我们得到体坐标系到地球坐标系的绕 Z 轴的旋转矩阵是

$$L(\psi) \begin{bmatrix} \cos \psi & -\sin \psi & 0 \\ \sin \psi & \cos \psi & 0 \\ 0 & 0 & 1 \end{bmatrix}$$

去掉 Z 轴相关的

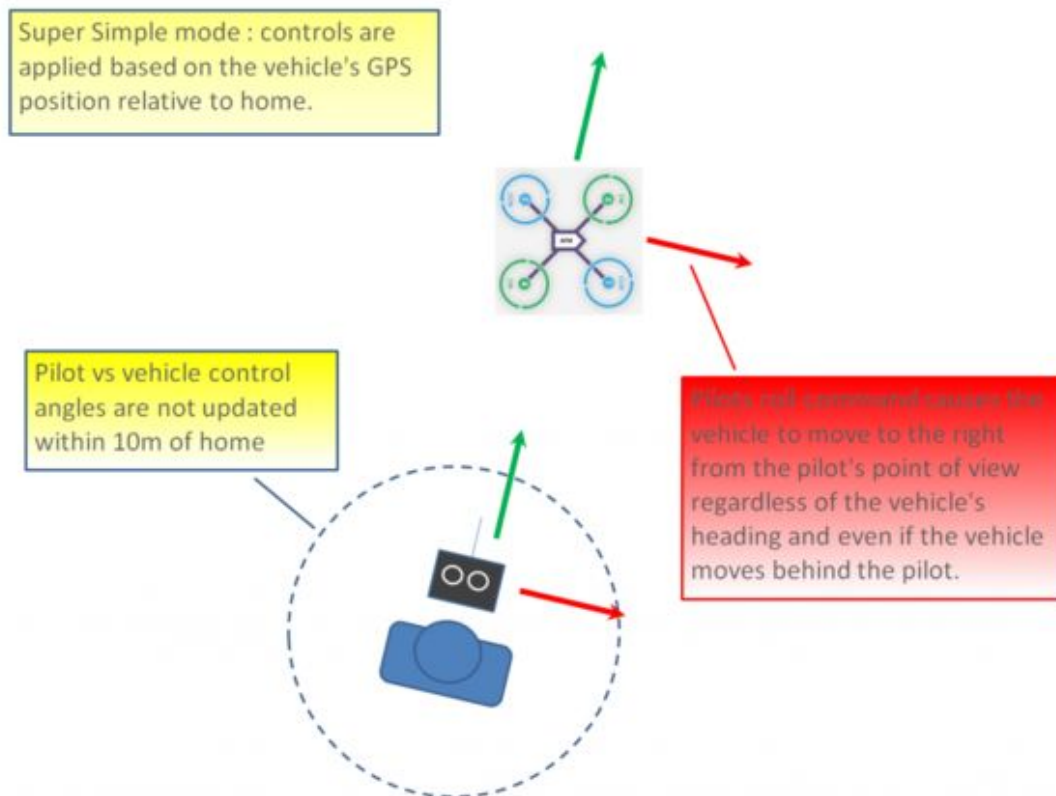
$$L(\psi) = \begin{bmatrix} \cos \psi & -\sin \psi \\ \sin \psi & \cos \psi \end{bmatrix}$$

所以有

$$roll_e = roll_b * \cos \psi_e + pitch_b * \sin \psi_e ;$$

$$pitch_e = -roll_b * \sin \psi_e + pitch_b * \cos \psi_e ;$$

3、超简单模式



超简单模式和简单模式是基本相同的，除了它用的是模型的位置与家的位置相关联，不是用的模型最初解锁时的头的方向。这就是说不用管模型在哪，也不用管模型朝向哪，只要向后拉 **pitch** 就会让飞行器朝家的方向飞。

相较简单模式的优点就在于即使飞行器飞到了飞手或是家的后面，飞手还可以用自己的视角来控制。

如果向右拉满 **roll**，模型就以飞手为中心顺时针绕圈飞（尽管因为“时滞”每圈半径都有可能增长一点）。

缺点是这个模式需要 **GPS** 定位，所以你要确保在起飞之前 **GPS** 已经定位。

模型在家 10m 以内时，方向是不会更新的，所以要避免在家附近飞。

在起飞时要确保控制是正确的，和简单模式一样，你应该在解锁时站在模型后面，飞手和模型所朝方向也应是一样的。

总结：超简单模式，又名无头模式超简单模式的投影公式同简单模式，只是旋转的角度不一致而已。

4、代码分析

这三种模式的代码在 `arducopter.cpp` 中 `update_simple_mode` 函数

```
void Copter::update_simple_mode(void)
{
    .....
    if (ap.simple_mode == 0 || !ap.new_radio_frame) {
        return; //没有配置简单模式就是正常模式，直接退出
    }
}
```

```

.....
if (ap.simple_mode == 1) {
    //飞机的头部始终执行起飞时所执行的方向:简单模式
    // rotate roll, pitch input by -initial simple heading (i.e. north facing)
    rollx = channel_roll->control_in*simple_cos_yaw -
            channel_pitch->control_in*simple_sin_yaw;
    pitchx = channel_roll->control_in*simple_sin_yaw +
            channel_pitch->control_in*simple_cos_yaw;
} else {
    //无头模式: 超简单模式
    rollx = channel_roll->control_in*super_simple_cos_yaw -
            channel_pitch->control_in*super_simple_sin_yaw;
    pitchx = channel_roll->control_in*super_simple_sin_yaw +
            channel_pitch->control_in*super_simple_cos_yaw;
}

//通过 dem 矩阵, 把 roll pitch 的值转到地球坐标系统
channel_roll->control_in = rollx*ahrs.cos_yaw() + pitchx*ahrs.sin_yaw();
channel_pitch->control_in = -rollx*ahrs.sin_yaw() + pitchx*ahrs.cos_yaw();
}

```

第三节 22 状态 EKF 滤波

(声明: 该节原创乔智杰)

状态方程

状态选取

姿态四元数 $[q_0 \ q_1 \ q_2 \ q_3]^T$

NED 速度 $[V_n \ V_e \ V_d]^T$

NED 位置 $[p_n \ p_e \ p_d]^T$

姿态角增量偏差 $[\delta\phi_{bias} \ \delta\theta_{bias} \ \delta\psi_{bias}]^T$

速度增量偏差 δV_{zbias}

NE 方向风速 $[V_{wind|n} \ V_{wind|e}]^T$

NED 方向磁场强度 $[m_n \ m_e \ m_d]^T$

BODY 坐标系中的磁场强度 $\begin{bmatrix} m_x & m_y & m_z \end{bmatrix}^T$

注意，下面为两组时变参数，而非观测量

体坐标系中测量的姿态角增量 $\begin{bmatrix} \delta\phi & \delta\theta & \delta\psi \end{bmatrix}^T$

体坐标系中测量的速度增量 $\begin{bmatrix} \delta V_x & \delta V_y & \delta V_z \end{bmatrix}^T$

姿态四元数更新 $\begin{bmatrix} q_0 & q_1 & q_2 & q_3 \end{bmatrix}^T$

$$\begin{bmatrix} q_0(k+1) \\ q_1(k+1) \\ q_2(k+1) \\ q_3(k+1) \end{bmatrix} = \begin{bmatrix} q_0(k) \\ q_1(k) \\ q_2(k) \\ q_3(k) \end{bmatrix} + \frac{1}{2} \Omega(q) \omega \cdot dt$$

其中， $\Omega(q) = \begin{bmatrix} -q_1 & -q_2 & -q_3 \\ q_0 & -q_3 & q_2 \\ q_3 & q_0 & -q_1 \\ -q_2 & q_1 & q_0 \end{bmatrix}$ ， $\begin{bmatrix} \delta\phi \\ \delta\theta \\ \delta\psi \end{bmatrix} = \begin{bmatrix} \delta\phi_{measure} \\ \delta\theta_{measure} \\ \delta\psi_{measure} \end{bmatrix} - \begin{bmatrix} \delta\phi_{bias} \\ \delta\theta_{bias} \\ \delta\psi_{bias} \end{bmatrix}$

速度更新

$$\begin{bmatrix} V_n(k+1) \\ V_e(k+1) \\ V_d(k+1) \end{bmatrix} = \begin{bmatrix} V_n(k) \\ V_e(k) \\ V_d(k) \end{bmatrix} + \begin{bmatrix} g_n(k) \\ g_e(k) \\ g_d(k) \end{bmatrix} \cdot dt + R_{B \rightarrow W} \delta V$$

其中， $\delta V = \begin{bmatrix} \delta V_x \\ \delta V_y \\ \delta V_z \end{bmatrix} - \begin{bmatrix} 0 \\ 0 \\ \delta V_{zbias} \end{bmatrix}$ ，注意 $\begin{bmatrix} \delta V_x & \delta V_y & \delta V_z \end{bmatrix}^T$ 是时变参数， δV_{zbias} 是状态

变量。

位置更新

$$\begin{bmatrix} p_n(k+1) \\ p_e(k+1) \\ p_d(k+1) \end{bmatrix} = \begin{bmatrix} p_n(k) \\ p_e(k) \\ p_d(k) \end{bmatrix} + \begin{bmatrix} V_n(k) \\ V_e(k) \\ V_d(k) \end{bmatrix} \cdot dt$$

姿态角偏差更新

$$\begin{bmatrix} \delta\phi(k+1) \\ \delta\theta(k+1) \\ \delta\psi(k+1) \end{bmatrix} = \begin{bmatrix} \delta\phi(k) \\ \delta\theta(k) \\ \delta\psi(k) \end{bmatrix}$$

速度偏差更新

$$\delta V_z(k+1) = \delta V_z(k)$$

NED 速度更新

$$\begin{bmatrix} V_n(k+1) \\ V_e(k+1) \end{bmatrix} = \begin{bmatrix} V_n(k) \\ V_n(k) \end{bmatrix}$$

NED 方向磁场强度更新

$$\begin{bmatrix} m_n(k+1) \\ m_e(k+1) \\ m_d(k+1) \end{bmatrix} = \begin{bmatrix} m_n(k) \\ m_e(k) \\ m_d(k) \end{bmatrix}$$

BODY 坐标系中的磁场强度更新

$$\begin{bmatrix} m_x(k+1) \\ m_y(k+1) \\ m_z(k+1) \end{bmatrix} = \begin{bmatrix} m_x(k) \\ m_y(k) \\ m_z(k) \end{bmatrix}$$

观测量

NED 速度 $[V_n \quad V_e \quad V_d]^T$

NED 位置 $[p_n \quad p_e \quad p_d]^T$

空速 *airspeed*

BODY 坐标系中的磁场强度 $[m_x \quad m_y \quad m_z]^T$

光流传感器测得的视线角速率 $[\omega_x^{los} \quad \omega_y^{los}]^T$

到地面的距离 *range*

空速的输出方程

$$airspeed = \sqrt{(V_n - V_{wn})^2 + (V_e - V_{we})^2 + V_d^2}$$

BODY 坐标系中的磁场强度的输出方程

$$\begin{bmatrix} m_x \\ m_y \\ m_z \end{bmatrix} = R_{W \rightarrow B} \begin{bmatrix} m_n \\ m_e \\ m_d \end{bmatrix}$$

到地面的距离 $range$ 的输出方程

$$range = \frac{p_{td} - p_d}{R_{B \rightarrow W}}$$

其中, p_{td} 为地形在当地 NED 坐标系 D 向的坐标值, p_d 为飞行器在当地 NED 坐标系 D 向的坐标值。

光流传感器测得的视线角速率 $\begin{bmatrix} \omega_x^{los} & \omega_y^{los} \end{bmatrix}^T$ 的输出方程

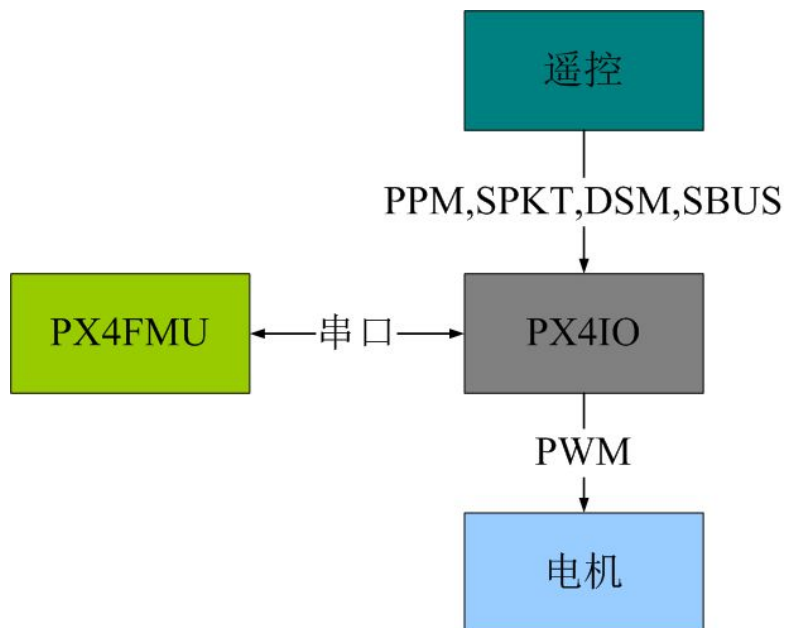
$$\begin{bmatrix} \omega_x^{los} \\ \omega_y^{los} \end{bmatrix} = \frac{1}{rang} \begin{bmatrix} V_{ry} \\ -V_{rx} \end{bmatrix}$$

其中,
$$\begin{bmatrix} V_{rx} \\ V_{ry} \\ V_{rz} \end{bmatrix} = R_{B \rightarrow W} \begin{bmatrix} V_n \\ V_e \\ V_d \end{bmatrix}$$

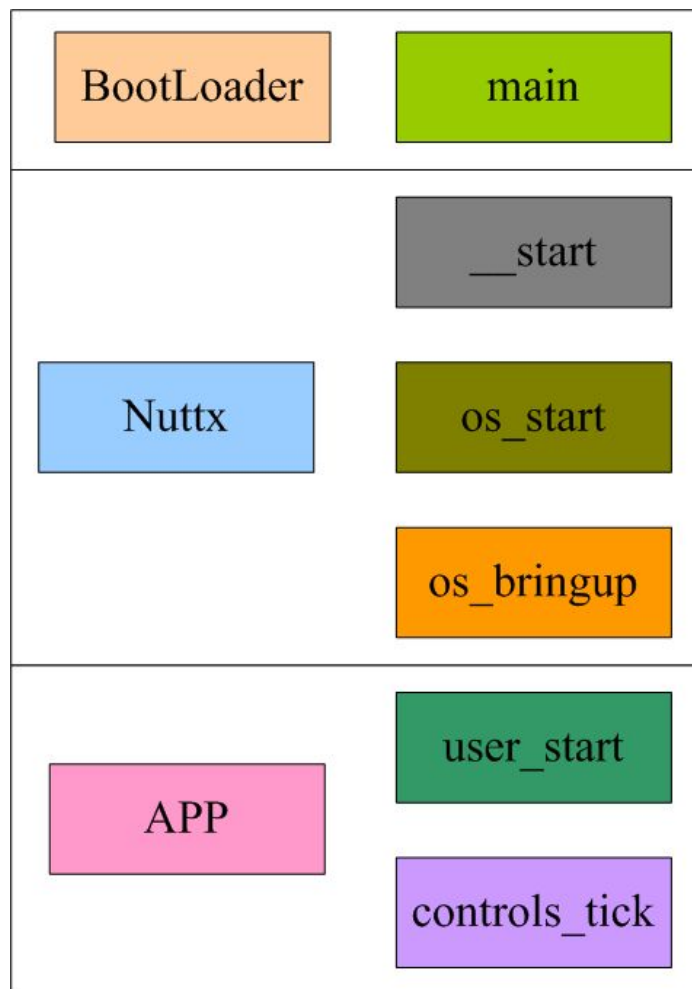
第四节 Pxio

(声明: 本节原创吕元宙)

PX4IO(STM32F103)为 PIXHAWK 中专用于处理输入输出的部分,输入为支持各类遥控器 (PPM,SPKT/DSM,SBUS),输出为电调的 PWM 驱动信号,它与 PX4FMU(STM32F427)通过串口进行通信,概括图如下:



PX4IO 与 PX4FMU 一样,在大的软件架构上分为 Bootloader,OS 和 APP 三个部分,OS 为 Nuttx,如下图

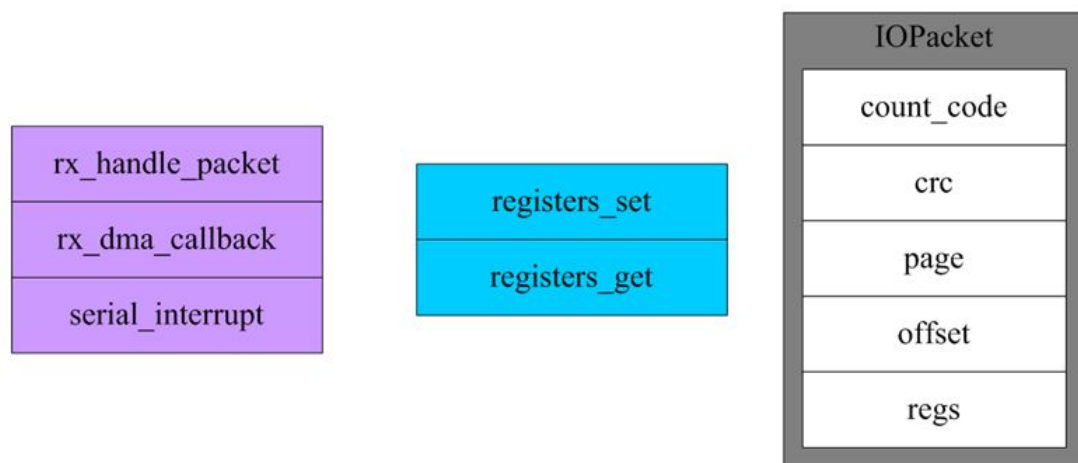


其中:

1. main 负责是否升级芯片,不升级则进入 OS

2. __start 负责 STM32 芯片的底层初始化,包括时钟,FPU,GPIO 等单元的初始化
3. os_start 负责 OS 的底层初始化,包括各种队列和进程结构的初始化
4. os_bringup 负责 OS 基本进程的启动以及用户进程的启动,用户启动入口由 (CONFIG_USER_ENTRYPOINT)宏进行指定
5. user_start 负责 px4io 基础环境的初始化,包括 PWM,串口,ADC 等资源的初始化,最后运行一个死循环,用于处理遥控器输入,与 PX4FMU 通信的内容
6. controls_tick 负责处理遥控器的输入内容,包括
 - SBUS 的处理 sbus_input
 - SPKT/DSM 的处理 dsm_port_input
 - PPM 的处理 ppm_input

PX4IO 底层处理的内容如下图



1. 紫色为 PX4IO 的底层串口 IO 操作,流程为当 PX4IO 收到 PX4FMU 的串口数据后会运行 serial_interrupt, serial_interrupt 负责收发 DMA 的操作,如果收到一个完整的包,则调用 rx_dma_callback 进行处理, rx_dma_callback 首先调用 rx_handle_packet 解析包中的内容,判断为写寄存器还是读寄存器,处理完成后由 rx_dma_callback 发送回包给 PX4FMU
2. 蓝色为包操作,只提供 registers_set 写操作和 registers_get 读操作
3. IOPacket 为协议包,包括以下几部分
 - count_code 标记包的读写,错误,长度等信息
 - crc 为包的效验码
 - page 为数据页
 - offset 为数据偏移量
 - regs 为数据内容

数据表格如下:

| PAGE | 定义 | 描述 |
|------|----------------------|--|
| 0 | PX4IO_PAGE_CONFIG | 配置信息,包含协议版本,硬件版本,最大 RC 数量,最大 ADC 数量等信息 |
| 1 | PX4IO_PAGE_STATUS | 状态信息,包含 PPM,SBUS 等通道是否有效等信息 |
| 2 | PX4IO_PAGE_ACTUATORS | |

| | | |
|-----|----------------------------|-----------------------|
| 3 | PX4IO_PAGE_SERVOS | |
| 4 | PX4IO_PAGE_RAW_RC_INPUT | RC 输入状态,包括信号强度等 |
| 5 | PX4IO_PAGE_RC_INPUT | RC 输入值 |
| 6 | PX4IO_PAGE_RAW_ADC_INPUT | ADC 采样值 |
| 7 | PX4IO_PAGE_PWM_INFO | |
| 50 | PX4IO_PAGE_SETUP | |
| 51 | PX4IO_PAGE_CONTROLS | |
| 52 | PX4IO_PAGE_MIXERLOAD | |
| 53 | PX4IO_PAGE_RC_CONFIG | RC 配置信息,例如最大值,最小值,死区等 |
| 54 | PX4IO_PAGE_DIRECT_PWM | |
| 55 | PX4IO_PAGE_FAILSAFE_PWM | |
| 56 | PX4IO_PAGE_SENSORS | |
| 57 | PX4IO_PAGE_TEST | |
| 106 | PX4IO_PAGE_CONTROL_MIN_PWM | |
| 107 | PX4IO_PAGE_CONTROL_MAX_PWM | |
| 108 | PX4IO_PAGE_DISARMED_PWM | |

第五节 kalman 滤波

（本章内容来源与博客 lizipl 的专栏）

1、应用前提

要应用 kalman Filter,首先要有三个前提假设:

当前状态的概率分布必须是上一状态和将要执行的控制量的线性函数,再叠加一个高斯噪声。表达式如下:

$$x_t = A_t x_{t-1} + B_t u_t + \varepsilon_t .$$

其中 x_t 和 x_{t-1} 是状态变量,如果系统有多个自由度的话,它们表示状态向量。这样

的话根据高斯分布

$$p(x) = \det(2\pi\Sigma)^{-\frac{1}{2}} \exp\left\{-\frac{1}{2}(x - \mu)^T \Sigma^{-1}(x - \mu)\right\}$$

可以得到状态转移概率

$$\begin{aligned} p(x_t | u_t, x_{t-1}) \\ = \det(2\pi R_t)^{-\frac{1}{2}} \exp\left\{-\frac{1}{2}(x_t - A_t x_{t-1} - B_t u_t)^T R_t^{-1}(x_t - A_t x_{t-1} - B_t u_t)\right\} \end{aligned}$$

其中 $A_t x_{t-1} + B_t u_t$ 表示上一状态的均值, R_t 表示方差。

对状态的测量必须是状态的线性函数叠加高斯噪声

$$z_t = C_t x_t + \delta_t$$

$$p(z_t | x_t) = \det(2\pi Q_t)^{-\frac{1}{2}} \exp\left\{-\frac{1}{2}(z_t - C_t x_t)^T Q_t^{-1}(z_t - C_t x_t)\right\}$$

其含义与上类似, 不再赘述。

初始状态分布为高斯分布

$$bel(x_0) = p(x_0) = \det(2\pi\Sigma_0)^{-\frac{1}{2}} \exp\left\{-\frac{1}{2}(x_0 - \mu_0)^T \Sigma_0^{-1}(x_0 - \mu_0)\right\}$$

2、算法思想介绍

Kalman Filter 五条黄金公式：

```

1:   Algorithm Kalman_filter( $\mu_{t-1}, \Sigma_{t-1}, u_t, z_t$ ):
2:        $\bar{\mu}_t = A_t \mu_{t-1} + B_t u_t$ 
3:        $\bar{\Sigma}_t = A_t \Sigma_{t-1} A_t^T + R_t$ 
4:        $K_t = \bar{\Sigma}_t C_t^T (C_t \bar{\Sigma}_t C_t^T + Q_t)^{-1}$ 
5:        $\mu_t = \bar{\mu}_t + K_t (z_t - C_t \bar{\mu}_t)$ 
6:        $\Sigma_t = (I - K_t C_t) \bar{\Sigma}_t$ 
7:       return  $\mu_t, \Sigma_t$ 

```

这五条公式基本上就是 **Kalman Filter** 的主要内容了, 它的本质就是通过预测结合测量

来估计当前系统的状态。举个 lizi, 假如我们要估计一架飞行器的姿态, 可以通过 IMU

来实时测量，但是测量值有一定的风险是不准确的，所以并不能完全依赖传感器。任何一个满足物理规律的系统应当是连续的，所以我们还可以通过上一状态来预测当前状态。**Kalman Filter** 正是结合这两条进行状态估计，到底是相信哪一个多一点，还要根据 K_t 来决定，我们定义 K_t 为卡尔曼增益，它是根据 测量和预测的协方差来计算的。

下面逐条解释：

line 2: 首先通过上一状态最优值和将要施加的控制量来预测当前状态，由假设一可以得到：

$$\bar{\mu}_t = A_t \mu_{t-1} + B_t u_t$$

因为我们只是求均值，而高斯噪声均值为 0，所以可省去最后一项。

line 3: 除了预测均值之外，我们还需要预测值的协方差来计算 **Kalman** 增益。

$$\bar{\Sigma}_t = A_t \Sigma_{t-1} A_t^T + R_t$$

根据假设 2，这条公式可以很容易得到。

line 4: 准备工作完成之后，需要根据预测值的协方差 $\bar{\Sigma}_t$ ，测量值和状态

的比例系数，测量值的协方差来计算 **Kalman** 增益。

$$K_t = \bar{\Sigma}_t C_t^T (C_t \bar{\Sigma}_t C_t^T + Q_t)^{-1}$$

具体证明需要用到假设中的高斯分布公式，因为我们只是应用，所以就不在 **blog** 中讨论啦，感兴趣的小伙伴可以看书 3.2.4 节 **Mathematical Derivation of the KF**，里面讲的很详细，分享一下下载链接

<http://download.csdn.net/detail/lizilpl/8632071>。

line 5: 这一行可以说是 **Kalman Filter** 的精华了，现在有了对状态的预测值和协方差，同时也收集到了对状态的测量值。这时就可以通过 **kalman** 增益来计算状态估计值了。

$$\mu_t = \bar{\mu}_t + K_t(z_t - C_t \bar{\mu}_t)$$

增益越大，表明我们越相信测量值。

line 6: 根据 *line 3*，预测当前状态需要用到上一状态的协方差，所以我们还需要计算当前状态的协方差用于下一次迭代。它同样要根据 **Kalman** 增益来计算：

$$\Sigma_t = (I - K_t C_t) \bar{\Sigma}_t$$

相信到这里，大家应该对 **kalman Filter** 的原理有了一个大致的了解，算法中，从初始状态开始，不断计算当前状态的均值和方差来迭代，直至系统结束。

3、扩展 kalman 的应用前提

与 **kalman Filter** 只能应用于线性系统不同，**Extended Kalman Filter** 可以用于非线性系统中。：

当前状态的概率分布是关于上一状态和将要执行的控制量的二元函数，再叠加一个高斯噪声，测量值同样也是关于当前状态的函数叠加高斯噪声。具体表达式如下：

$$\begin{aligned} x_t &= g(u_t, x_{t-1}) + \varepsilon_t \\ z_t &= h(x_t) + \delta_t \end{aligned}$$

$g(u_t, x_{t-1})$ 和 $h(x_t)$ 可以是非线性的函数。

为了用经典卡尔曼滤波器的思想来解决非线性系统中的状态估计问题，首先要做的就是将 $g(u_t, x_{t-1})$ 和 $h(x_t)$ 用泰勒级数展开，将其线性化，只取一次项为一阶 **EKF** 滤波。具体如下：

$$\begin{aligned}
 g(u_t, x_{t-1}) &\approx g(u_t, \mu_{t-1}) + \underbrace{g'(u_t, \mu_{t-1})}_{=: G_t} (x_{t-1} - \mu_{t-1}) \\
 &= g(u_t, \mu_{t-1}) + G_t (x_{t-1} - \mu_{t-1})
 \end{aligned}$$

$$\begin{aligned}
 h(x_t) &\approx h(\bar{\mu}_t) + \underbrace{h'(\bar{\mu}_t)}_{=: H_t} (x_t - \bar{\mu}_t) \\
 &= h(\bar{\mu}_t) + H_t (x_t - \bar{\mu}_t)
 \end{aligned}$$

$g(u_t, x_{t-1})$ 在上一状态估计的最优值处取一阶导数, $h(x_t)$ 在当前时刻预测值处取一阶导数, 得到 G 和 H 分别相当于 Kalman Filter 中的 A 和 C 。

4、ekf 算法详细介绍

Extended Kalman Filter 五条黄金公式：

```

1:   Algorithm Extended_Kalman_filter( $\mu_{t-1}, \Sigma_{t-1}, u_t, z_t$ ):
2:        $\bar{\mu}_t = g(u_t, \mu_{t-1})$ 
3:        $\bar{\Sigma}_t = G_t \Sigma_{t-1} G_t^T + R_t$ 
4:        $K_t = \bar{\Sigma}_t H_t^T (H_t \bar{\Sigma}_t H_t^T + Q_t)^{-1}$ 
5:        $\mu_t = \bar{\mu}_t + K_t (z_t - h(\bar{\mu}_t))$ 
6:        $\Sigma_t = (I - K_t H_t) \bar{\Sigma}_t$ 
7:       return  $\mu_t, \Sigma_t$ 

```

将其线性化之后, EFK 与 FK 就非常类似了, 所以我就不再赘述, 可参考上一篇 [blog](#):

卡尔曼滤波器的原理及应用 <http://blog.csdn.net/lizilpl/article/details/45268471>

里面对这五条公式有较为详细的介绍。

第三章 px4 各种模式的分析

第一节 悬停模式

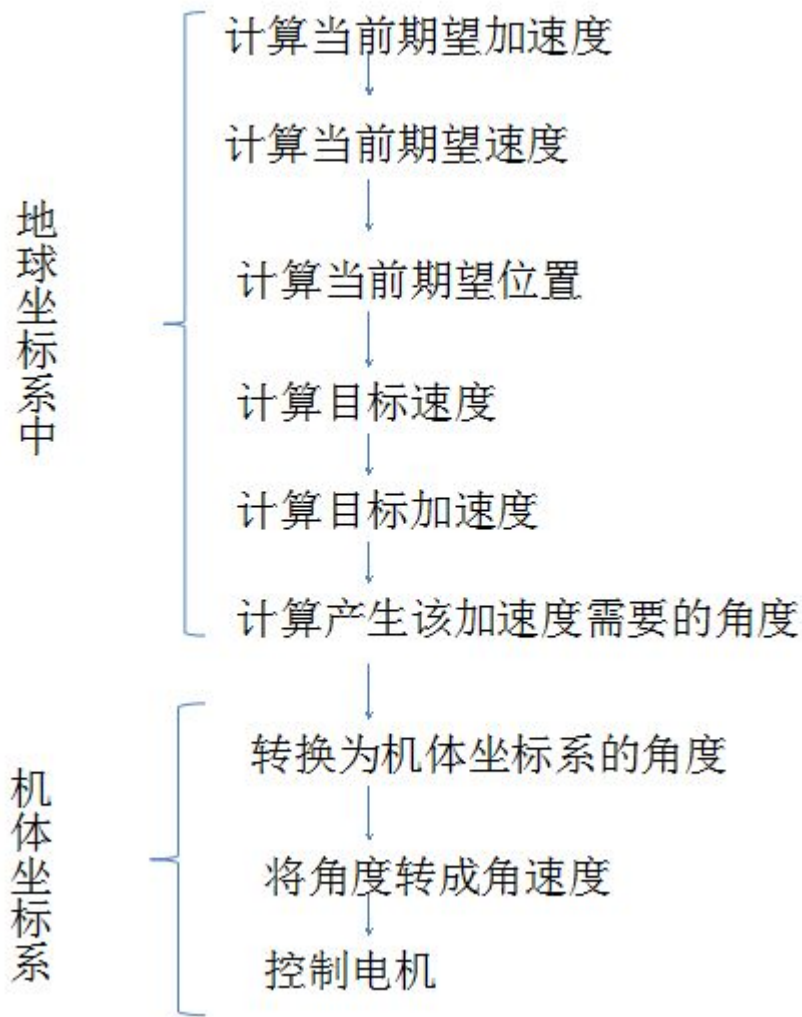
1、悬停代码流程

悬停的代码在 control_loiter.cpp 中的 loiter_run() 函数

```
void Copter::loiter_run()
{
    .....
    /*
    悬停的时候由于没有俯仰和横滚的遥控值，所以向前和向右的期望加速度都为 0
    */
    wp_nav.clear_pilot_desired_acceleration();
    .....
    //这里设置了目的位置为当前位置
    wp_nav.loiter_soften_for_landing();
    .....
    //设置为悬停模式
    loiter_state = Loiter_Flying;
    .....
    switch (loiter_state) {
        ....
        case Loiter_Flying://悬停
            wp_nav.update_loiter(ekfGndSpdLimit, ekfNavVelGainScaler);
            attitude_control.angle_ef_roll_pitch_rate_ef_yaw(wp_nav.get_roll(),
                                                            wp_nav.get_pitch(), target_yaw_rate);
            if (sonar_enabled && (sonar_alt_health >= SONAR_ALT_HEALTH_MAX))
            {
                arget_climb_rate = get_surface_tracking_climb_rate(target_climb_rate,
                                                                    pos_control.get_alt_target(), G_Dt);
            }
            pos_control.set_alt_target_from_climb_rate(target_climb_rate,
                                                        G_Dt, false);
            pos_control.update_z_controller();//定高
            break;
        .....
    }
}
```

2、悬停 xy 方向控制思路

悬停代码流程图



3、加速度的初始化

原理分析：

设飞机可提供的最大速度为 V_{\max} ，最大加速为 a_{\max} ；飞机从速度为 0 增加到最大速度需要的时间为 T_s ，

$$\text{则: } T_s = \frac{v_{\max}}{a_{\max}};$$

设当最近一次从传感器中获取的速度（通过 ekf 滤波）为 \vec{v}_1 ，在 x 和 y 轴的分量分别为 $v_{(1).x}$ 和 $v_{(1).y}$ ，假设速度是从 0 在 T_s 时间内增加到 \vec{v}_1 ，设此时的加速度为 \vec{a}_1 ，分在 x 和 y 轴的加速度分别为 $a_{(1).x}$ 和 $a_{(1).y}$ ，

$$\text{那么, } \vec{a}_{(1).x} = \frac{\vec{v}_{(1).x}}{T_s} = \frac{\vec{v}_{(1).x} * \vec{a}_{\max}}{v_{\max}},$$

$$\vec{a}_{(1).y} = \frac{\vec{v}_{(1).y}}{T_s} = \frac{\vec{v}_{(1).y} * \vec{a}_{\max}}{v_{\max}};$$

代码如下:

```
void AC_WPNav::init_loiter_target()
{
    //读取从 gps 中获取当前位置和速度
    const Vector3f& curr_pos = _inav.get_position();
    const Vector3f& curr_vel = _inav.get_velocity();
    /*
    *设置悬停时的最大水平速度为_loiter_speed_cms, 以及计算_leash (漂移控
    *制距离) 值
    */
    _pos_control.set_speed_xy(_loiter_speed_cms);
    /*
    *设置悬停时的最大水平加速度为_loiter_accel_cmss, 以及计算_leash (漂移
    *控制距离) 值
    */
    _pos_control.set_accel_xy(_loiter_accel_cmss);
    //设置目标位置为当前位置
    _pos_control.set_xy_target(curr_pos.x, curr_pos.y);
    //设置悬停时的期望速度为当前速度
    _pos_control.set_desired_velocity_xy(curr_vel.x, curr_vel.y);
    /*
    *设置悬停时的期望加速度, 在地球坐标系中
    */
    _loiter_desired_accel.x =
        (_loiter_accel_cmss)*curr_vel.x/_loiter_speed_cms;
    _loiter_desired_accel.y =
        (_loiter_accel_cmss)*curr_vel.y/_loiter_speed_cms;
    /*
    *由于没有 roll、pitch 遥感值, 所以
    */
    _pilot_accel_fwd_cms = 0;//前后加速度为 0
    _pilot_accel_rgt_cms = 0;//左右加速为 0
}
```

在悬停第一次初始化了加速度后, 整个过程中都没有再次复位加速度。

4、计算悬停时的期望速度

在每次执行 `update_flight_mode()` 代码之前都执行 `read_inertia()` 到 `gps` 传感器中读取当前速度和位置。

原理分析：设上一次（n-1）次悬停的期望加速度为 $\vec{a}_{(n-1)loiter}$ ，roll 和 pitch 传入的期望加速度为 $\vec{a}_{(n)desire}$ ，由于在悬停是 roll 和 pitch 都为 0，

所以有：
$$\vec{a}_{(n)desire} = 0;$$

设，第 n 次期望加速度和（n-1）的加速度的差值为 \vec{a}_{dif} ，

则：
$$\vec{a}_{dif} = \vec{a}_{(n)desire} - \vec{a}_{(n-1)loiter} ;$$

设，第（n-1）到当前的时间 d_t ，加速度的变化率为 d_a （默认配置为 1000），那么在 d_t 的时间内，加速度的最大变化量为 a_{change} ，

$$a_{change} = d_a * d_t ;$$

我们这里需要判断 $|\vec{a}_{dif}|$ 与 a_{change} 的大小，如果 $|\vec{a}_{dif}| > a_{change}$ ，则表示在 d_t 时间内加速度不可能增加到 $|\vec{a}_{dif}|$ 大，需要让 $|\vec{a}_{dif}| = a_{change}$ 。

设当前悬停的期望加速度为 $\vec{a}_{(n)loiter}$ ，

$$\vec{a}_{(n)loiter} = \vec{a}_{(n-1)loiter} + \vec{a}_{dif} ;$$

知道了当前悬停是期望的加速度，可以求出当前悬停期望的速度，设当前期望的速度为 \vec{v}_n ，n-1 次的实际速度可以从 `gps` 中获取到计为 $v_{(n-1)true}$ ，

$$\text{则，} \quad \vec{v}_{n.x} = v_{(n-1)true.x} + a_{(n)loiter.x} * d_t ,$$

$$\vec{v}_{n.y} = v_{(n-1)true.y} + a_{(n)loiter.y} * d_t ;$$

考虑飞机本身的阻力，阻力系数为 ρ ，该系数的大小为最大加速度在 d_t 内累积的速度飞机相对地面最大速度的比值（暂不知道为何如此）

$$\rho = \frac{a_{max} * d_t}{v_{gnd}} ;$$

那么， $|\vec{v}_n| = |\vec{v}_n| * (1 - \rho)$ 。

期望速度不能大于相对于地面的最大速度，如果 $|\vec{v}_n| > v_{gnd}$ ，则 $|\vec{v}_n| = v_{gnd}$ 。

代码如下：

```
void AC_WPNav::calc_loiter_desired_velocity(float nav_dt, float ekfGndSpdLimit)
{
    //求飞机相对地面的最大速度
    float gnd_speed_limit_cms = min(_loiter_speed_cms, ekfGndSpdLimit*100.0f);
    gnd_speed_limit_cms = max(gnd_speed_limit_cms, 10.0f);
    .....
    /*
    *求当前期望加速度，由于在悬停时 roll 和 pitch 的值为 0，所有期望加速度
    *也为 0
    */
    Vector2f desired_accel;
    desired_accel.x = (_pilot_accel_fwd_cms*_ahrs.cos_yaw() -
                     _pilot_accel_rgt_cms*_ahrs.sin_yaw());/=0
    desired_accel.y = (_pilot_accel_fwd_cms*_ahrs.sin_yaw() +
                     _pilot_accel_rgt_cms*_ahrs.cos_yaw());/=0
    //求第 n 期望加速度和 n-1 期望加速度的差值
    Vector2f des_accel_diff = (desired_accel - _loiter_desired_accel);
    /*
    *判断在 dt 时间内是否可以增加到需要的加速度，如果不可以，同最大可改
    *变的加速度为期望加速度的差值
    */
    float des_accel_change_total = pythagorous2(des_accel_diff.x, des_accel_diff.y);
    float accel_change_max = _loiter_jerk_max_cmsss * nav_dt;
    if (_loiter_jerk_max_cmsss > 0.0f
        && des_accel_change_total > accel_change_max
        && des_accel_change_total > 0.0f) {
        des_accel_diff.x = accel_change_max *
                          des_accel_diff.x/des_accel_change_total;
        des_accel_diff.y = accel_change_max *
                          des_accel_diff.y/des_accel_change_total;
    }
    //设置当前的期望加速度
    _loiter_desired_accel += des_accel_diff;

    //获取从传感器读出来的速度
    const Vector3f &desired_vel_3d = _pos_control.get_desired_velocity();
    Vector2f desired_vel(desired_vel_3d.x, desired_vel_3d.y);

    //求出第 n 次的期望速度
    desired_vel.x += _loiter_desired_accel.x * nav_dt;
    desired_vel.y += _loiter_desired_accel.y * nav_dt;
}
```

```

//考虑阻力
float desired_speed = desired_vel.length();

if (!is_zero(desired_speed)) {
    Vector2f desired_vel_norm = desired_vel/desired_speed;
    float drag_speed_delta = -_loiter_accel_cmss*nav_dt*desired_speed
                               /gnd_speed_limit_cms;

    if (_pilot_accel_fwd_cms == 0 && _pilot_accel_rgt_cms == 0) {
        drag_speed_delta = min(drag_speed_delta,
                               -_loiter_accel_min_cmss*nav_dt);
    }

    desired_speed = max(desired_speed+drag_speed_delta,0.0f);
    desired_vel = desired_vel_norm*desired_speed;
}
//如果期望速度大于对地最大速度，就设期望速度为对地速度
float horizSpdDem = sqrtf(sq(desired_vel.x) + sq(desired_vel.y));
if (horizSpdDem > gnd_speed_limit_cms) {
    desired_vel.x = desired_vel.x * gnd_speed_limit_cms / horizSpdDem;
    desired_vel.y = desired_vel.y * gnd_speed_limit_cms / horizSpdDem;
}
//设置本次悬停是需要的速度供下面的代码使用
_pos_control.set_desired_velocity_xy(desired_vel.x,desired_vel.y);
}

```

5、通过期望速度计算期望位置

```

void AC_PosControl::desired_vel_to_pos(float nav_dt)
{
    .....
    _pos_target.x += _vel_desired.x * nav_dt;
    _pos_target.y += _vel_desired.y * nav_dt;
    .....
}

```

6、设置每次移动的最大距离

原理分析：从一个点运动到另一个点，有两种方式，一种是是通过匀速直线运动；另一种是先加速后减速。设飞机的最大速度为 v_{\max} ，最大加速度为 a_{\max}

匀加速运动： $S_1 = v_{\max} t$ ；

先加速后减速： $S_2 = \frac{a_{\max} t^2}{2} + \frac{v_{\max}^2}{2a_{\max}}$ ；

假设 $S_1 = S_2$;

通过 $v_{\max} t = \frac{a_{\max} t^2}{2} + \frac{v_{\max}^2}{2a_{\max}}$, 可得 $(v_{\max} - a_{\max} t)^2 = 0$; 我们设 $kp = \frac{1}{t}$;

当 $v_{\max} \leq a_{\max} * \frac{1}{kp}$, 则 $S_1 \geq S_2$;

当 $v_{\max} > a_{\max} * \frac{1}{kp}$, 则 $S_1 < S_2$;

这里我有点搞不懂, 同样的距离 S_2 所用的时间比 S_1 多了一倍, 为啥默认的要选择用公式 S_2 。用户可以通过调试 kp 着参数来控制每次移动的最大距离。

代码如下

```
float AC_PosControl::calc_leash_length(float speed_cms, float accel_cms, float kp)
const
{
    .....
    if(speed_cms <= accel_cms / kp) {
        leash_length = speed_cms / kp;
    }else{
        leash_length = (accel_cms / (2.0f*kP*kP)) +
            (speed_cms*speed_cms / (2.0f*accel_cms));
    }
    .....
}
```

7、计算出从当前位置到期望位置需要的目标速度

```
void AC_PosControl::pos_to_rate_xy(xy_mode mode, float dt, float
ekfNavVelGainScaler)
{
    //从 gps 中获得当前的位置, 通过目标位置与当前位置差距可以求出目标速
    //度
    Vector3f curr_pos = _inav.get_position();

    //  $S = \frac{a_{\max} t^2}{2}$  这个公式, 求前半段加速的长度

    linear_distance = _accel_cms / (2.0f*kP*kP);
    //如果期望位置与时间位置的差大于二倍的 linear_distance, 则用先加速后减
```

//速的方式 $S_2 = \frac{a_{\max} t^2}{2} + \frac{v_{\max}^2}{2a_{\max}}$, 变形为 $S_2 - \frac{a_{\max} t^2}{2} = \frac{v_t^2}{2a_{\max}}$ 用这个公式求出需

//要的速度 v_t ; 否则就通过匀速直线运动 $v_t = \frac{S}{t} = S * kp$

```
if (_distance_to_target > 2.0f*linear_distance) {
    float vel_sqrt = safe_sqrt(2.0f*_accel_cms*
                               (_distance_to_target-linear_distance));
    _vel_target.x = vel_sqrt * _pos_error.x/_distance_to_target;
    _vel_target.y = vel_sqrt * _pos_error.y/_distance_to_target;
} else {
    _vel_target.x = _p_pos_xy.kP() * _pos_error.x;
    _vel_target.y = _p_pos_xy.kP() * _pos_error.y;
}
//最终的目标速度还要加上之前计算的期望速度
_vel_target.x += _vel_desired.x;
_vel_target.y += _vel_desired.y;
}
```

8、根据目标速度求出目标加速度

```
void AC_PosControl::rate_to_accel_xy(float dt, float ekfNavVelGainScaler)
{
    //从 gps 中获得当前的速度
    const Vector3f &vel_curr = _inav.get_velocity();

    //求出从上次计算完目标速度到本次计算产生的加速度
    _accel_feedforward.x = (_vel_target.x - _vel_last.x)/dt;
    _accel_feedforward.y = (_vel_target.y - _vel_last.y)/dt;

    //计算目标速度与现在实际速度的差速度
    _vel_error.x = _vel_target.x - vel_curr.x;
    _vel_error.y = _vel_target.y - vel_curr.y;

    // 更新和获得 pi 的速度
    _pi_vel_xy.set_input(_vel_error);
    vel_xy_p = _pi_vel_xy.get_p();

    if ((!_limit.accel_xy && !_motors.limit.throttle_upper)) {
        vel_xy_i = _pi_vel_xy.get_i();
    } else {
        vel_xy_i = _pi_vel_xy.get_i_shrink();
    }
}
```

```

//计算目标加速度（这里的分析放在 pid 中分析）
_accel_target.x = _accel_feedforward.x +
    (vel_xy_p.x + vel_xy_i.x) * ekfNavVelGainScaler;
_accel_target.y = _accel_feedforward.y +
    (vel_xy_p.y + vel_xy_i.y) * ekfNavVelGainScaler;

}

```

9、根据目标加速度求出机体坐标系 xy 轴上的加速度，在求出机体需要的角度

```
void AC_PosControl::accel_to_lean_angles(float dt, float ekfNavVelGainScaler)
```

```

{
    //根据上次目标加速度和本次目标加速度，求出差异加速度
    Vector2f accel_in(_accel_target.x, _accel_target.y);
    Vector2f accel_change = accel_in - _accel_target_jerk_limited;
    float accel_change_length = accel_change.length();
    //上次目标加速度加上差异加速度就得到当前目标加速度
    _accel_target_jerk_limited += accel_change;
    //进行滤波处理
    _accel_target_filter.set_cutoff_frequency(min(_accel_xy_filt_hz,
        5.0f*ekfNavVelGainScaler));
    Vector2f accel_target_filtered =
        _accel_target_filter.apply(_accel_target_jerk_limited, dt);
    //把加速度分配到机体坐标系的 xy 轴上
    /*

```

在上篇 3X3 矩阵操作中，我们得到体坐标系到地球坐标系的绕 Z 轴的旋转矩阵是

$$L(\psi) \begin{bmatrix} \cos \psi & -\sin \psi & 0 \\ \sin \psi & \cos \psi & 0 \\ 0 & 0 & 1 \end{bmatrix}$$

去掉 Z 轴相关的

$$L(\psi) = \begin{bmatrix} \cos \psi & -\sin \psi \\ \sin \psi & \cos \psi \end{bmatrix}$$

所以有

$$roll_e = roll_b * \cos \psi_e + pitch_b * \sin \psi_e;$$

$$pitch_e = -roll_b * \sin \psi_e + pitch_b * \cos \psi_e;$$

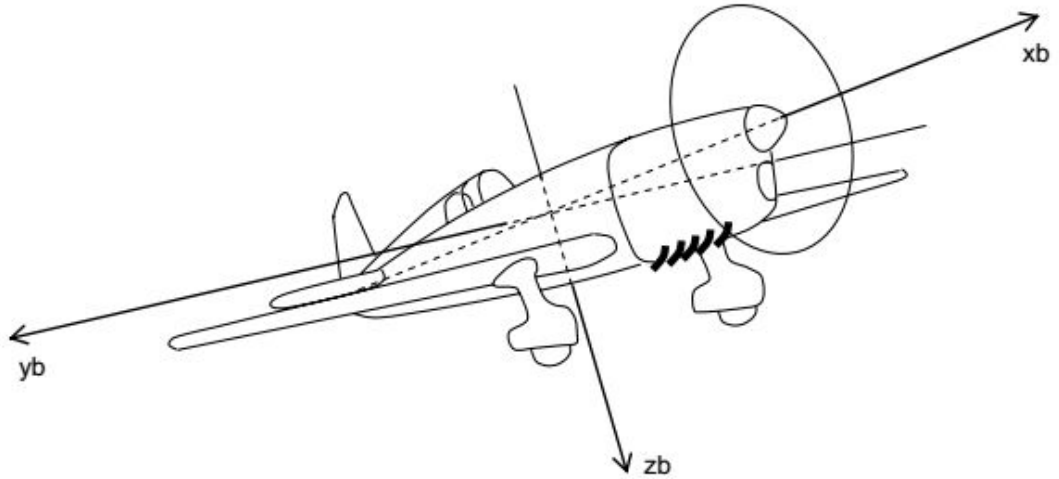
反之，亦然，地球坐标系到机体坐标系

$$roll_b = roll_e * \cos \psi_b + pitch_e * \sin \psi_b;$$

$$pitch_b = -roll_e * \sin \psi_b + pitch_e * \cos \psi_b;$$

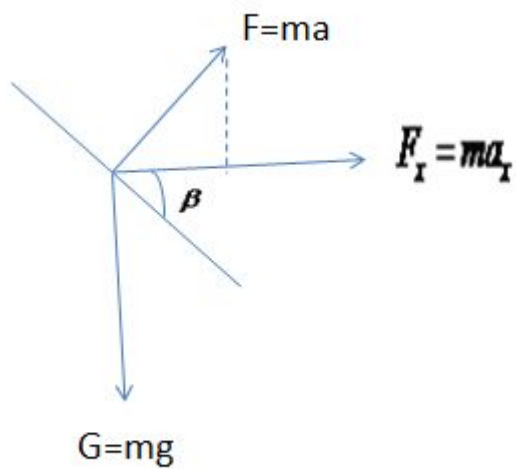
其实， $\psi_b = \psi_e$ 。

机体方向的定义见图 X 轴为 pitch, Y 轴为 roll



```
*/
accel_forward = accel_target_filtered.x*_ahrs.cos_yaw() +
                accel_target_filtered.y*_ahrs.sin_yaw();
accel_right = -accel_target_filtered.x*_ahrs.sin_yaw() +
              accel_target_filtered.y*_ahrs.cos_yaw();
/*
```

*求出产生需要的加速度，机体相对于地球坐标的角度



*飞机需要向前运动，会有一个 F 的力来平衡重力，并且在 X 轴上的分量为向前需要的

*加速度和质量的乘积， β 角为飞行向前的倾斜角度

$$\tan \beta = -\frac{a_x}{g},$$

$$\text{*则: } \beta = \arctan\left(-\frac{a_x}{g}\right)$$

*在 y 轴方向由于考虑到向 X 的倾斜太大，如果再向 Y 轴倾斜很大的角度，飞机很容易

*侧翻，所以给 Y 的加速度乘了一个 $\cos \beta$ 的分量（只是这么理解的）

$$\delta = \arctan\left(\frac{a_y * \cos \beta}{g}\right), \text{ 这里的方向是由 } \cos \beta \text{ 来确定的。}$$

```

*/
_pitch_target = constrain_float(atanf(-accel_forward/(GRAVITY_MSS *
                                     100))*(18000/M_PI_F),-lean_angle_max, lean_angle_max);
float cos_pitch_target = cosf(_pitch_target*M_PI_F/18000);
_roll_target = constrain_float(atanf(accel_right*cos_pitch_target/(GRAVITY_MSS *
                                     100))*(18000/M_PI_F), -lean_angle_max, lean_angle_max);

}

```

10、将地球坐标系的角度转换成机体坐标系的角速度

```

void AC_AttitudeControl::angle_ef_roll_pitch_rate_ef_yaw(.....)
{
    //计算目标角度和 dcm 角度差
    _angle_ef_target.x = constrain_float(roll_angle_ef,
                                         -_aparm.angle_max, _aparm.angle_max);
    angle_ef_error.x = wrap_180_cd_float(_angle_ef_target.x -
                                         _ahrs.roll_sensor);

    _angle_ef_target.y = constrain_float(pitch_angle_ef,
                                         -_aparm.angle_max, _aparm.angle_max);
    angle_ef_error.y = wrap_180_cd_float(_angle_ef_target.y -
                                         _ahrs.pitch_sensor);

    .....
    //通过 Z 轴的 w 计算 Z 轴的角度差
    update_ef_yaw_angle_and_error(_rate_ef_desired.z, angle_ef_error,
                                   AC_ATTITUDE_RATE_STAB_YAW_OVERSHOOT_ANGLE_MAX);
    //将地球坐标系的角度差转成体坐标的角度差

```

```
frame_conversion_ef_to_bf(angle_ef_error, _angle_bf_error);  
//更新机体坐标的 w  
update_rate_bf_targets();  
//计算机体期望 w  
_rate_ef_desired.x = 0;  
_rate_ef_desired.y = 0;  
frame_conversion_ef_to_bf(_rate_ef_desired, _rate_bf_desired);  
  
//计算机体的目标 w  
_rate_bf_target += _rate_bf_desired;  
  
}  
(这部分后续分析.....)
```


第四章 ekf 和 dcm 对数据的处理

第一节 ekf 和 dcm 代码总体流程介绍

```
void Copter::loop()--->
void Copter::fast_loop()
{
    read_AHRS();
}-->
void Copter::read_AHRS(void)
{
    ahrs.update(); //这个地方调用了 AP_AHRS_NavEKF 中的 update, 而不是
    AP_AHRS_DCM 的 update
}--->
void AP_AHRS_NavEKF::update(void)
{
    AP_AHRS_DCM::update(); //这里直接调用了 AP_AHRS_DCM 的 update

    EKF.UpdateFilter(); //更新滤波器状态
}
```

先看 dcm 矩阵的更新

Dcm 状态更新的算法主要在 DCMDraft2.pdf 和 Starlino_DCM_Tutorial_01.pdf 中有很详细的说明。

```
Void AP_AHRS_DCM::update(void)
{
    //这里更新 imu(加速度计和陀螺仪)的值, 具体请看第一章相关的流程分析
    _ins.update();
    //用陀螺仪更新 dcm 矩阵的值
    matrix_update(delta_t);
    //这里考虑到经过 dcm 变换后, 矩阵各个轴可能不在垂直, 所以要正交化
    normalize();
    //漂移修正
    drift_correction(delta_t);
    //检查 dcm 矩阵
    check_matrix();
    //计算欧拉角
    euler_angles();
}
```

Ekf 滤波代码流程

```
void NavEKF::UpdateFilter()
{
```

```

//初始四元素
correctedDelAngQuat.initialise();
//读取加速度计和陀螺仪的值
readIMUData();
//通过 gps、空速传感器和高度计判断是否在地面上
SetFlightAndFusionModes();
//检查启动状态
performArmingChecks();
//根据 imu 测量的数据，更新四元素、速度、位置的状态
UpdateStrapdownEquationsNED();

//这里保存了连续 50 次的状态方程数据
StoreStates();

//利用 gps 数据和气压计数据更新状态方程
SelectVelPosFusion();
//利用指南针数据更新状态方程
SelectMagFusion();
//利用光流传感器更新状态方程
SelectFlowFusion();
//利用空速传感器更新状态方程
SelectTasFusion();
}

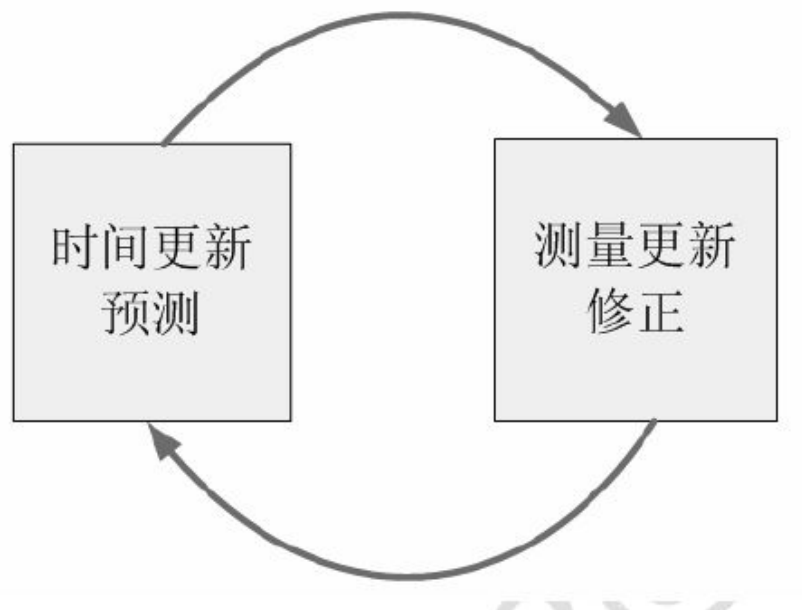
```

第二节 EKF 状态方程分析

ekf 算法

（该节主要来源 [KalmanFilter.v2.pdf](#)，具体原理推导，请查看原文）

卡尔曼滤波器的算法分成两个循环往复的步骤：时间更新和测量更新，概况如下图。



第一步、时间更新

将系统的时间向前移动一格。卡尔曼滤波器按照先验估计给出新的时间点的估计值。涉及的公式如下

一、预测系统状态

$$\hat{x}_t^- = a\hat{x}_{t-1} + bu_{t-1}$$

二、预测系统均方差

$$p_t^- = a^2 p_{t-1} + Q$$

第二步、测量更新

将新时间点的实际测量值加入到算法中，滤波器按照此值修正卡尔曼混合系统的修正值，并给出后验估计。涉及的公式如下

一、修正卡尔曼混合系数

$$k_t = \frac{hp_t^-}{h^2 p_t^- + R}$$

二、修正系统状态

$$\hat{x}_t = (1 - hk)\hat{x}_t^- + kz_t$$

三、修正系统均方差

$$p_t = (1 - hk_t)p_t^-$$

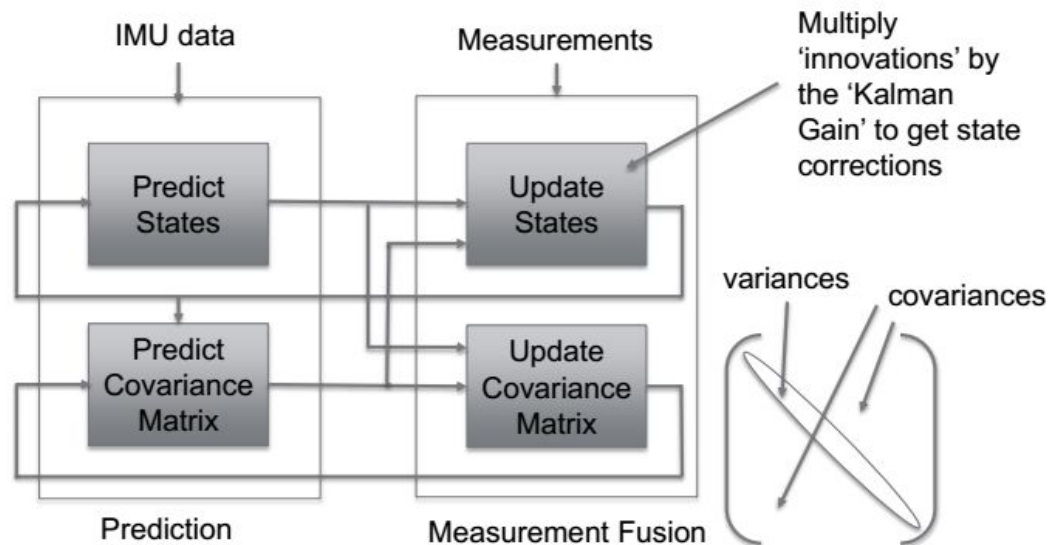
px4 ekf 算法详解

(以下图片来源于 Application_of_Data_Fusion_to_Aerial_Robotics.pdf)

算法原理

What is an EKF?

- Stand for 'Extended Kalman Filter'
- Enables internal states to be estimated from measurements for non-linear systems
- Assumes zero mean Gaussian errors in model and measured data



Ekf 22 维状态变量

$$X = [\delta q_0, \delta q_1, \delta q_2, \delta q_3, \delta v_x, \delta v_y, \delta v_z, \delta p_x, \delta p_y, \delta p_z, \delta g_x, \delta g_y, \delta g_z, \delta a_1, \delta w_x, \delta w_y, \delta e m_x, \delta e m_y, \delta e m_z, \delta b m_x, \delta b m_y, \delta b m_z]$$

状态表结构体

(22 状态变量对应状态表结构体的前 22 位)

```
struct state_elements {
    Quaternion    quat;           // 0..3    四元素
    Vector3f      velocity;       // 4..6    速度值
    Vector3f      position;       // 7..9    位置值
    Vector3f      gyro_bias;      // 10..12   陀螺仪偏移误差
    float         accel_zbias1;   // 13      加速度计 1 Z 轴的偏移误差
    Vector2f      wind_vel;       // 14..15   风的速度
    Vector3f      earth_magfield; // 16..18   地磁场值
    Vector3f      body_magfield;  // 19..21   机体磁场值
    float         accel_zbias2;   // 22      加速度计 2 Z 轴的偏移误差
    Vector3f      vel1;           // 23 .. 25 IMU1 加速度计积分的速度
    float         posD1;          // 26      IMU1 加速度计积分的高度
    Vector3f      vel2;           // 27 .. 29 IMU2 加速度计积分的速度
}
```

```

float      posD2;           // 30      IMU2 计速度计积分的高度
Vector3f   omega;          // 31 .. 33
} &state;

```

状态方程

$$x_t = Fx_{t-1} + Gu_t$$

量测方程

$$z_t = Hx_t$$

Px4 ekf 代码流程如下

一、预测系统均方差

相关代码在 CovariancePrediction()函数中实现

Covariance Prediction

- The uncertainty in the states should always **grow** over time (until a measurement fusion occurs).
- The EKF linearises the system equations about the current state estimate when estimating the growth in uncertainty

$$P_k = F_{k-1} P_{k-1} F_{k-1}^T + G_{k-1} Q_{k-1} G_{k-1}^T + Q_s$$

Covariance Matrix

$$F_k = \left(\frac{\partial f}{\partial x} \right)_k$$

$$G_k = \left(\frac{\partial f}{\partial u} \right)_k$$

Process noise due to IMU errors

Additional process noise used to stabilise the filter

State and control Jacobians

二、融合测量数据、更新均方差

相关代码在 FuseVelPosNED()、FuseMagnetometer()、FuseOptFlow()、FuseAirspeed()、FuseSideslip()中

Measurement Fusion

Updates the state estimates and covariance matrix using measurements.

The covariance will always **decrease** after measurements are fused provided new information is gained.

Kalman Gain: $K = P_k^- H_k \left[H_k P_k^- H_k^T + R_k \right]^{-1}$ $H_k = \left(\frac{\partial z_p}{\partial x} \right)_k$

Innovation: $\nu = z - z_p$ Measurement covariance

Covariance Update: $P_k^+ = \left[I - KH_k \right] P_k^-$ Predicted measurement

State Update: $x_k^+ = x_k^- + K\nu$ Actual measurement

计算 F_k 、 Q_k 、 G_k 和 H_k

[illegible]

其中

(sq 表示“平方”,dvxCov 是加速度计在 x 轴的方差,dvyCov 加速度计在 y 轴的方差,dvzCov 加速度计在 z 轴的方差,daxCov 陀螺仪在 x 轴上的方差, dayCov 陀螺仪在 y 轴上的方差, dazCov 陀螺仪在 z 轴上的方差)

$$q_{0,0} = \text{daxCov} = \text{sq}(\text{dt} * \text{_gyrNoise});$$

$$q_{1,1} = \text{dayCov} = \text{sq}(\text{dt} * \text{_gyrNoise});$$

$$q_{2,2} = \text{dazCov} = \text{sq}(\text{dt} * \text{_gyrNoise}) + \text{sq}(\text{dt} * 0.03 \text{f} * \text{yawRateFilt});$$

$$q_{4.4} = \text{dvxCov} = \text{sq}(\text{dt} * \text{accNoise});$$

$$q_{55} = \text{dvyCov} = \text{sq}(\text{dt}^*_{\text{accNoise}});$$

$$q_{6,6} = \text{dvzCov} = \text{sq}(\text{dt}^*_{\text{accNoise}});$$

由于 H_k 是估计测量值对 22 维状态的雅克比矩阵 $\left\{ \frac{\partial \bar{z}_t}{\partial x} \right\}$ ，不同的传感器其雅克比矩阵不同，在具体的传感器数据融合中分析。

F 和 G 矩阵的计算

从 Application_of_Data_Fusion_to_Aerial_Robotics.pdf 文档中，我们可以找到 F 和 G 矩阵的计算原理

$F = \frac{\partial x_t}{\partial x_{t-1}}$ ，要求 F 矩阵，我们需要向找到 x_t 中每一项对于 x_{t-1} 的更新方程

影响 t 时刻四元数的值，有 t-1 时刻的四元素和陀螺仪的角度的积分值以及陀螺仪的误差；影响 t 时刻速度，有 t-1 时刻的速度值和速度的增量值，以及加速度计的误差；影响 t 时刻的位置的有 t-1 时刻的位置和速度，根据这些，我们可以把 F 矩阵列出来

$$F = \begin{matrix} & 1 & F_{0,1} & F_{0,2} & F_{0,3} & 0 & 0 & 0 & 0 & 0 & 0 & F_{0,10} & F_{0,11} & F_{0,12} & 0 & 0 & 0 & 0 & 0 & 0 & 0 & 0 & 0 \\ F_{1,0} & 1 & F_{1,2} & F_{1,3} & 0 & 0 & 0 & 0 & 0 & 0 & -\frac{q_0}{2} & F_{1,11} & F_{1,12} & 0 & 0 & 0 & 0 & 0 & 0 & 0 & 0 & 0 \\ F_{2,0} & F_{2,1} & 1 & F_{2,3} & 0 & 0 & 0 & 0 & 0 & 0 & F_{2,10} & -\frac{q_0}{2} & F_{2,12} & 0 & 0 & 0 & 0 & 0 & 0 & 0 & 0 & 0 \\ F_{3,0} & F_{3,1} & F_{3,2} & 1 & 0 & 0 & 0 & 0 & 0 & 0 & F_{3,10} & F_{3,11} & -\frac{q_0}{2} & 0 & 0 & 0 & 0 & 0 & 0 & 0 & 0 & 0 \\ F_{4,0} & F_{4,1} & F_{4,2} & F_{4,3} & 1 & 0 & 0 & 0 & 0 & 0 & 0 & 0 & 0 & F_{4,13} & 0 & 0 & 0 & 0 & 0 & 0 & 0 & 0 \\ F_{5,0} & F_{5,1} & F_{5,2} & F_{5,3} & 0 & 1 & 0 & 0 & 0 & 0 & 0 & 0 & 0 & F_{5,13} & 0 & 0 & 0 & 0 & 0 & 0 & 0 & 0 \\ F_{6,0} & F_{6,1} & F_{6,2} & F_{6,3} & 0 & 0 & 1 & 0 & 0 & 0 & 0 & 0 & 0 & F_{6,13} & 0 & 0 & 0 & 0 & 0 & 0 & 0 & 0 \\ 0 & 0 & 0 & 0 & dt & 0 & 0 & 1 & 0 & 0 & 0 & 0 & 0 & 0 & 0 & 0 & 0 & 0 & 0 & 0 & 0 \\ 0 & 0 & 0 & 0 & 0 & dt & 0 & 0 & 1 & 0 & 0 & 0 & 0 & 0 & 0 & 0 & 0 & 0 & 0 & 0 & 0 \\ 0 & 0 & 0 & 0 & 0 & 0 & dt & 0 & 0 & 1 & 0 & 0 & 0 & 0 & 0 & 0 & 0 & 0 & 0 & 0 & 0 \\ 0 & 0 & 0 & 0 & 0 & 0 & 0 & 0 & 0 & 0 & 1 & 0 & 0 & 0 & 0 & 0 & 0 & 0 & 0 & 0 & 0 \\ 0 & 0 & 0 & 0 & 0 & 0 & 0 & 0 & 0 & 0 & 0 & 1 & 0 & 0 & 0 & 0 & 0 & 0 & 0 & 0 & 0 \\ 0 & 0 & 0 & 0 & 0 & 0 & 0 & 0 & 0 & 0 & 0 & 0 & 1 & 0 & 0 & 0 & 0 & 0 & 0 & 0 & 0 \\ 0 & 0 & 0 & 0 & 0 & 0 & 0 & 0 & 0 & 0 & 0 & 0 & 0 & 1 & 0 & 0 & 0 & 0 & 0 & 0 & 0 \\ 0 & 0 & 0 & 0 & 0 & 0 & 0 & 0 & 0 & 0 & 0 & 0 & 0 & 0 & 1 & 0 & 0 & 0 & 0 & 0 & 0 \\ 0 & 0 & 0 & 0 & 0 & 0 & 0 & 0 & 0 & 0 & 0 & 0 & 0 & 0 & 0 & 1 & 0 & 0 & 0 & 0 & 0 \\ 0 & 0 & 0 & 0 & 0 & 0 & 0 & 0 & 0 & 0 & 0 & 0 & 0 & 0 & 0 & 0 & 1 & 0 & 0 & 0 & 0 \\ 0 & 0 & 0 & 0 & 0 & 0 & 0 & 0 & 0 & 0 & 0 & 0 & 0 & 0 & 0 & 0 & 0 & 1 & 0 & 0 & 0 \\ 0 & 0 & 0 & 0 & 0 & 0 & 0 & 0 & 0 & 0 & 0 & 0 & 0 & 0 & 0 & 0 & 0 & 0 & 1 & 0 & 0 \\ 0 & 0 & 0 & 0 & 0 & 0 & 0 & 0 & 0 & 0 & 0 & 0 & 0 & 0 & 0 & 0 & 0 & 0 & 0 & 1 & 0 \\ 0 & 1 \end{matrix}$$

首先看最四元数的更新

（该资料来自网上《四元数解算姿态完全解析及资料汇总》）

一阶龙格库塔法更新四元数

3. 四元數微分

四元數微分, 已知一四元數 $Q = \cos[\frac{\theta}{2}] + \hat{n} \cdot \sin[\frac{\theta}{2}]$, 對時間微分

$$\frac{dQ}{dt} = -\frac{1}{2} \sin[\frac{\theta}{2}] \cdot \frac{d\theta}{dt} + \frac{d\hat{n}}{dt} \cdot \sin[\frac{\theta}{2}] + \hat{n} \cdot \frac{1}{2} \cos[\frac{\theta}{2}] \cdot \frac{d\theta}{dt}$$

已知 $\hat{n} \cdot \hat{n} = -1$, $\frac{d\hat{n}}{dt} = 0$, $\frac{d\theta}{dt} = \omega_{Eb}^E$, E 為地理座標系, b 為飛行器坐標系

$$\frac{dQ}{dt} = \frac{1}{2} \hat{n} \cdot \omega_{Eb}^E \cdot (\cos[\frac{\theta}{2}] + \hat{n} \cdot \sin[\frac{\theta}{2}]) = \frac{1}{2} \vec{\omega}_{Eb}^E \cdot Q$$

因為陀螺儀在飛行器上測到的角速度為 $\vec{\omega}_{Eb}^b = \omega_x \hat{i} + \omega_y \hat{j} + \omega_z \hat{k}$, 故將 $\vec{\omega}_{Eb}^E$ 轉換成 $\vec{\omega}_{Eb}^b$ 會較為方便

$$\begin{aligned} \vec{\omega}_{Eb}^b &= Q^* \vec{\omega}_{Eb}^E \cdot Q \Rightarrow Q \cdot \vec{\omega}_{Eb}^b = Q \cdot Q^* \cdot \vec{\omega}_{Eb}^E \cdot Q = \vec{\omega}_{Eb}^E \cdot Q \\ \Rightarrow \frac{dQ}{dt} &= \frac{1}{2} \vec{\omega}_{Eb}^E \cdot Q = \frac{1}{2} Q \cdot \vec{\omega}_{Eb}^b \end{aligned}$$

將 $\frac{dQ}{dt} = \frac{1}{2} Q \cdot \vec{\omega}_{Eb}^b$ 展開

$$\frac{dQ}{dt} = \frac{1}{2} (q_0 + q_1 \hat{i} + q_2 \hat{j} + q_3 \hat{k}) \cdot (\omega_x \hat{i} + \omega_y \hat{j} + \omega_z \hat{k}) = \frac{1}{2} \begin{pmatrix} 0 & -\omega_x & -\omega_y & -\omega_z \\ \omega_x & 0 & \omega_z & -\omega_y \\ \omega_y & -\omega_z & 0 & \omega_x \\ \omega_z & \omega_y & -\omega_x & 0 \end{pmatrix} \cdot \begin{pmatrix} q_0 \\ q_1 \\ q_2 \\ q_3 \end{pmatrix}$$

整理為

$$\frac{dQ}{dt} = \Omega_b \cdot Q$$

其中

$$\Omega_b = \frac{1}{2} \begin{pmatrix} 0 & -\omega_x & -\omega_y & -\omega_z \\ \omega_x & 0 & \omega_z & -\omega_y \\ \omega_y & -\omega_z & 0 & \omega_x \\ \omega_z & \omega_y & -\omega_x & 0 \end{pmatrix}$$

4. 更新四元數

使用一階 Runge-Kutta 更新四元數, 假設有一微分方程

$$\frac{dX}{dt} = f[X[t], \omega[t]]$$

則其解為

$$X[t + \Delta t] = X[t] + \Delta t \cdot f[X[t], \omega[t]]$$

其中 Δt 為取樣週期, 將套用至四元數

$$Q[t + \Delta t] = Q[t] + \Delta t \cdot \Omega_b[t] \cdot Q[t]$$

展開上式

$$\begin{pmatrix} q_0 \\ q_1 \\ q_2 \\ q_3 \end{pmatrix}_{t+\Delta t} = \begin{pmatrix} q_0 \\ q_1 \\ q_2 \\ q_3 \end{pmatrix}_t + \frac{\Delta t}{2} \begin{pmatrix} -\omega_x \cdot q_1 - \omega_y \cdot q_2 - \omega_z \cdot q_3 \\ +\omega_x \cdot q_0 - \omega_y \cdot q_3 + \omega_z \cdot q_2 \\ +\omega_x \cdot q_3 + \omega_y \cdot q_0 - \omega_z \cdot q_1 \\ -\omega_x \cdot q_2 + \omega_y \cdot q_1 + \omega_z \cdot q_0 \end{pmatrix}$$

只需利用角速度即可更新四元數

px4 考慮了陀螺儀偏移误差的問題, 所以在該方程的後面添加了一項

$$\begin{pmatrix} q_0 \\ q_1 \\ q_2 \\ q_3 \end{pmatrix}_{t+\Delta t} = \begin{pmatrix} q_0 \\ q_1 \\ q_2 \\ q_3 \end{pmatrix}_t + \frac{1}{2}(w * \Delta t) \begin{Bmatrix} -q_1 & -q_2 & -q_3 \\ q_0 & -q_3 & q_2 \\ q_3 & q_0 & -q_1 \\ -q_2 & q_1 & q_0 \end{Bmatrix}^T - g_{bias} \begin{Bmatrix} -q_1 & -q_2 & -q_3 \\ q_0 & -q_3 & q_2 \\ q_3 & q_0 & -q_1 \\ -q_2 & q_1 & q_0 \end{Bmatrix}^T$$

为了与代码一致，这个公式要做一点小小的变化

$$\begin{pmatrix} q_0 \\ q_1 \\ q_2 \\ q_3 \end{pmatrix}_{t+\Delta t} = \begin{pmatrix} q_0 \\ q_1 \\ q_2 \\ q_3 \end{pmatrix}_t + \frac{1}{2}(w * \Delta t - g_{bias}) \begin{Bmatrix} -q_1 & -q_2 & -q_3 \\ q_0 & -q_3 & q_2 \\ q_3 & q_0 & -q_1 \\ -q_2 & q_1 & q_0 \end{Bmatrix}^T - \frac{1}{2}g_{bias} \begin{Bmatrix} -q_1 & -q_2 & -q_3 \\ q_0 & -q_3 & q_2 \\ q_3 & q_0 & -q_1 \\ -q_2 & q_1 & q_0 \end{Bmatrix}^T$$

其中

$$w = \begin{pmatrix} w_x & w_y & w_z \end{pmatrix}$$

根据上面的关系，我们可以展开成与 q_0, q_1, q_2, q_3 相关的方程

$$\begin{aligned} Q_0(t+\Delta t) &= q_0 + q_1 * (1/2) * (dax_b - dax) + q_2 * (1/2) * (day_b - day) + q_3 * (1/2) * (daz_b - daz) + \\ &\quad (1/2) * dax_b * q_1 + (1/2) * day_b * q_2 + (1/2) * daz_b * q_3; \\ Q_1(t+\Delta t) &= q_0 * (1/2) * (dax - dax_b) + q_1 + q_2 * (1/2) * (daz - daz_b) + q_3 * (1/2) * (day_b - day) + \\ &\quad (1/2) * dax_b * q_0 + (1/2) * day_b * q_3 - (1/2) * daz_b * q_2; \\ Q_2(t+\Delta t) &= q_0 * (1/2) * (day - day_b) + q_1 * (1/2) * (daz_b - daz) + q_2 + q_3 * (1/2) * (dax - dax_b) + \\ &\quad (-1/2) * dax_b * q_3 - (1/2) * day_b * q_0 + (1/2) * day_z * q_1; \\ Q_3(t+\Delta t) &= q_0 * (1/2) * (daz - daz_b) + q_1 * (1/2) * (day - day_b) + q_2 * (1/2) * (dax_b - dax) + q_3 + \\ &\quad (1/2) * dax_b * q_2 - (1/2) * day_b * q_1 - (1/2) * daz_b * q_0; \end{aligned}$$

速度的更新

在 px4 的 matlab 中有

```
% define the velocity update equations
vNew = [vn;ve;vd] + [gn;ge;gd]*dt + Tbn*dVelCor;
```

速度的更新=上一时刻的速度+加速度计对时间的积分+加速度计的偏移误差

$$\begin{pmatrix} v_x \\ v_y \\ v_z \end{pmatrix}_{t+\Delta t} = \begin{pmatrix} v_x \\ v_y \\ v_z \end{pmatrix}_t + 2(a * \Delta t) * (C_b^R)^T - a_{bias} * (C_b^R)^T$$

为了代码中一致，这里做一个小小的变化

$$\begin{pmatrix} v_x \\ v_y \\ v_z \end{pmatrix}_{t+\Delta t} = \begin{pmatrix} v_x \\ v_y \\ v_z \end{pmatrix}_t + 2(a * \Delta t - a_{bias}) * (C_b^R)^T + a_{bias} * (C_b^R)^T$$

式中的“2”不知道 why。

其中 $e_{bias} = a_{bias} = \begin{pmatrix} 0 & 0 & a_{bias.z} \end{pmatrix}$ ，这里吧 X 和 Y 轴的偏移误差忽略掉了

$a = (a_x \quad a_y \quad a_z)$ ，其中第二项是要把速度的增量分配到各个轴上去。

$$C_b^R = \begin{bmatrix} q_0^2 + q_1^2 - q_2^2 - q_3^2 & 2(q_1q_2 - q_0q_3) & 2(q_1q_3 + q_0q_2) \\ 2(q_1q_2 + q_0q_3) & q_0^2 - q_1^2 + q_2^2 - q_3^2 & 2(q_2q_3 - q_0q_1) \\ 2(q_1q_3 - q_0q_2) & 2(q_2q_3 + q_0q_1) & q_0^2 - q_1^2 - q_2^2 + q_3^2 \end{bmatrix} \quad (9.2.34)$$

$$V.x(t+\Delta t) = v.x + 2*dvx*(q0*q0 + q1*q2 - q2*q2 - q3*q3) + 2*dvy*(-2*q0*q3 + 2*q1*q2) + 2*(dvz - dvz_b)*(2*q0*q2 + 2*q1*q3) - a.z*2*(q0*q2 + q1*q3);$$

$$V.y(t+\Delta t) = v.y + 2*dvx*(2*q0*q3 + 2*q1*q2) + 2*dvy*(q0*q0 - q1*q1 + q2*q2 - q3*q3) + 2*(dvz - dvz_b)*(-2*q0*q1 + 2*q2*q3) + a.z*2*(q0*q1 - q2*q3);$$

$$V.z(t+\Delta t) = v.z + 2*dvx*(-2*q0*q2 + 2*q1*q3) + 2*dvy*(2*q0*q1 + 2*q2*q3) + 2*(dvz - dvz_b)*(q0*q0 - q1*q1 - q2*q2 + q3*q3) - a.z*(q0*q0 - q1*q1 - q2*q2 + q3*q3);$$

继续变形为

$$V.x(t+\Delta t) = q0*(2*q2*(dvz - dvz_b) + 2*dvx*q0 - 2*dvy*q3) + q1*(2*q3*(dvz - dvz_b) + 2*dvx*q1 + 2*dvy*q2) + q2*(2*q0*(dvz - dvz_b) - 2*dvx*q2 + 2*dvy*q1) - q3*(-2*q1*(dvz - dvz_b) + 2*dvx*q3 + 2*dvy*q0) + v.x - a.z*2*(q0*q2 + q1*q3);$$

$$V.y(t+\Delta t) = q0*(-2*q1*(dvz - dvz_b) + 2*dvx*q3 + 2*dvy*q0) - q1*(2*q0*(dvz - dvz_b) - 2*dvx*q2 + 2*dvy*q1) + q2*(2*q3*(dvz - dvz_b) + 2*dvx*q1 + 2*dvy*q2) + q3*(2*q2*(dvz - dvz_b) + 2*dvx*q0 - 2*dvy*q3) + v.y + a.z*2*(q0*q1 - q2*q3);$$

$$V.z(t+\Delta t) = q0*(2*q0*(dvz - dvz_b) - 2*dvx*q2 + 2*dvy*q1) + q1*(-2*q1*(dvz - dvz_b) + 2*dvx*q3 + 2*dvy*q0) - q2*(2*q2*(dvz - dvz_b) + 2*dvx*q0 - 2*dvy*q3) + q3*(2*q3*(dvz - dvz_b) + 2*dvx*q1 + 2*dvy*q2) + v.z - a.z*(q0*q0 - q1*q1 - q2*q2 + q3*q3);$$

(C_b^R 的是旋转矩阵，求发如下，来自《四元数解算姿态完全解析及资料汇总》)

四元数与姿态阵间的关系——摘自《惯性导航》-秦永元 P292-297

9.2.2 四元数与姿态阵间的关系

设有参考坐标系 R ，坐标轴为 x_0, y_0, z_0 ，坐标轴方向的单位向量为 i_0, j_0, k_0 。刚体相对 R 系作定点转动，定点为 O 。取坐标系 b 与刚体固联， b 系的坐标轴为 x, y, z ，坐标轴方向的单位向量为 i, j, k 。假设初始时刻 b 系与 R 系重合。为了便于分析刚体的空间角位置，在刚体上取一点 A ，转动点 O 至该点引位置向量 OA ，如图 9.2.1 所示。则该位置向量的空间位置实际上描述了刚体的空间角位置。

设刚体以 $\omega = \omega_x i + \omega_y j + \omega_z k$ 相对 R 系旋转, 初始时刻位置向量处于 $OA = r$, 经过时间 t 后位置向量处于 $OA' = r'$ 。根据欧拉定理, 仅考虑刚体在 0 时刻和 t 时刻的角位置时, 刚体从 A 位置转到 A' 位置的转动可等效成绕瞬轴 u (单位向量) 转过 θ 角一次完成。这样, 位置向量做圆锥运动, A 和 A' 位于同一圆上, r 和 r' 位于同一圆锥面上。

下面分析 r' 与 r 的关系。在圆上取一点 B , 使 $\angle AO'B = 90^\circ$, 由图得

$$OO' = (r \cdot u)u$$

$$O'A = r - OO' = r - (r \cdot u)u$$

$$O'B = u \times O'A$$

$$= u \times r - (r \cdot u)u \times u = u \times r$$

$$O'A' = O'A \cos \theta + O'B \sin \theta$$

$$= r \cos \theta - (r \cdot u)u \cos \theta + u \times r \sin \theta$$

所以

$$\begin{aligned} r' &= OO' + O'A' = r \cos \theta + (1 - \cos \theta) \\ &\quad \times (r \cdot u)u + u \times r \sin \theta \end{aligned}$$

由三重矢积计算公式:

$$\begin{aligned} u \times (u \times r) &= u(u \cdot r) - (u \cdot u)r \\ &= (r \cdot u)u - r \end{aligned}$$

即

$$(r \cdot u)u = r + u \times (u \times r)$$

所以

$$\begin{aligned} r' &= r \cos \theta + (1 - \cos \theta)[r + u \times (u \times r)] + u \times r \sin \theta \\ &= r + u \times r \sin \theta + (1 - \cos \theta)u \times (u \times r) \end{aligned}$$

将上式向 R 系内投影:

$$\begin{aligned} r'^R &= r^R + (u \times r)^R \sin \theta \\ &\quad + (1 - \cos \theta)[u \times (u \times r)]^R \end{aligned}$$

记

$$r'^R = \begin{bmatrix} r'_x \\ r'_y \\ r'_z \end{bmatrix}, \quad r^R = \begin{bmatrix} r_x \\ r_y \\ r_z \end{bmatrix}, \quad u^R = \begin{bmatrix} l \\ m \\ n \end{bmatrix}$$

又根据叉乘关系表达式:

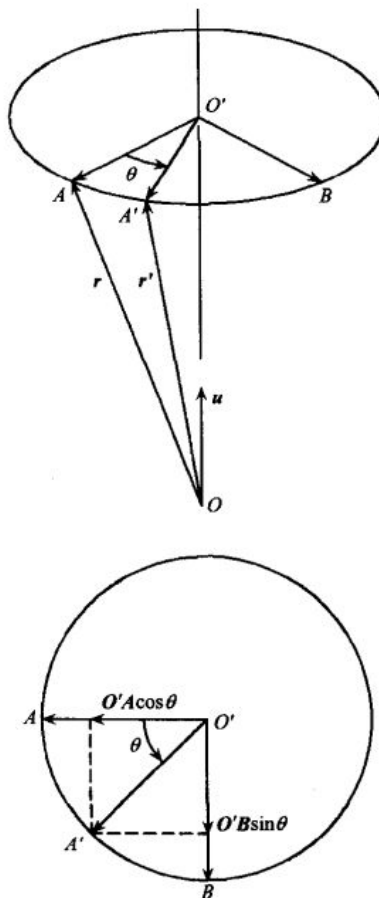


图 9.2.1 刚体的等效旋转

$$(\mathbf{u} \times \mathbf{r})^R = \begin{bmatrix} 0 & -n & m \\ n & 0 & -l \\ -m & l & 0 \end{bmatrix} \begin{bmatrix} r_x \\ r_y \\ r_z \end{bmatrix}$$

记

$$\mathbf{U} = \begin{bmatrix} 0 & -n & m \\ n & 0 & -l \\ -m & l & 0 \end{bmatrix} \quad (9.2.23)$$

则

$$\begin{aligned} (\mathbf{u} \times \mathbf{r})^R &= \mathbf{U} \mathbf{r}^R \\ [\mathbf{u} \times (\mathbf{u} \times \mathbf{r})]^R &= \mathbf{U} \cdot \mathbf{U} \mathbf{r}^R \end{aligned}$$

所以

$$\begin{aligned} \mathbf{r}'^R &= \mathbf{r}^R + \mathbf{U} \mathbf{r}^R \sin \theta + (1 - \cos \theta) \mathbf{U} \cdot \mathbf{U} \mathbf{r}^R \\ &= \left(\mathbf{I} + 2\mathbf{U} \sin \frac{\theta}{2} \cos \frac{\theta}{2} + 2\sin^2 \frac{\theta}{2} \mathbf{U} \cdot \mathbf{U} \right) \mathbf{r}^R \end{aligned} \quad (9.2.24)$$

令

$$\mathbf{D} = \mathbf{I} + 2\mathbf{U} \sin \frac{\theta}{2} \cos \frac{\theta}{2} + 2\sin^2 \frac{\theta}{2} \mathbf{U} \cdot \mathbf{U} \quad (9.2.25)$$

则式(9.2.24)可写成:

$$\mathbf{r}'^R = \mathbf{D} \mathbf{r}^R \quad (9.2.26)$$

记初始时刻的刚体固联坐标系为 b_0 , 由于初始时刻刚体固联坐标系与参考坐标系重合, 所以

$$\mathbf{r}^R = \mathbf{r}^{b_0} \quad (9.2.27)$$

而在转动过程中, 位置向量和 b 系都同刚体固联, 所以位置向量和 b 系的相对角位置始终不变, 即有

$$\mathbf{r}^{b_0} = \mathbf{r}'^b \quad (9.2.28)$$

将式(9.2.28)代入式(9.2.27), 得

$$\mathbf{r}^R = \mathbf{r}'^b \quad (9.2.29)$$

将式(9.2.29)代入式(9.2.26), 得

$$\mathbf{r}'^R = \mathbf{D} \mathbf{r}'^b$$

该式说明 \mathbf{D} 即为 b 系至 R 系的坐标变换矩阵, 根据式(9.2.25)和式(9.2.23)

$$\mathbf{C}_b^R = \mathbf{D} = \mathbf{I} + 2\mathbf{U} \sin \frac{\theta}{2} \cos \frac{\theta}{2} + 2\sin^2 \frac{\theta}{2} \mathbf{U} \cdot \mathbf{U} \quad (9.2.30a)$$

即

$$\mathbf{C}_b^R = \begin{bmatrix} 1 & 0 & 0 \\ 0 & 1 & 0 \\ 0 & 0 & 1 \end{bmatrix} + 2\cos \frac{\theta}{2} \begin{bmatrix} 0 & -n\sin \frac{\theta}{2} & m\sin \frac{\theta}{2} \\ n\sin \frac{\theta}{2} & 0 & -l\sin \frac{\theta}{2} \\ -m\sin \frac{\theta}{2} & l\sin \frac{\theta}{2} & 0 \end{bmatrix}$$

$$+ 2 \begin{bmatrix} -(m^2 + n^2)\sin^2 \frac{\theta}{2} & l\sin^2 \frac{\theta}{2} & l\sin^2 \frac{\theta}{2} \\ l\sin^2 \frac{\theta}{2} & -(l^2 + n^2)\sin^2 \frac{\theta}{2} & m\sin^2 \frac{\theta}{2} \\ l\sin^2 \frac{\theta}{2} & m\sin^2 \frac{\theta}{2} & -(m^2 + l^2)\sin^2 \frac{\theta}{2} \end{bmatrix} \quad (9.2.30b)$$

令

$$\begin{cases} q_0 = \cos \frac{\theta}{2} \\ q_1 = l\sin \frac{\theta}{2} \\ q_2 = m\sin \frac{\theta}{2} \\ q_3 = n\sin \frac{\theta}{2} \end{cases} \quad (9.2.31)$$

并以 q_0, q_1, q_2, q_3 构造四元数:

$$\begin{aligned} \boldsymbol{Q} &= q_0 + q_1 \boldsymbol{i}_0 + q_2 \boldsymbol{j}_0 + q_3 \boldsymbol{k}_0 = \cos \frac{\theta}{2} + (l\boldsymbol{i}_0 + m\boldsymbol{j}_0 + n\boldsymbol{k}_0)\sin \frac{\theta}{2} \\ &= \cos \frac{\theta}{2} + \boldsymbol{u}^R \sin \frac{\theta}{2} \end{aligned} \quad (9.2.32)$$

则可得如下结论:

(1) 四元数 $\boldsymbol{Q} = \cos \frac{\theta}{2} + \boldsymbol{u}^R \sin \frac{\theta}{2}$ 描述了刚体的定点转动, 即当只关心 b 系相对 R 系的角位置时, 可认为 b 系是由 R 系经过无中间过程的一次性等效旋转形成的, \boldsymbol{Q} 包含了这种等效旋转的全部信息; \boldsymbol{u}^R 为旋转瞬轴和旋转方向, θ 为转过的角度。

(2) 四元数可确定出 b 系至 R 系的坐标变换矩阵。将式 (9.2.31) 代入式 (9.2.30), 得

$$\boldsymbol{C}_b^R = \begin{bmatrix} 1 - 2(q_1^2 + q_2^2 + q_3^2) & 2(q_1q_2 - q_0q_3) & 2(q_1q_3 + q_0q_2) \\ 2(q_1q_2 + q_0q_3) & 1 - 2(q_1^2 + q_2^2) & 2(q_2q_3 - q_0q_1) \\ 2(q_1q_3 - q_0q_2) & 2(q_2q_3 + q_0q_1) & 1 - 2(q_1^2 + q_2^2) \end{bmatrix} \quad (9.2.33)$$

由于 $\|\boldsymbol{Q}\| = q_0^2 + q_1^2 + q_2^2 + q_3^2 = \cos^2 \frac{\theta}{2} + (l^2 + m^2 + n^2)\sin^2 \frac{\theta}{2} = 1$, 所以可进一步推得如下结论:

(1) 描述刚体旋转的四元数是规范化四元数。

(2) 式 (9.2.33) 可写成:

$$\boldsymbol{C}_b^R = \begin{bmatrix} q_0^2 + q_1^2 - q_2^2 - q_3^2 & 2(q_1q_2 - q_0q_3) & 2(q_1q_3 + q_0q_2) \\ 2(q_1q_2 + q_0q_3) & q_0^2 - q_1^2 + q_2^2 - q_3^2 & 2(q_2q_3 - q_0q_1) \\ 2(q_1q_3 - q_0q_2) & 2(q_2q_3 + q_0q_1) & q_0^2 - q_1^2 - q_2^2 + q_3^2 \end{bmatrix} \quad (9.2.34)$$

如果参考坐标系 R 是导航坐标系 n , 刚体固联坐标系 b 为机体坐标系, 则坐标变换阵 C_b^R 就是姿态矩阵 C_b^n , 而由姿态矩阵可计算出航向角和姿态角。

设运载体的航向角为 Ψ (习惯上以北偏东为正), 俯仰角为 θ , 横滚角为 γ , 取地理坐标系 g 为导航坐标系, 并规定 x_g, y_g, z_g 的指向依次为东、北、天, 则机体坐标系 b 与导航坐标系 n (即地理坐标系 g) 的关系如图 1.2.3 所示。

由该图可得三次基本旋转对应的坐标变换阵为

$$C_n^1 = C_g^1 = \begin{bmatrix} \cos\Psi & -\sin\Psi & 0 \\ \sin\Psi & \cos\Psi & 0 \\ 0 & 0 & 1 \end{bmatrix} \quad (9.2.37)$$

$$\begin{aligned} C_1^b &= C_2^1 C_1^1 = \begin{bmatrix} \cos\gamma & 0 & -\sin\gamma \\ 0 & 1 & 0 \\ \sin\gamma & 0 & \cos\gamma \end{bmatrix} \begin{bmatrix} 1 & 0 & 0 \\ 0 & \cos\theta & \sin\theta \\ 0 & -\sin\theta & \cos\theta \end{bmatrix} \\ &= \begin{bmatrix} \cos\gamma & \sin\theta\sin\gamma & -\cos\theta\sin\gamma \\ 0 & \cos\theta & \sin\theta \\ \sin\gamma & -\sin\theta\cos\gamma & \cos\theta\cos\gamma \end{bmatrix} \end{aligned} \quad (9.2.38)$$

$$\begin{aligned} C_n^b &= C_1^b \cdot C_n^1 \\ &= \begin{bmatrix} \cos\gamma\cos\Psi + \sin\gamma\sin\Psi\sin\theta & -\cos\gamma\sin\Psi + \sin\gamma\cos\Psi\sin\theta & -\sin\gamma\cos\theta \\ \sin\Psi\cos\theta & \cos\Psi\cos\theta & \sin\theta \\ \sin\gamma\cos\Psi - \cos\gamma\sin\Psi\sin\theta & -\sin\gamma\sin\Psi - \cos\gamma\cos\Psi\sin\theta & \cos\gamma\cos\theta \end{bmatrix} \end{aligned} \quad (9.2.39)$$

记 $C_b^n = \begin{bmatrix} T_{11} & T_{12} & T_{13} \\ T_{21} & T_{22} & T_{23} \\ T_{31} & T_{32} & T_{33} \end{bmatrix}$, 由于 n 系至 b 系的旋转过程中坐标系始终保持直角坐标系, 所以 C_b^n 为正交矩阵

$$C_n^b = (C_b^n)^T = \begin{bmatrix} T_{11} & T_{21} & T_{31} \\ T_{12} & T_{22} & T_{32} \\ T_{13} & T_{23} & T_{33} \end{bmatrix} \quad (9.2.40)$$

比较式(9.2.39)和式(9.2.40),得

$$\begin{cases} \theta = \arcsin(T_{32}) \\ \gamma_{\pm} = \arctan\left(-\frac{T_{31}}{T_{33}}\right) \\ \Psi_{\pm} = \arctan\left(\frac{T_{12}}{T_{22}}\right) \end{cases} \quad (9.2.41)$$

航向角和横滚角的真值按表 9.2.1 和表 9.2.2 确定。

表 9.2.1 航向角 Ψ 真值表

| T_{22} | T_{12} | Ψ |
|-----------------|----------|--------------------------|
| $\rightarrow 0$ | + | 90° |
| $\rightarrow 0$ | - | -90° |
| + | + | Ψ_{\pm} |
| + | - | Ψ_{\pm} |
| - | + | $\Psi_{\pm} + 180^\circ$ |
| - | - | $\Psi_{\pm} - 180^\circ$ |

表 9.2.2 横滚角 γ 真值表

| γ_{\pm} | T_{33} | γ |
|----------------|----------|----------------------------|
| + | + | γ_{\pm} |
| - | | |
| + | - | $\gamma_{\pm} - 180^\circ$ |
| - | - | $\gamma_{\pm} + 180^\circ$ |

上述分析说明:如果表征 n 系至 b 系的旋转四元数 Q 已确定,则按式(9.2.33)或式(9.2.34)可计算出姿态阵 C_n^b ,再按式(9.2.41)和表 9.2.1 及表 9.2.2 可确定出运载体的航向角、俯仰角和横滚角,因此,四元数 Q 包含了所有的姿态信息,捷联惯导中的姿态更新实质上是如何计算四元数 Q 。

位置的更新

Px4 matlab 中关于位置更新的描述

```
% define the position update equations
pNew = [pn;pe;pd] + [vn;ve;vd]*dt;
```

根据上面的求出的四元数、速度和位置的公式,我们可以都其中的每一项进行求偏导,就得到了 F 对应的每项的值

$$F_{0,1} = \frac{\partial q_0(t+\Delta t)}{\partial q_1} = \text{dax_b}/2 - \text{dax}/2; \quad F_{0,2} = \frac{\partial q_0(t+\Delta t)}{\partial q_2} = \text{day_b}/2 - \text{day}/2;$$

$$F_{0,3} = \frac{\partial q_0(t+\Delta t)}{\partial q_1} = \text{daz_b}/2 - \text{daz}/2; \quad F_{0,10} = \frac{\partial q_0(t+\Delta t)}{\partial \text{dax_b}} = \text{q1}/2;$$

$$F_{0,11} = \frac{\partial q_0(t+\Delta t)}{\partial \text{day_b}} = \text{q2}/2; \quad F_{0,12} = \frac{\partial q_0(t+\Delta t)}{\partial \text{daz_b}} = \text{q3}/2;$$

$$F_{1,0} = \frac{\partial q_1(t+\Delta t)}{\partial q_0} = \text{dax}/2 - \text{dax_b}/2; \quad F_{1,2} = \frac{\partial q_1(t+\Delta t)}{\partial q_2} = \text{daz}/2 - \text{daz_b}/2;$$

$$\begin{aligned}
F_{1,3} &= \frac{\partial q_1(t+\Delta t)}{\partial q_3} = \text{day_b}/2 - \text{day}/2; & F_{1,10} &= \frac{\partial q_1(t+\Delta t)}{\partial \text{dax_b}} = -\frac{q_0}{2} \\
F_{1,11} &= \frac{\partial q_1(t+\Delta t)}{\partial \text{day_b}} = q_3/2; & F_{1,12} &= \frac{\partial q_1(t+\Delta t)}{\partial \text{daz_b}} = -q_2/2; \\
F_{2,0} &= \frac{\partial q_2(t+\Delta t)}{\partial q_0} = \text{day}/2 - \text{day_b}/2; & F_{2,1} &= \frac{\partial q_2(t+\Delta t)}{\partial q_1} = \text{daz_b}/2 - \text{daz}/2; \\
F_{2,3} &= \frac{\partial q_2(t+\Delta t)}{\partial q_3} = \text{dax}/2 - \text{dax_b}/2; & F_{2,10} &= \frac{\partial q_2(t+\Delta t)}{\partial \text{dax_b}} = -q_3/2; \\
F_{2,11} &= \frac{\partial q_2(t+\Delta t)}{\partial \text{day_b}} = -\frac{q_0}{2}; & F_{2,12} &= \frac{\partial q_2(t+\Delta t)}{\partial \text{daz_b}} = q_1/2; \\
F_{3,0} &= \frac{\partial q_3(t+\Delta t)}{\partial q_0} = \text{daz}/2 - \text{daz_b}/2; & F_{3,1} &= \frac{\partial q_3(t+\Delta t)}{\partial q_1} = \text{day}/2 - \text{day_b}/2; \\
F_{3,2} &= \frac{\partial q_3(t+\Delta t)}{\partial q_2} = \text{dax_b}/2 - \text{dax}/2; & F_{3,10} &= \frac{\partial q_3(t+\Delta t)}{\partial \text{dax_b}} = q_2/2; \\
F_{3,11} &= \frac{\partial q_3(t+\Delta t)}{\partial \text{day_b}} = -q_1/2; & F_{3,12} &= \frac{\partial q_3(t+\Delta t)}{\partial \text{daz_b}} = -\frac{q_0}{2}; \\
F_{4,0} &= \frac{\partial v_x(t+\Delta t)}{\partial q_0} = 2*q_2*(dvz - dvz_b) + 2*dvx*q_0 - 2*dvy*q_3; \\
F_{4,1} &= \frac{\partial v_x(t+\Delta t)}{\partial q_1} = 2*q_3*(dvz - dvz_b) + 2*dvx*q_1 + 2*dvy*q_2; \\
F_{4,2} &= \frac{\partial v_x(t+\Delta t)}{\partial q_2} = 2*q_0*(dvz - dvz_b) - 2*dvx*q_2 + 2*dvy*q_1; \\
F_{4,3} &= \frac{\partial v_x(t+\Delta t)}{\partial q_3} = - (- 2*q_1*(dvz - dvz_b) + 2*dvx*q_3 + 2*dvy*q_0); \\
F_{4,13} &= \frac{\partial v_x(t+\Delta t)}{\partial dvz_b} = -2*(q_0*q_2 + q_1*q_3); \\
F_{5,0} &= \frac{\partial v_y(t+\Delta t)}{\partial q_0} = -2*q_1*(dvz - dvz_b) + 2*dvx*q_3 + 2*dvy*q_0; \\
F_{5,1} &= \frac{\partial v_y(t+\Delta t)}{\partial q_1} = - (2*q_0*(dvz - dvz_b) - 2*dvx*q_2 + 2*dvy*q_1);
\end{aligned}$$

$$F_{5,2} = \frac{\partial v_y(t + \Delta t)}{\partial q_2} = 2*q_3*(dvz - dvz_b) + 2*dvx*q_1 + 2*dvy*q_2;$$

$$F_{5,3} = \frac{\partial v_y(t + \Delta t)}{\partial q_3} = 2*q_2*(dvz - dvz_b) + 2*dvx*q_0 - 2*dvy*q_3;$$

$$F_{5,13} = \frac{\partial v_y(t + \Delta t)}{\partial dvz_b} = 2*(q_0*q_1 - q_2*q_3);$$

$$F_{6,0} = \frac{\partial v_z(t + \Delta t)}{\partial q_0} = 2*q_0*(dvz - dvz_b) - 2*dvx*q_2 + 2*dvy*q_1;$$

$$F_{6,1} = \frac{\partial v_z(t + \Delta t)}{\partial q_1} = -2*q_1*(dvz - dvz_b) + 2*dvx*q_3 + 2*dvy*q_0;$$

$$F_{6,2} = \frac{\partial v_z(t + \Delta t)}{\partial q_2} = -(2*q_2*(dvz - dvz_b) + 2*dvx*q_0 - 2*dvy*q_3);$$

$$F_{6,3} = \frac{\partial v_z(t + \Delta t)}{\partial q_3} = 2*q_3*(dvz - dvz_b) + 2*dvx*q_1 + 2*dvy*q_2;$$

$$F_{6,13} = \frac{\partial v_z(t + \Delta t)}{\partial dvz_b} = -(sq(q_0) - sq(q_1) - sq(q_2) + sq(q_3));$$

$G = \frac{\partial x_t}{\partial u_t}$, 要求 G 矩阵, 我们需要向找到 x_t 中每一项对于 u_t 的更新方程

我们知道控制量是通过控制电机的转速来改变飞机的姿态和速度和方向的; 所以 G 矩阵中相关与控制量相关的就是四元数和速度了。

[illegible]

其中

$$a1 = SG[1] + SG[2] - SG[3] - SG[4] = sq(q3) + sq(q2) - sq(q1) - sq(q0);$$

$$a_2 = SG[7] - 2 \cdot q_0 \cdot q_3 = 2 \cdot q_1 \cdot q_2 - 2 \cdot q_0 \cdot q_3;$$

$$a_3 = SG[6] + 2 \cdot q_0 \cdot q_2 = 2 \cdot q_1 \cdot q_3 + 2 \cdot q_0 \cdot q_2;$$

$$b_1 = SG[7] + 2 \cdot q_0 \cdot q_3 = 2 \cdot q_1 \cdot q_2 + 2 \cdot q_0 \cdot q_3;$$

$$b2=SG[1] - SG[2] + SG[3] - SG[4]=sq(q3) - sq(q2) + sq(q1) -sq(q0);$$

$$b_3 = SG[5] - 2 \cdot q_0 \cdot q_1 = 2 \cdot q_2 \cdot q_3 - 2 \cdot q_0 \cdot q_1;$$

$$c1 = SG[6] - 2 \cdot q_0 \cdot q_2 = 2 \cdot q_1 \cdot q_3 - 2 \cdot q_0 \cdot q_2;$$

$$c_2 = SG[5] + 2 \cdot q_0 \cdot q_1 = 2 \cdot q_2 \cdot q_3 + 2 \cdot q_0 \cdot q_1;$$

$$c3 = SG[1] - SG[2] - SG[3] + SG[4] = sq(q3) - sq(q2) - sq(q1) + sq(q0);$$

从上面的 F 矩阵求解过程可知

$$\begin{pmatrix} q_0 \\ q_1 \\ q_2 \\ q_3 \end{pmatrix}_{t+\Delta t} = \{q_0, q_1, q_2, q_3\} * \left(-\frac{1}{2}\right) * \begin{pmatrix} -q_1 & -q_2 & -q_3 & 0 \\ q_0 & -q_3 & q_2 & 0 \\ q_3 & q_0 & -q_1 & 0 \\ -q_2 & q_1 & q_0 & 0 \end{pmatrix}^T;$$

$$\begin{pmatrix} v_x \\ v_y \\ v_z \end{pmatrix}_{t+\Delta t} = \begin{pmatrix} v_x \\ v_y \\ v_z \end{pmatrix}^T * (-(C_b^R)^T);$$

其中

$$\begin{pmatrix} a_1 & a_2 & a_3 \\ -b_1 & -b_2 & b_3 \\ -c_1 & c_2 & c_3 \end{pmatrix} = -C_b^R;$$

第三节 空速传感器 ekf 代码分析

1、EKF 的 22 维状态变量:

$$X = [\delta q_0, \delta q_1, \delta q_2, \delta q_3, \delta v_x, \delta v_y, \delta v_z, \delta p_x, \delta p_y, \delta p_z, \delta g_x, \delta g_y, \delta g_z, \delta a_1, \delta w_x, \delta w_y, \delta e m_x, \delta e m_y, \delta e m_z, \delta b m_x, \delta b m_y, \delta b m_z]$$

该状态方程的变量取自 state_elements 结构体的 0-21 项

```
struct state_elements {
    Quaternion quat;           // 0..3    四元素
    Vector3f velocity;         // 4..6    速度值
    Vector3f position;         // 7..9    位置值
    Vector3f gyro_bias;       // 10..12  陀螺仪的值
    float accel_zbias1;       // 13      加速度计值
    Vector2f wind_vel;         // 14..15  风的速度
    Vector3f earth_magfield;   // 16..18  地磁场值
    Vector3f body_magfield;    // 19..21  机体磁场值
    float accel_zbias2;       // 22
    Vector3f vel1;             // 23 .. 25
    float posD1;               // 26
    Vector3f vel2;             // 27 .. 29
    float posD2;               // 30
    Vector3f omega;            // 31 .. 33
} &state;
```

2、空速传感器 ekf 原理分析

空速传感器的雅克比矩阵

设机体在任意时刻的速度标量值为 $f(x,y,z)$

则： $f(x, y, z) = \sqrt{x^2 + y^2 + z^2} = |V|$

求出 x,y,z 的偏导数

X 偏导数：

$$\frac{\partial f}{\partial x} = \frac{x}{\sqrt{x^2 + y^2 + z^2}} = \frac{x}{|V|}$$

Y 的偏导数为

$$\frac{\partial f}{\partial y} = \frac{y}{|V|}$$

Z 的偏导数

$$\frac{\partial f}{\partial z} = \frac{z}{|V|}$$

由于空速传感器是检测的水平方向上的速度，所以空速传感器的值应于 x,y 轴的速度大小相等，方向相反。

由上面的分析可能可以求出状态方程当前的雅克比矩阵

$$J = [0, 0, 0, 0, \frac{v_n - v_{wn}}{|V|}, \frac{v_e - v_{we}}{|V|}, \frac{v_d}{|V|}, 0, 0, 0, 0, 0, 0, 0, -\frac{v_n - v_{wn}}{|V|}, -\frac{v_e - v_{we}}{|V|}, 0, 0, 0, 0, 0, 0]$$

Kalman filter 的五条黄金公式

(1)、通过上一状态最优值 (u_{t-1}) 和将要施加的控制量 (u_t) 来预测当前状态 \bar{u}_t 。

$$\bar{u}_t = A_t u_{t-1} + B_t u_t$$

(2)、用上一状态的协方差 (Σ_{t-1}) 和高斯噪声 (预测差值的方差) 来计算预测值的协方差

$$\bar{\Sigma}_t = A_t \Sigma_{t-1} A_t^T + R_t$$

(3)、计算 kalman 增益, (Q_t 为测量精度的方差: 高斯噪声, C_t 为测量值和状态值的比例系数)

$$K_t = \frac{\bar{\Sigma}_t C_t^T}{C_t \bar{\Sigma}_t C_t^T + Q_t}$$

(4)、用测量值计算状态估计值

$$u_t = \bar{u}_t + K_t (z_t - C_t \bar{u}_t)$$

(5)、计算当前状态的协方差用于下次迭代

$$\Sigma_t = (I - K_t C_t) \bar{\Sigma}_t$$

根据 kalman 公式来迭代计算 u_t 和 Σ_t

速度的估计值为 $\bar{z}_t = V_{tasPred}$

$$\bar{z}_t = \sqrt{(v_n - v_{gpsoffset.y} - v_{wn})^2 + (v_e - v_{gpsoffset.x} - v_{we})^2 + v_d^2} \quad (1.1)$$

设 $A_t = I$, 上一状态的协方差为 $\Sigma_{t-1} = P_{t-1}$, 测量误差 $R_t = 0$, 带入的 (2) 式,

$$\bar{\Sigma}_t = I P_{t-1} I^T = P_{t-1} \quad (1.2)$$

设 $C_t = J_t$, $Q_t = R_TAS$

$$K_t = \frac{\bar{\Sigma}_t J_t^T}{J_t \bar{\Sigma}_t J_t^T + Q_t} = \frac{P_{t-1} J_t^T}{J_t P_{t-1} J_t^T + Q_t} \quad (1.3)$$

设测量速度为 $z_t = V_{tasMeas}$, 革新值为 $innovV_{tas} = V_{tasPred} - V_{tasMeas}$;

EKF 状态矩阵的最优估计值=EKF 上一次的状态值+kalman 增益*革新值 (1.4)

`states[j] = states[j] - Kfusion[j] * innovVtas;`

计算当前状态的协方差, 由 (1.2) 和 (1.3) 式可得

$$\Sigma_t = (I - K_t C_t) \bar{\Sigma}_t = (I - K_t J_t) P_{t-1} \quad (1.5)$$

3、代码流程分析

```
void NavEKF::FuseAirspeed()
```

```
{
```

```
.....
```

```
//求测量精度的方差
```

```
const float R_TAS = sq(constrain_float(_easNoise, 0.5f, 5.0f) * constrain_float(EAS2TAS, 0.9f, 10.0f));
```

```
//计算预测的空气速度
```

```
VtasPred = pythagorous3((ve - gpsVelGlitchOffset.y - vwe), (vn - gpsVelGlitchOffset.x - vwn), vd);
```

```
//计算雅克比矩阵
```

```
SH_TAS[0] = 1.0f/VtasPred;
```

```
SH_TAS[2] = (SH_TAS[0]*(2*vn - 2*vwn))/2; //y 轴的速度
```

```
SH_TAS[1] = (SH_TAS[0]*(2*ve - 2*vwe))/2; //x 轴的速度
```

```
for (uint8_t i=0; i<=21; i++) H_TAS[i] = 0.0f;
```

```
//机体速度值
```

```
H_TAS[4] = SH_TAS[2];
```

```
H_TAS[5] = SH_TAS[1];
```

```

H_TAS[6] = vd*SH_TAS[0];
//风的速度
H_TAS[14] = -SH_TAS[2];
H_TAS[15] = -SH_TAS[1];

```

//求 $J_t P_{t-1} J_t^T + Q_t$ 的值

```

float temp = (R_TAS + SH_TAS[2]*(P[4][4]*SH_TAS[2] + P[5][4]*SH_TAS[1] -
P[14][4]*SH_TAS[2] - P[15][4]*SH_TAS[1] + P[6][4]*vd*SH_TAS[0])
+ SH_TAS[1]*(P[4][5]*SH_TAS[2] + P[5][5]*SH_TAS[1]
- P[14][5]*SH_TAS[2] - P[15][5]*SH_TAS[1] + P[6][5]*vd*SH_TAS[0])
- SH_TAS[2]*(P[4][14]*SH_TAS[2]
+ P[5][14]*SH_TAS[1] - P[14][14]*SH_TAS[2] - P[15][14]*SH_TAS[1]
+ P[6][14]*vd*SH_TAS[0])
- SH_TAS[1]*(P[4][15]*SH_TAS[2]
+ P[5][15]*SH_TAS[1] - P[14][15]*SH_TAS[2] - P[15][15]*SH_TAS[1]
+ P[6][15]*vd*SH_TAS[0])
+ vd*SH_TAS[0]*(P[4][6]*SH_TAS[2]
+ P[5][6]*SH_TAS[1] - P[14][6]*SH_TAS[2] - P[15][6]*SH_TAS[1] + P[6][6]*vd*SH_TAS[0]));

```

//根据公式 (1.3) 求 kalman 增益

```

Kfusion[0] = SK_TAS*(P[0][4]*SH_TAS[2] - P[0][14]*SH_TAS[2] + P[0][5]*SH_TAS[1] -
P[0][15]*SH_TAS[1] + P[0][6]*vd*SH_TAS[0]);
Kfusion[1] = SK_TAS*(P[1][4]*SH_TAS[2] - P[1][14]*SH_TAS[2] +
P[1][5]*SH_TAS[1] - P[1][15]*SH_TAS[1] + P[1][6]*vd*SH_TAS[0]);
Kfusion[2] = SK_TAS*(P[2][4]*SH_TAS[2] - P[2][14]*SH_TAS[2] +
P[2][5]*SH_TAS[1] - P[2][15]*SH_TAS[1] + P[2][6]*vd*SH_TAS[0]);
Kfusion[3] = SK_TAS*(P[3][4]*SH_TAS[2] - P[3][14]*SH_TAS[2] +
P[3][5]*SH_TAS[1] - P[3][15]*SH_TAS[1] + P[3][6]*vd*SH_TAS[0]);
Kfusion[4] = SK_TAS*(P[4][4]*SH_TAS[2] - P[4][14]*SH_TAS[2] +
P[4][5]*SH_TAS[1] - P[4][15]*SH_TAS[1] + P[4][6]*vd*SH_TAS[0]);
Kfusion[5] = SK_TAS*(P[5][4]*SH_TAS[2] - P[5][14]*SH_TAS[2] +
P[5][5]*SH_TAS[1] - P[5][15]*SH_TAS[1] + P[5][6]*vd*SH_TAS[0]);
Kfusion[6] = SK_TAS*(P[6][4]*SH_TAS[2] - P[6][14]*SH_TAS[2] +
P[6][5]*SH_TAS[1] - P[6][15]*SH_TAS[1] + P[6][6]*vd*SH_TAS[0]);
Kfusion[7] = SK_TAS*(P[7][4]*SH_TAS[2] - P[7][14]*SH_TAS[2] +
P[7][5]*SH_TAS[1] - P[7][15]*SH_TAS[1] + P[7][6]*vd*SH_TAS[0]);
Kfusion[8] = SK_TAS*(P[8][4]*SH_TAS[2] - P[8][14]*SH_TAS[2] +
P[8][5]*SH_TAS[1] - P[8][15]*SH_TAS[1] + P[8][6]*vd*SH_TAS[0]);
Kfusion[9] = SK_TAS*(P[9][4]*SH_TAS[2] - P[9][14]*SH_TAS[2] +
P[9][5]*SH_TAS[1] - P[9][15]*SH_TAS[1] + P[9][6]*vd*SH_TAS[0]);
Kfusion[10] = SK_TAS*(P[10][4]*SH_TAS[2] - P[10][14]*SH_TAS[2] +
P[10][5]*SH_TAS[1] - P[10][15]*SH_TAS[1] + P[10][6]*vd*SH_TAS[0]);
Kfusion[11] = SK_TAS*(P[11][4]*SH_TAS[2] - P[11][14]*SH_TAS[2] +

```



```

P[11][5]*SH_TAS[1] - P[11][15]*SH_TAS[1] + P[11][6]*vd*SH_TAS[0]);
    Kfusion[12] = SK_TAS*(P[12][4]*SH_TAS[2] - P[12][14]*SH_TAS[2] +
P[12][5]*SH_TAS[1] - P[12][15]*SH_TAS[1] + P[12][6]*vd*SH_TAS[0]);
    // this term has been zeroed to improve stability of the Z accel bias
    Kfusion[13] = 0.0f;//SK_TAS*(P[13][4]*SH_TAS[2] - P[13][14]*SH_TAS[2] +
P[13][5]*SH_TAS[1] - P[13][15]*SH_TAS[1] + P[13][6]*vd*SH_TAS[0]);
    Kfusion[14] = SK_TAS*(P[14][4]*SH_TAS[2] - P[14][14]*SH_TAS[2] +
P[14][5]*SH_TAS[1] - P[14][15]*SH_TAS[1] + P[14][6]*vd*SH_TAS[0]);
    Kfusion[15] = SK_TAS*(P[15][4]*SH_TAS[2] - P[15][14]*SH_TAS[2] +
P[15][5]*SH_TAS[1] - P[15][15]*SH_TAS[1] + P[15][6]*vd*SH_TAS[0]);
    // zero Kalman gains to inhibit magnetic field state estimation
    if (!inhibitMagStates) {
        Kfusion[16] = SK_TAS*(P[16][4]*SH_TAS[2] - P[16][14]*SH_TAS[2] +
P[16][5]*SH_TAS[1] - P[16][15]*SH_TAS[1] + P[16][6]*vd*SH_TAS[0]);
        Kfusion[17] = SK_TAS*(P[17][4]*SH_TAS[2] - P[17][14]*SH_TAS[2] +
P[17][5]*SH_TAS[1] - P[17][15]*SH_TAS[1] + P[17][6]*vd*SH_TAS[0]);
        Kfusion[18] = SK_TAS*(P[18][4]*SH_TAS[2] - P[18][14]*SH_TAS[2] +
P[18][5]*SH_TAS[1] - P[18][15]*SH_TAS[1] + P[18][6]*vd*SH_TAS[0]);
        Kfusion[19] = SK_TAS*(P[19][4]*SH_TAS[2] - P[19][14]*SH_TAS[2] +
P[19][5]*SH_TAS[1] - P[19][15]*SH_TAS[1] + P[19][6]*vd*SH_TAS[0]);
        Kfusion[20] = SK_TAS*(P[20][4]*SH_TAS[2] - P[20][14]*SH_TAS[2] +
P[20][5]*SH_TAS[1] - P[20][15]*SH_TAS[1] + P[20][6]*vd*SH_TAS[0]);
        Kfusion[21] = SK_TAS*(P[21][4]*SH_TAS[2] - P[21][14]*SH_TAS[2] +
P[21][5]*SH_TAS[1] - P[21][15]*SH_TAS[1] + P[21][6]*vd*SH_TAS[0]);
    } else {
        for (uint8_t i=16; i<=21; i++) {
            Kfusion[i] = 0.0f;
        }
    }
}
//用预测的空气速度减去真实的空气速度得到速度的革新值
innovVtas = VtasPred - VtasMeas;
//更新 ekf 状态矩阵
for (uint8_t j=0; j<=21; j++)
{
    states[j] = states[j] - Kfusion[j] * innovVtas;
}
//根据公式(1.5)计算当前协方差
for (uint8_t i = 0; i<=21; i++)
{
    for (uint8_t j = 0; j<=3; j++) KH[i][j] = 0.0f;
    for (uint8_t j = 4; j<=6; j++)
    {
        KH[i][j] = Kfusion[i] * H_TAS[j];
    }
}

```

```

for (uint8_t j = 7; j<=13; j++) KH[i][j] = 0.0f;
for (uint8_t j = 14; j<=15; j++)
{
    KH[i][j] = Kfusion[i] * H_TAS[j];
}
for (uint8_t j = 16; j<=21; j++) KH[i][j] = 0.0f;
}
for (uint8_t i = 0; i<=21; i++)
{
    for (uint8_t j = 0; j<=21; j++)
    {
        KHP[i][j] = 0;
        for (uint8_t k = 4; k<=6; k++)
        {
            KHP[i][j] = KHP[i][j] + KH[i][k] * P[k][j];
        }
        for (uint8_t k = 14; k<=15; k++)
        {
            KHP[i][j] = KHP[i][j] + KH[i][k] * P[k][j];
        }
    }
}
for (uint8_t i = 0; i<=21; i++)
{
    for (uint8_t j = 0; j<=21; j++)
    {
        P[i][j] = P[i][j] - KHP[i][j];
    }
}
}

```

第三节 磁力计 ekf 算法分析

1、以下是我在网上看到的一篇关于四元素和旋转矩阵相关的文章，代码中运用到了其中的公式，贴在这里

Quaternions and other representations of rotations

[\[edit\]](#) Qualitative description of the advantages of quaternions

The representation of a rotation as a quaternion (4 numbers) is more compact than the representation as an [orthogonal matrix](#) (9 numbers). Furthermore, for a given axis and angle, one can easily construct the corresponding quaternion, and conversely, for a given quaternion one can

easily read off the axis and the angle. Both of these are much harder with matrices or [Euler angles](#).

In [computer games](#) and other applications, one is often interested in “smooth rotations”, meaning that the scene should slowly rotate and not in a single step. This can be accomplished by choosing a [curve](#) such as the [spherical linear interpolation](#) in the quaternions, with one endpoint being the identity transformation 1 (or some other initial rotation) and the other being the intended final rotation. This is more problematic with other representations of rotations.

When composing several rotations on a computer, rounding errors necessarily accumulate. A quaternion that’s slightly off still represents a rotation after being normalised— a matrix that’s slightly off may not be [orthogonal](#) anymore and is harder to convert back to a proper orthogonal matrix.

Quaternions also avoid a phenomenon called [gimbal lock](#) which can result when, for example in [pitch/yaw/roll rotational systems](#), the pitch is rotated 90° up or down, so that yaw and roll then correspond to the same motion, and a degree of freedom of rotation is lost. In a [gimbal](#)-based aerospace inertial navigation system, for instance, this could have disastrous results if the aircraft is in a steep dive or ascent.

[\[edit\]](#) Conversion to and from the matrix representation

[\[edit\]](#) From a quaternion to an orthogonal matrix

The [orthogonal matrix](#) corresponding to a rotation by the unit quaternion $z = a + bi + cj + dk$ (with $|z| = 1$) is given by

$$\begin{pmatrix} a^2 + b^2 - c^2 - d^2 & 2bc - 2ad & 2bd + 2ac \\ 2bc + 2ad & a^2 - b^2 + c^2 - d^2 & 2cd - 2ab \\ 2bd - 2ac & 2cd + 2ab & a^2 - b^2 - c^2 + d^2 \end{pmatrix}.$$

[\[edit\]](#) From an orthogonal matrix to a quaternion

Finding the quaternion ($q_0 + q_xi + q_yj + q_zk$) that corresponds to a rotation matrix Q_{ij} can be numerically unstable if the [trace](#) (sum of the diagonal elements) of the rotation matrix is zero or very small. A robust method is to choose the diagonal element with the largest absolute value (Q_{uu}). The value of

$$r = \sqrt{1 + Q_{uu} - Q_{vv} - Q_{ww}}$$

will certainly be a real number[[dubious](#) - [discuss](#)], where uvw is an even permutation of xyz (i.e. xyz, yzx or zxy). If r is zero the matrix is the identity matrix, and the quaternion must be the identity quaternion (1, 0, 0, 0). Otherwise the quaternion can be calculated as follows:[[citation needed](#)]

$$q_0 = \frac{Q_{wv} - Q_{vw}}{2r}$$

$$q_u = r/2$$

$$q_v = \frac{Q_{uv} + Q_{vu}}{2r}$$

$$q_w = \frac{Q_{wu} + Q_{uw}}{2r}$$

Beware the vector convention: There are two conventions for rotation matrices: one assumes row vectors on the left; the other assumes column vectors on the right; the two conventions generate matrices that are the transpose of each other. The above matrix assumes column vectors on the right. In general, a matrix for vertex transform is ambiguous unless the vector convention is also mentioned. Historically, the column-on-the-right convention comes from mathematics and classical mechanics, whereas row-vector-on-the-left comes from computer graphics, where typesetting row vectors was easier back in the early days.

(Compare the equivalent [general formula for a \$3 \times 3\$ rotation matrix in terms of the axis and the angle](#).)

[[edit](#)] Fitting quaternions

The above section described how to recover a quaternion q from a 3×3 [rotation matrix](#) Q. Suppose, however, that we have some matrix Q that is not a pure rotation — due to round-off errors, for example — and we wish to find the quaternion q that most accurately represents Q. In that case we construct a symmetric 4×4 matrix

$$K = \frac{1}{3} \begin{bmatrix} Q_{xx} - Q_{yy} - Q_{zz} & Q_{yx} + Q_{xy} & Q_{zx} + Q_{xz} & Q_{yz} - Q_{zy} \\ Q_{yx} + Q_{xy} & Q_{yy} - Q_{xx} - Q_{zz} & Q_{zy} + Q_{yz} & Q_{zx} - Q_{xz} \\ Q_{zx} + Q_{xz} & Q_{zy} + Q_{yz} & Q_{zz} - Q_{xx} - Q_{yy} & Q_{xy} - Q_{yx} \\ Q_{yz} - Q_{zy} & Q_{zx} - Q_{xz} & Q_{xy} - Q_{yx} & Q_{xx} + Q_{yy} + Q_{zz} \end{bmatrix},$$

and find the [eigenvector](#) (x, y, z, w) corresponding to the largest eigenvalue (that value will be 1 if and only if Q is a pure rotation). The quaternion so obtained will correspond to the rotation closest to the original matrix Q[[dubious](#) - [discuss](#)][3]

2、EKF 的 22 维状态变量:

$$X = [\delta q_0, \delta q_1, \delta q_2, \delta q_3, \delta v_x, \delta v_y, \delta v_z, \delta p_x, \delta p_y, \delta p_z, \delta g_x, \delta g_y, \delta g_z, \delta a_1, \delta w_x, \delta w_y, \delta e m_x, \delta e m_y, \delta e m_z, \delta b m_x, \delta b m_y, \delta b m_z]$$

该状态方程的变量取自 state_elements 结构体的 0-21 项

```
struct state_elements {
    Quaternion quat;           // 0..3      四元素
    Vector3f velocity;         // 4..6      速度值
    Vector3f position;         // 7..9      位置值
    Vector3f gyro_bias;        // 10..12    陀螺仪的值
    float accel_zbias1;        // 13        加速度计值
    Vector2f wind_vel;         // 14..15    风的速度
    Vector3f earth_magfield;    // 16..18    地磁场值
    Vector3f body_magfield;     // 19..21    机体磁场值
    float accel_zbias2;        // 22
    Vector3f vel1;             // 23 .. 25
    float posD1;               // 26
    Vector3f vel2;             // 27 .. 29
    float posD2;               // 30
    Vector3f omega;            // 31 .. 33
} &state;
```

22 状态中与指南针相关的状态为四元素和地磁场的值，机体磁场值

3、磁力计 ekf 原理分析

从以上文章可知，一个三维向量转到另一个三维向量用四元素表示的旋转矩阵为 R_{dcm}

$$R_{dcm} = \begin{bmatrix} q_0^2 + q_1^2 - q_2^2 - q_3^2 & 2q_1q_2 - 2q_0q_3 & 2q_1q_3 + 2q_0q_2 \\ 2q_1q_2 + 2q_0q_3 & q_0^2 - q_1^2 + q_2^2 - q_3^2 & 2q_2q_3 - 2q_0q_1 \\ 2q_1q_3 - 2q_0q_2 & 2q_2q_3 + 2q_0q_1 & q_0^2 - q_1^2 - q_2^2 + q_3^2 \end{bmatrix} \quad (2.1)$$

设估计磁感值为 $M_p = \text{Mag_Pred}$ ，地磁场的磁感值为 M ，机体磁场相对于地磁场的相对

磁感值为 $M_{B \rightarrow e}$

$$M_p = [m_x \quad m_y \quad m_z]$$

$$M = [\text{mag}N \quad \text{mag}E \quad \text{mag}D]$$

$$M_{b \rightarrow e} = [\text{mag}Xbias \quad \text{mag}Ybias \quad \text{mag}Zbias]^T$$

$$M_p = M^* R_{dcm} + M_{b \rightarrow e} \quad (2.2)$$

这里计算的 M_p 相当于 kalman 中的 \bar{z}_t ，代码是分 X、Y、Z 分别融合进状态表

X 轴的融合

从 (2.1) (2.2) 式可以得到

$$m_x = (q_0^2 + q_1^2 - q_2^2 - q_3^2) \text{mag}N + 2(q_1q_2 + q_0q_3) \text{mag}E + 2(q_1q_3 - q_0q_2) \text{mag}D + \text{mag}Xbias$$

$$\frac{\partial m_x}{\partial q_0} = 2q_0 \text{mag}N + 2q_3 \text{mag}E - 2q_2 \text{mag}D$$

$$\frac{\partial m_x}{\partial q_1} = 2q_1 \text{mag}N + 2q_2 \text{mag}E + 2q_3 \text{mag}D$$

$$\frac{\partial m_x}{\partial q_2} = -2q_2 \text{mag}N + 2q_1 \text{mag}E - 2q_0 \text{mag}D$$

$$\frac{\partial m_x}{\partial q_3} = -2q_3 \text{mag}N + 2q_0 \text{mag}E + 2q_1 \text{mag}D$$

$$\frac{\partial m_x}{\partial \text{mag}N} = q_0^2 + q_1^2 - q_2^2 - q_3^2$$

$$\frac{\partial m_x}{\partial \text{mag}E} = 2(q_1q_2 + q_0q_3)$$

$$\frac{\partial m_x}{\partial \text{mag}D} = 2(q_1q_3 - q_0q_2)$$

由于现在做的是机体 X 轴上的融合，所以

$$\frac{\partial X}{\partial b m_x} = 1$$

$$\frac{\partial X}{\partial b m_y} = 0$$

$$\frac{\partial X}{\partial b m_z} = 0$$

X 轴上的 jacobian 矩阵为

$$J_x = [\frac{\partial m_x}{\partial q_0}, \frac{\partial m_x}{\partial q_1}, \frac{\partial m_x}{\partial q_2}, \frac{\partial m_x}{\partial q_3}, 0, 0, 0, 0, 0, 0, 0, 0, 0, 0, 0, 0, \frac{\partial m_x}{\partial \text{magN}}, \frac{\partial m_x}{\partial \text{magE}}, \frac{\partial m_x}{\partial \text{magD}}, \frac{\partial X}{\partial \text{bm}_x}, 0, 0]$$

(2.3)

设 kalman 中的 $A_t = I$, $R_t = 0$, $Q_t = R_MAG$, $C_t = J_x$

$$K_t = \frac{\bar{\Sigma}_t C_t^T}{C_t \bar{\Sigma}_t C_t^T + Q_t} = \frac{P_{t-1} J_x^T}{J_x P_{t-1} J_x^T + Q_t} \quad (2.4)$$

计算革新值

$$\text{革新值} = \bar{z}_t - z_t \quad (2.5)$$

更新状态方程

EKF 状态矩阵的最优估计值=EKF 上一次的状态值+kalman 增益*革新值; (2.6)

计算当前状态协方差

$$\bar{\Sigma}_t = (I - K_t C_t) \bar{\Sigma}_{t-1} = (I - K_t J_x) P_{t-1} \quad (2.7)$$

Y 轴和 Z 轴的融合与 X 轴的原理一致

4、代码分析

```
void NavEKF::FuseMagnetometer()
```

```
{
```

```
    if (obsIndex == 0) //融合 X 轴
```

```
    {
```

```
        //用四元素求出旋转矩阵, 见 (2.1)
```

```
        DCM[0][0] = q0*q0 + q1*q1 - q2*q2 - q3*q3;
```

```
        DCM[0][1] = 2*(q1*q2 + q0*q3);
```

```
        DCM[0][2] = 2*(q1*q3 - q0*q2);
```

```
        DCM[1][0] = 2*(q1*q2 - q0*q3);
```

```
        DCM[1][1] = q0*q0 - q1*q1 + q2*q2 - q3*q3;
```

```
        DCM[1][2] = 2*(q2*q3 + q0*q1);
```

```
        DCM[2][0] = 2*(q1*q3 + q0*q2);
```

```
        DCM[2][1] = 2*(q2*q3 - q0*q1);
```

```
        DCM[2][2] = q0*q0 - q1*q1 - q2*q2 + q3*q3;
```

```
        //求出预测指南针的值, 见 (2.2)
```

```
        MagPred[0] = DCM[0][0]*magN + DCM[0][1]*magE + DCM[0][2]*magD + magXbias;
```

```
        MagPred[1] = DCM[1][0]*magN + DCM[1][1]*magE + DCM[1][2]*magD + magYbias;
```

```
        MagPred[2] = DCM[2][0]*magN + DCM[2][1]*magE + DCM[2][2]*magD + magZbias;
```

```
        //把第一次计算的记录起来, 供 Y、Z 轴使用
```

```
        SH_MAG[0] = 2*magD*q3 + 2*magE*q2 + 2*magN*q1;
```

```
        SH_MAG[1] = 2*magD*q0 - 2*magE*q1 + 2*magN*q2;
```

```
        SH_MAG[2] = 2*magD*q1 + 2*magE*q0 - 2*magN*q3;
```

```

SH_MAG[3] = sq(q3);
SH_MAG[4] = sq(q2);
SH_MAG[5] = sq(q1);
SH_MAG[6] = sq(q0);
SH_MAG[7] = 2*magN*q0;
SH_MAG[8] = 2*magE*q3;
for (uint8_t i=0; i<=21; i++) H_MAG[i] = 0;
//求出四元素的偏导值
H_MAG[0] = SH_MAG[7] + SH_MAG[8] - 2*magD*q2;
H_MAG[1] = SH_MAG[0];
H_MAG[2] = 2*magE*q1 - 2*magD*q0 - 2*magN*q2;
H_MAG[3] = SH_MAG[2];
//求出地球坐标的偏导值
H_MAG[16] = SH_MAG[5] - SH_MAG[4] - SH_MAG[3] + SH_MAG[6];
H_MAG[17] = 2*q0*q3 + 2*q1*q2;
H_MAG[18] = 2*q1*q3 - 2*q0*q2;
//求出机体坐标的偏导值，由于 Y 和 Z 与 X 轴垂直，所以偏导都为 0
H_MAG[19] = 1;
H_MAG[20] = 0;
H_MAG[21] = 0;
//计算 kalman 增益的分母见 (2.4)，这里我对之前的代码进行了整理，这样可以更
好的看出规律
float temp = R_MAG-
-(2*magD*q0 - 2*magE*q1 + 2*magN*q2)*(P[19][2]*1 + P[1][2]*SH_MAG[0] +
P[3][2]*SH_MAG[2] - P[16][2]*(SH_MAG[3] + SH_MAG[4] - SH_MAG[5] -
SH_MAG[6]) + P[17][2]*(2*q0*q3 + 2*q1*q2) - P[18][2]*(2*q0*q2 - 2*q1*q3) -
P[2][2]*(2*magD*q0 - 2*magE*q1 + 2*magN*q2) + P[0][2]*(SH_MAG[7] + SH_MAG[8]
- 2*magD*q2))
+(SH_MAG[7] + SH_MAG[8] - 2*magD*q2)*(P[19][0]*1 + P[1][0]*SH_MAG[0] +
P[3][0]*SH_MAG[2] - P[16][0]*(SH_MAG[3] + SH_MAG[4] - SH_MAG[5] -
SH_MAG[6]) + P[17][0]*(2*q0*q3 + 2*q1*q2) - P[18][0]*(2*q0*q2 - 2*q1*q3) -
P[2][0]*(2*magD*q0 - 2*magE*q1 + 2*magN*q2) + P[0][0]*(SH_MAG[7] + SH_MAG[8]
- 2*magD*q2))
+SH_MAG[0]*(P[19][1]*1 +
P[1][1]*SH_MAG[0] + P[3][1]*SH_MAG[2] - P[16][1]*(SH_MAG[3] + SH_MAG[4] -
SH_MAG[5] - SH_MAG[6]) + P[17][1]*(2*q0*q3 + 2*q1*q2) - P[18][1]*(2*q0*q2 -
2*q1*q3) - P[2][1]*(2*magD*q0 - 2*magE*q1 + 2*magN*q2) + P[0][1]*(SH_MAG[7] +
SH_MAG[8] - 2*magD*q2))
+SH_MAG[2]*(P[19][3]*1 +
P[1][3]*SH_MAG[0] + P[3][3]*SH_MAG[2] - P[16][3]*(SH_MAG[3] + SH_MAG[4] -
SH_MAG[5] - SH_MAG[6]) + P[17][3]*(2*q0*q3 + 2*q1*q2) - P[18][3]*(2*q0*q2 -
2*q1*q3) - P[2][3]*(2*magD*q0 - 2*magE*q1 + 2*magN*q2) + P[0][3]*(SH_MAG[7] +
SH_MAG[8] - 2*magD*q2))
-(SH_MAG[3] + SH_MAG[4] - SH_MAG[5] - SH_MAG[6])*(P[19][16]*1 +

```



```

P[1][16]*SH_MAG[0] + P[3][16]*SH_MAG[2] - P[16][16]*(SH_MAG[3] + SH_MAG[4] -
SH_MAG[5] - SH_MAG[6]) + P[17][16]*(2*q0*q3 + 2*q1*q2) - P[18][16]*(2*q0*q2 -
2*q1*q3) - P[2][16]*(2*magD*q0 - 2*magE*q1 + 2*magN*q2) + P[0][16]*(SH_MAG[7] +
SH_MAG[8] - 2*magD*q2))
+(2*q0*q3 + 2*q1*q2)*(P[19][17]*1 +
P[1][17]*SH_MAG[0] + P[3][17]*SH_MAG[2] - P[16][17]*(SH_MAG[3] + SH_MAG[4] -
SH_MAG[5] - SH_MAG[6]) + P[17][17]*(2*q0*q3 + 2*q1*q2) - P[18][17]*(2*q0*q2 -
2*q1*q3) - P[2][17]*(2*magD*q0 - 2*magE*q1 + 2*magN*q2) + P[0][17]*(SH_MAG[7] +
SH_MAG[8] - 2*magD*q2))
-(2*q0*q2 - 2*q1*q3)*(P[19][18] +
P[1][18]*SH_MAG[0] + P[3][18]*SH_MAG[2] - P[16][18]*(SH_MAG[3] + SH_MAG[4] -
SH_MAG[5] - SH_MAG[6]) + P[17][18]*(2*q0*q3 + 2*q1*q2) - P[18][18]*(2*q0*q2 -
2*q1*q3) - P[2][18]*(2*magD*q0 - 2*magE*q1 + 2*magN*q2) + P[0][18]*(SH_MAG[7] +
SH_MAG[8] - 2*magD*q2))
1*(P[19][19]*1 +
P[1][19]*SH_MAG[0] + P[3][19]*SH_MAG[2] - P[16][19]*(SH_MAG[3] + SH_MAG[4] -
SH_MAG[5] - SH_MAG[6]) + P[17][19]*(2*q0*q3 + 2*q1*q2) - P[18][19]*(2*q0*q2 -
2*q1*q3) - P[2][19]*(2*magD*q0 - 2*magE*q1 + 2*magN*q2) + P[0][19]*(SH_MAG[7] +
SH_MAG[8] - 2*magD*q2))
//计算 kalman 增益
Kfusion[0] = SK_MX[0]*(P[0][19] + P[0][1]*SH_MAG[0] + P[0][3]*SH_MAG[2] +
P[0][0]*SK_MX[3] - P[0][2]*SK_MX[2] - P[0][16]*SK_MX[1] + P[0][17]*SK_MX[5] -
P[0][18]*SK_MX[4]);
Kfusion[1] = SK_MX[0]*(P[1][19] + P[1][1]*SH_MAG[0] + P[1][3]*SH_MAG[2] +
P[1][0]*SK_MX[3] - P[1][2]*SK_MX[2] - P[1][16]*SK_MX[1] + P[1][17]*SK_MX[5] -
P[1][18]*SK_MX[4]);
Kfusion[2] = SK_MX[0]*(P[2][19] + P[2][1]*SH_MAG[0] + P[2][3]*SH_MAG[2] +
P[2][0]*SK_MX[3] - P[2][2]*SK_MX[2] - P[2][16]*SK_MX[1] + P[2][17]*SK_MX[5] -
P[2][18]*SK_MX[4]);
Kfusion[3] = SK_MX[0]*(P[3][19] + P[3][1]*SH_MAG[0] + P[3][3]*SH_MAG[2] +
P[3][0]*SK_MX[3] - P[3][2]*SK_MX[2] - P[3][16]*SK_MX[1] + P[3][17]*SK_MX[5] -
P[3][18]*SK_MX[4]);
Kfusion[4] = SK_MX[0]*(P[4][19] + P[4][1]*SH_MAG[0] + P[4][3]*SH_MAG[2] +
P[4][0]*SK_MX[3] - P[4][2]*SK_MX[2] - P[4][16]*SK_MX[1] + P[4][17]*SK_MX[5] -
P[4][18]*SK_MX[4]);
Kfusion[5] = SK_MX[0]*(P[5][19] + P[5][1]*SH_MAG[0] + P[5][3]*SH_MAG[2] +
P[5][0]*SK_MX[3] - P[5][2]*SK_MX[2] - P[5][16]*SK_MX[1] + P[5][17]*SK_MX[5] -
P[5][18]*SK_MX[4]);
Kfusion[6] = SK_MX[0]*(P[6][19] + P[6][1]*SH_MAG[0] + P[6][3]*SH_MAG[2] +
P[6][0]*SK_MX[3] - P[6][2]*SK_MX[2] - P[6][16]*SK_MX[1] + P[6][17]*SK_MX[5] -
P[6][18]*SK_MX[4]);
Kfusion[7] = SK_MX[0]*(P[7][19] + P[7][1]*SH_MAG[0] + P[7][3]*SH_MAG[2] +
P[7][0]*SK_MX[3] - P[7][2]*SK_MX[2] - P[7][16]*SK_MX[1] + P[7][17]*SK_MX[5] -
P[7][18]*SK_MX[4]);

```

```

Kfusion[8] = SK_MX[0]*(P[8][19] + P[8][1]*SH_MAG[0] + P[8][3]*SH_MAG[2] +
P[8][0]*SK_MX[3] - P[8][2]*SK_MX[2] - P[8][16]*SK_MX[1] + P[8][17]*SK_MX[5] -
P[8][18]*SK_MX[4]);
Kfusion[9] = SK_MX[0]*(P[9][19] + P[9][1]*SH_MAG[0] + P[9][3]*SH_MAG[2] +
P[9][0]*SK_MX[3] - P[9][2]*SK_MX[2] - P[9][16]*SK_MX[1] + P[9][17]*SK_MX[5] -
P[9][18]*SK_MX[4]);
Kfusion[10] = SK_MX[0]*(P[10][19] + P[10][1]*SH_MAG[0] + P[10][3]*SH_MAG[2] +
P[10][0]*SK_MX[3] - P[10][2]*SK_MX[2] - P[10][16]*SK_MX[1] + P[10][17]*SK_MX[5] -
P[10][18]*SK_MX[4]);
Kfusion[11] = SK_MX[0]*(P[11][19] + P[11][1]*SH_MAG[0] + P[11][3]*SH_MAG[2] +
P[11][0]*SK_MX[3] - P[11][2]*SK_MX[2] - P[11][16]*SK_MX[1] + P[11][17]*SK_MX[5] -
P[11][18]*SK_MX[4]);
Kfusion[12] = SK_MX[0]*(P[12][19] + P[12][1]*SH_MAG[0] + P[12][3]*SH_MAG[2] +
P[12][0]*SK_MX[3] - P[12][2]*SK_MX[2] - P[12][16]*SK_MX[1] + P[12][17]*SK_MX[5] -
P[12][18]*SK_MX[4]);
// this term has been zeroed to improve stability of the Z accel bias
Kfusion[13] = 0.0f; // SK_MX[0]*(P[13][19] + P[13][1]*SH_MAG[0] +
P[13][3]*SH_MAG[2] + P[13][0]*SK_MX[3] - P[13][2]*SK_MX[2] - P[13][16]*SK_MX[1] +
P[13][17]*SK_MX[5] - P[13][18]*SK_MX[4]);
// zero Kalman gains to inhibit wind state estimation
if (!inhibitWindStates) {
    Kfusion[14] = SK_MX[0]*(P[14][19] + P[14][1]*SH_MAG[0] +
P[14][3]*SH_MAG[2] + P[14][0]*SK_MX[3] - P[14][2]*SK_MX[2] - P[14][16]*SK_MX[1] +
P[14][17]*SK_MX[5] - P[14][18]*SK_MX[4]);
    Kfusion[15] = SK_MX[0]*(P[15][19] + P[15][1]*SH_MAG[0] +
P[15][3]*SH_MAG[2] + P[15][0]*SK_MX[3] - P[15][2]*SK_MX[2] - P[15][16]*SK_MX[1] +
P[15][17]*SK_MX[5] - P[15][18]*SK_MX[4]);
} else {
    Kfusion[14] = 0.0f;
    Kfusion[15] = 0.0f;
}
// zero Kalman gains to inhibit magnetic field state estimation
if (!inhibitMagStates) {
    Kfusion[16] = SK_MX[0]*(P[16][19] + P[16][1]*SH_MAG[0] +
P[16][3]*SH_MAG[2] + P[16][0]*SK_MX[3] - P[16][2]*SK_MX[2] - P[16][16]*SK_MX[1] +
P[16][17]*SK_MX[5] - P[16][18]*SK_MX[4]);
    Kfusion[17] = SK_MX[0]*(P[17][19] + P[17][1]*SH_MAG[0] +
P[17][3]*SH_MAG[2] + P[17][0]*SK_MX[3] - P[17][2]*SK_MX[2] - P[17][16]*SK_MX[1] +
P[17][17]*SK_MX[5] - P[17][18]*SK_MX[4]);
    Kfusion[18] = SK_MX[0]*(P[18][19] + P[18][1]*SH_MAG[0] +
P[18][3]*SH_MAG[2] + P[18][0]*SK_MX[3] - P[18][2]*SK_MX[2] - P[18][16]*SK_MX[1] +
P[18][17]*SK_MX[5] - P[18][18]*SK_MX[4]);
    Kfusion[19] = SK_MX[0]*(P[19][19] + P[19][1]*SH_MAG[0] +
P[19][3]*SH_MAG[2] + P[19][0]*SK_MX[3] - P[19][2]*SK_MX[2] - P[19][16]*SK_MX[1] +

```

```

P[19][17]*SK_MX[5] - P[19][18]*SK_MX[4]);
    Kfusion[20] = SK_MX[0]*(P[20][19] + P[20][1]*SH_MAG[0] +
P[20][3]*SH_MAG[2] + P[20][0]*SK_MX[3] - P[20][2]*SK_MX[2] - P[20][16]*SK_MX[1] +
P[20][17]*SK_MX[5] - P[20][18]*SK_MX[4]);
    Kfusion[21] = SK_MX[0]*(P[21][19] + P[21][1]*SH_MAG[0] +
P[21][3]*SH_MAG[2] + P[21][0]*SK_MX[3] - P[21][2]*SK_MX[2] - P[21][16]*SK_MX[1] +
P[21][17]*SK_MX[5] - P[21][18]*SK_MX[4]);
    } else {
        for (uint8_t i=16; i<=21; i++) {
            Kfusion[i] = 0.0f;
        }
    }

}
else if (obsIndex == 1)
{
    //Y 轴的融合
}
else if (obsIndex == 2)
{
    //Z 轴的融合
}

//计算革新值
innovMag[obsIndex] = MagPred[obsIndex] - magData[obsIndex];

//更新状态方程
states[j] = states[j] - Kfusion[j] * innovMag[obsIndex];
//计算当前协方差
for (uint8_t i = 0; i<=21; i++) {
    for (uint8_t j = 0; j<=3; j++) {
        KH[i][j] = Kfusion[i] * H_MAG[j];
    }
    for (uint8_t j = 4; j<=15; j++) {
        KH[i][j] = 0.0f;
    }
    if (!inhibitMagStates) {
        for (uint8_t j = 16; j<=21; j++) {
            KH[i][j] = Kfusion[i] * H_MAG[j];
        }
    } else {
        for (uint8_t j = 16; j<=21; j++) {
            KH[i][j] = 0.0f;
        }
    }
}

```

```

    }
}
for (uint8_t i = 0; i <= 21; i++) {
    for (uint8_t j = 0; j <= 21; j++) {
        KHP[i][j] = 0;
        for (uint8_t k = 0; k <= 3; k++) {
            KHP[i][j] = KHP[i][j] + KH[i][k] * P[k][j];
        }
        if (!inhibitMagStates) {
            for (uint8_t k = 16; k <= 21; k++) {
                KHP[i][j] = KHP[i][j] + KH[i][k] * P[k][j];
            }
        }
    }
}
for (uint8_t i = 0; i <= 21; i++) {
    for (uint8_t j = 0; j <= 21; j++) {
        P[i][j] = P[i][j] - KHP[i][j];
    }
}
}
}

```

第四节 速度和位置的 kalman filter 算法

1、速度和位置的融合为什么用 Kalman Filter，二不用 ekf

前两节分析的空速传感器和磁力计，用的是 Extended Kalman Filter，而本节分析的速度位置的融合所用的是 Kalman Filter。怎么这么说呢？求 Extended Kalman Filter 的思路是用泰勒级数展开，取一阶偏导（高阶偏导舍去），按照 Kalman Filter 的思路求解。前两节都求了雅克比偏导数，就是泰勒级数展开的一阶偏导。

速度和位置的融合的传感器是 gps、气压计和光流传感器，它们测试的值直接是各个方向的速度和位置，正好满足 Kalman Filter 的三个前提条件：

当前状态的概率分布必须是上一状态和将要执行的控制量的**线性函数**，再叠加一个高斯噪声；

对状态的测量必须是状态的**线性函数**叠加高斯噪声；

初始状态分布为高斯分布；

2、Kalman Filter 的 34 维状态变量：

```

struct state_elements {
    Quaternion    quat;           // 0..3      四元素
    Vector3f      velocity;       // 4..6      速度值

```

```

Vector3f    position;      // 7..9      位置值
Vector3f    gyro_bias;    // 10..12  陀螺仪的值
float       accel_zbias1;  // 13      加速度计 1 Z 轴的值
Vector2f    wind_vel;     // 14..15  风的速度
Vector3f    earth_magfield; // 16..18  地磁场值
Vector3f    body_magfield; // 19..21  机体磁场值
float       accel_zbias2;  // 22      加速度计 2 Z 轴的值
Vector3f    vel1;         // 23 .. 25 IMU1 加速度计积分的速度
float       posD1;        // 26      IMU1 加速度计积分的高度
Vector3f    vel2;         // 27 .. 29 IMU2 加速度计积分的速度
float       posD2;        // 30      IMU2 计速度计积分的高度
Vector3f    omega;        // 31 .. 33
} &state;

```

State 34 个状态中跟速度和位置相关的有 velocity、position、accel_zbias1、accel_zbias2、vel1、posD1、vel2、posD2。

3、Kalman filter 的五条黄金公式

(6)、通过上一状态最优值 (\bar{u}_{t-1}) 和将要施加的控制量 (u_t) 来预测当前状态 \bar{u}_t 。

$$\bar{u}_t = A_t \bar{u}_{t-1} + B_t u_t$$

(7)、用上一状态的协方差 ($\bar{\Sigma}_{t-1}$) 和高斯噪声 (预测差值的方差) 来计算预测值的协方差

$$\bar{\Sigma}_t = A_t \bar{\Sigma}_{t-1} A_t^T + R_t$$

(8)、计算 kalman 增益, (Q_t 为测量精度的方差: 高斯噪声, C_t 为测量值和状态值的比例系数)

$$K_t = \frac{\bar{\Sigma}_t C_t^T}{C_t \bar{\Sigma}_t C_t^T + Q_t}$$

(9)、用测量值计算状态估计值

$$u_t = \bar{u}_t + K_t (z_t - C_t \bar{u}_t)$$

(10)、计算当前状态的协方差用于下次迭代

$$\bar{\Sigma}_t = (I - K_t C_t) \bar{\Sigma}_t$$

在这里我对 kalman filter 的黄金五公式进行简化

设 $A_t = I$, $B_t = 0$, $C_t = I$, $R_t = 0$, $\bar{\Sigma}_{t-1} = P_{t-1}$

简化的 kalman filter 如下

$$(1)、\bar{u}_t = u_{t-1} \quad (3.1)$$

$$(2) 、 \bar{\Sigma}_t = \Sigma_{t-1} = P_{t-1} \quad (3.2)$$

$$(3) 、 K_t = \frac{P_{t-1}}{P_{t-1} + Q_t} \quad (3.3)$$

$$(4) 、 u_t = \bar{u}_t + K_t(z_t - C_t \bar{u}_t) = u_{t-1} - K_t(u_{t-1} - z_t) \quad (3.4)$$

$$(5) 、 \Sigma_t = (I - K_t)P_{t-1} \quad (3.5)$$

4、代码分析

(分析代码的前提是在 gps 和光流传感器至少一个有用的情况下，以下式中的 \bar{u}_t 就等于 \bar{z}_t)

代码中分速度的融合和 XY 轴位置的融合以及高度的融合，所以有 3 个 \bar{u}_t ，分别是 statesAtVelTime、statesAtPosTime、statesAtHgtTime

在 gps 和光流传感器至少一个有效的情况下，3 个 \bar{u}_t 的获取

```
void NavEKF::SelectVelPosFusion()
{
    .....
    readGpsData();//读 gps 的值
    ....
    readHgtData();//读气压计的值
    .....
    FuseVelPosNED();//进行速度、位置、高度的融合
    .....
    //用 kalman filter 计算的修正值对四元素、速度和位置进行修正
    if(gpsUpdateCount < gpsUpdateCountMax) {
        gpsUpdateCount ++;
        for (uint8_t i = 0; i <= 9; i++) {
            states[i] += gpsIncrStateDelta[i];
        }
    }
    if(hgtUpdateCount < hgtUpdateCountMax) {
        hgtUpdateCount ++;
        for (uint8_t i = 0; i <= 9; i++) {
            states[i] += hgtIncrStateDelta[i];
        }
    }
}

void NavEKF::readGpsData();//读 gps 的值
{
```

```

.....
//获取估计速度（其实就是最近一次的速度）
RecallStates(statesAtVelTime, (imuSampleTime_ms -
                                constrain_int16(_msecVelDelay, 0, 500)));
//获取估计位置（其实就是最近一次的位置）
RecallStates(statesAtPosTime, (imuSampleTime_ms -
                                constrain_int16(_msecPosDelay, 0, 500)));

.....
//获得 gps 速度测量值
velNED = _ahrs->get_gps().velocity();
.....
//获取 gps 位置德测量值
gpsPosNE = location_diff(EKF_origin, gpsloc);
....
}

void NavEKF::readHgtData()//读气压计的值
{
    .....
    //气压计对高度测量值
    hgtMea = _baro.get_altitude();
    .....
    //获取估计的高度（其实就是最近一次的高度）
    RecallStates(statesAtHgtTime, (imuSampleTime_ms - msecHgtDelay));
    .....
}

void NavEKF::FuseVelPosNED()
{
    //imu 速度积分的融合
    Vector3f velInnov;//通过权重对 imu1 和 imu2 的混合积分的速度
    Vector3f velInnov1; //imu1 积分的速度
    Vector3f velInnov2; //imu2 积分的速度
    //是否参与融合标识位
    /*
    ** fuseData[0]: X 轴的速度
    ** fuseData[1]: Y 轴的速度
    ** fuseData[2]: Z 轴的速度
    ** fuseData[3]: X 轴的位置
    ** fuseData[4]: Y 轴的位置
    ** fuseData[5]: 高度
    */
    bool fuseData[6] = {false,false,false,false,false,false};
    Vector6 R_OBS; //测量精度的方差
    Vector6 observation;//测量值，即  $z_t$ 

```

//进入对速度、位置和高度的融合

```

if (fuseVelData || fusePosData || fuseHgtData) {
    //gps 可用的情况下 constPosMode = false, constVelMode 始终等于 false,所以
    //statesAtPosTime 和 statesAtVelTime 在这里不会被更新
    if (constPosMode) {
        statesAtPosTime = state;
    } else if (constVelMode) {
        statesAtVelTime = state;
    }
    //计算  $z_t$ 

    if (!constPosMode && !constVelMode) {
        //从 gps 中获得测量值
        observation[0] = velNED.x + gpsVelGlitchOffset.x;
        observation[1] = velNED.y + gpsVelGlitchOffset.y;
        observation[2] = velNED.z;
        observation[3] = gpsPosNE.x + gpsPosGlitchOffsetNE.x;
        observation[4] = gpsPosNE.y + gpsPosGlitchOffsetNE.y;
    }
    observation[5] = -hgtMea; //从高度计获得测量值
    //计算 gps 速度 测量精度方差
    if (gpsSpdAccuracy > 0.0f) {
        R_OBS[0] = sq(constrain_float(gpsSpdAccuracy, _gpsHorizVelNoise, 50.0f));
        R_OBS[2] = sq(constrain_float(gpsSpdAccuracy, _gpsVertVelNoise, 50.0f));
    } else {
        R_OBS[0] = sq(constrain_float(_gpsHorizVelNoise, 0.05f, 5.0f)) +
            sq(gpsNEVelVarAccScale * accNavMag);
        R_OBS[2] = sq(constrain_float(_gpsVertVelNoise, 0.05f, 5.0f)) +
            sq(gpsDVelVarAccScale * accNavMag);
    }
    R_OBS[1] = R_OBS[0];
    //gps 位置测量精度方差
    R_OBS[3] = sq(constrain_float(_gpsHorizPosNoise, 0.1f, 10.0f)) + sq(posErr);
    R_OBS[4] = R_OBS[3];
    //高度计测量精度方差
    R_OBS[5] = sq(constrain_float(_baroAltNoise, 0.1f, 10.0f));
    //检查 imu 的数据是否可用
    if (useGpsVertVel && fuseVelData && (imuSampleTime_ms -
        lastHgtMeasTime) < (2 * msecHgtAvg)) {
        float hgtErr = statesAtHgtTime.position.z - observation[5];
        float velDErr = statesAtVelTime.velocity.z - observation[2];
        if ((hgtErr*velDErr > 0.0f) &&
            (sq(hgtErr) > 9.0f * (P[9][9] + R_OBS_DATA_CHECKS[5])) &&
            (sq(velDErr) > 9.0f * (P[6][6] + R_OBS_DATA_CHECKS[2]))) {

```



```

        badIMUdata = true;
    } else {
        badIMUdata = false;
    }
}
//测试位置的测试值是否参与融合
if (fusePosData) {
    //位置革新值= 上一次状态值- 测量值
    innovVelPos[3] = statesAtPosTime.position.x - observation[3];
    innovVelPos[4] = statesAtPosTime.position.y - observation[4];
    //计算方差的可用的革新值
    varInnovVelPos[3] = P[7][7] + R_OBS_DATA_CHECKS[3];
    varInnovVelPos[4] = P[8][8] + R_OBS_DATA_CHECKS[4];
    //计算位置革新值是否连续
    float accelScale = (1.0f + 0.1f * accNavMag);
    float maxPosInnov2 = sq(_gpsPosInnovGate * _gpsHorizPosNoise) +
        sq(0.005f * accelScale * float(_gpsGlitchAccelMax) * sq(0.001f *
            float(imuSampleTime_ms - lastPosPassTime)));
    posTestRatio = (sq(innovVelPos[3]) + sq(innovVelPos[4])) / maxPosInnov2;
    posHealth = ((posTestRatio < 1.0f) || badIMUdata);
    //imu 取样时间和 gps 位置取样时间，是否超时
    posTimeout = (((imuSampleTime_ms - lastPosPassTime) > gpsRetryTime) ||
        PV_AidingMode == AID_NONE);
    if (posHealth || posTimeout || constPosMode) {
        posHealth = true; //同意融合
        if (posTimeout || (maxPosInnov2 > sq(float(_gpsGlitchRadiusMax)))) { //超时
            decayGpsOffset();
            ResetPosition(); //重置位置
            ResetVelocity(); //重置速度
            fusePosData = false; //不同意融合
        }
    } else {
        posHealth = false; //不同意融合
    }
}
//测试速度的测量值是否参与融合
if (fuseVelData) {
    for (uint8_t i = 0; i <= imax; i++) {
        stateIndex = i + 4;
        //速度的革新值= 上一次速度状态值-观察值
        velInnov[i] = statesAtVelTime.velocity[i] - observation[i]; // blended
        velInnov1[i] = statesAtVelTime.vel1[i] - observation[i]; // IMU1
        velInnov2[i] = statesAtVelTime.vel2[i] - observation[i]; // IMU2
        //计算方差的可用革新值

```

```

varInnovVelPos[i] = P[stateIndex][stateIndex] + R_OBS_DATA_CHECKS[i];
//计算测试精度的方差
float R_hgt;
if (i == 2) {
    R_hgt = sq(constrain_float(_gpsVertVelNoise, 0.05f, 5.0f));
} else {
    R_hgt = sq(constrain_float(_gpsHorizVelNoise, 0.05f, 5.0f));
}
//分别计算 imu 积分的速度的误差
K1 += R_hgt / (R_hgt + sq(velInnov1[i]));
K2 += R_hgt / (R_hgt + sq(velInnov2[i]));
//计算革新速度的方差和，和革新方差的和
innovVelSumSq += sq(velInnov[i]);
varVelSum += varInnovVelPos[i];
}
//计算 IMU1 参与融合的权重
if (vehicleArmed) {
    IMU1_weighting = 1.0f * (K1 / (K1 + K2)) + 0.0f * IMU1_weighting;
} else {
    IMU1_weighting = 0.5f;
}
if (clipRateFilt1 > 0.1f || clipRateFilt2 > 0.1f) {
    if (clipRateFilt1 > clipRateFilt2) {
        IMU1_weighting = 0.0f;
    } else {
        IMU1_weighting = 1.0f;
    }
}
//计算速度是否连续
velTestRatio = innovVelSumSq / (varVelSum * sq(_gpsVelInnovGate));
velHealth = ((velTestRatio < 1.0f) || badIMUdata);
//imu 采集数据和 gps 速度采集是否超时
velTimeout = (((imuSampleTime_ms - lastVelPassTime) > gpsRetryTime) ||
               PV_AidingMode == AID_NONE);
if (velHealth || velTimeout || constVelMode) {
    velHealth = true; //同样融合
} else if (velTimeout && !posHealth && PV_AidingMode == AID_ABSOLUTE)
{
    ResetVelocity(); //重置速度
    fuseVelData = false; //不同意融合
} else {
    velHealth = false; //不容易融合
}
}
}

```

```

//测试高度的测量值是否参与融合
if (fuseHgtData) {
    //计算高度的革新值
    innovVelPos[5] = statesAtHgtTime.position.z - observation[5];
    //计算革新值协方差的合理革新值(P[9][9]是高度方差)
    //R_OBS_DATA_CHECKS[5]是测量精度的方差
    varInnovVelPos[5] = P[9][9] + R_OBS_DATA_CHECKS[5];
    //如果革新值的平方除以高度革新范围的平方大于方差，表示不连续
    hgtTestRatio = sq(innovVelPos[5]) / (sq(_hgtInnovGate) * varInnovVelPos[5]);
    hgtHealth = ((hgtTestRatio < 1.0f) || badIMUdata);
    //计算 imu 的采样与高度采样是否超时
    hgtTimeout = (imuSampleTime_ms - lastHgtPassTime) > hgtRetryTime;
    if (hgtHealth || hgtTimeout || constPosMode) {
        hgtHealth = true; //hgtHealth 值同样融合
        if (hgtTimeout) { //如果超时
            //从气压计中读出高度值，重置高度
            ResetHeight();
            useHgtData = false; //fuseHgtData 不同意融合
        }
    } else {
        hgtHealth = false; //hgtHealth 不同意融合
    }
}
//通过之前的测试，指定那些数据可以融合
if (fuseVelData && useGpsVertVel && velHealth &&
    !constPosMode && PV_AidingMode == AID_ABSOLUTE) {
    fuseData[0] = true;
    fuseData[1] = true;
    fuseData[2] = true;
}
if (fuseVelData && _fusionModeGPS == 1 && velHealth &&
    !constPosMode && PV_AidingMode == AID_ABSOLUTE) {
    fuseData[0] = true;
    fuseData[1] = true;
}
if ((fusePosData && posHealth && PV_AidingMode ==
    AID_ABSOLUTE) || constPosMode) {
    fuseData[3] = true;
    fuseData[4] = true;
}
if ((fuseHgtData && hgtHealth) || constPosMode) {
    fuseData[5] = true;
}
if (constVelMode) {

```

```

    fuseData[0] = true;
    fuseData[1] = true;
}
//开始融合需要融合的值
for (obsIndex=0; obsIndex<=5; obsIndex++) {
    if (fuseData[obsIndex]) {
        stateIndex = 4 + obsIndex;//算出需要更新 Kalman 增益的哪一位
        if (obsIndex <= 2)
        {
            //速度革新值，状态矩阵中的 4、5、6 位
            innovVelPos[obsIndex] = statesAtVelTime.velocity[obsIndex] -
                observation[obsIndex];
            R_OBS[obsIndex] *= sq(gpsNoiseScaler);
        } else if (obsIndex == 3 || obsIndex == 4) {
            //位置 革新值，状态矩阵中的 7、8 位
            innovVelPos[obsIndex] = statesAtPosTime.position[obsIndex-3] -
                observation[obsIndex];
            R_OBS[obsIndex] *= sq(gpsNoiseScaler);
        } else {
            //高度革新值，状态矩阵中的 9 位
            innovVelPos[obsIndex] = statesAtHgtTime.position[obsIndex-3] -
                observation[obsIndex];
        }
    }

    //计算上面 (3.3) 式的分母  $K_t = \frac{P_{t-1}}{P_{t-1} + Q_t}$ 

    varInnovVelPos[obsIndex] = P[stateIndex][stateIndex] + R_OBS[obsIndex];
    SK = 1.0f/varInnovVelPos[obsIndex];
    //kalman 增益的 0--12 位
    for (uint8_t i= 0; i<=12; i++) {
        Kfusion[i] = P[i][stateIndex]*SK;
    }
    //计算加速度计的 kalman 增益，P[13][stateIndex]是加速度和位置的协方差
    if ((obsIndex == 5 || obsIndex == 2) &&
        prevTnb.c.z > 0.5f && !getTakeoffExpected()) {
        Kfusion[13] = constrain_float(P[13][stateIndex]*SK,-1.0f,0.0f);
    } else {
        Kfusion[13] = 0.0f;
    }
    if (!inhibitWindStates) {
        Kfusion[14] = P[14][stateIndex]*SK;
        Kfusion[15] = P[15][stateIndex]*SK;
    } else {
        Kfusion[14] = 0.0f;
    }
}

```

```

        Kfusion[15] = 0.0f;
    }
    if (!inhibitMagStates) {
        for (uint8_t i = 16; i <= 21; i++) {
            Kfusion[i] = P[i][stateIndex] * SK;
        }
    } else {
        for (uint8_t i = 16; i <= 21; i++) {
            Kfusion[i] = 0.0f;
        }
    }
    Kfusion[26] = Kfusion[9]; // IMU1 posD
    Kfusion[30] = Kfusion[9]; // IMU2 posD
    for (uint8_t i = 0; i <= 2; i++) {
        Kfusion[i+23] = Kfusion[i+4]; // IMU1 velNED
        Kfusion[i+27] = Kfusion[i+4]; // IMU2 velNED
    }
    .....
    //更新状态方程
    if (obsIndex == 5) { //把由 imu 加速度计统计的高度融合到 imu 相关的项中
        //以 imu 统计的高度计算革新值
        float hgtInnov1 = statesAtHgtTime.posD1 - observation[obsIndex];
        float hgtInnov2 = statesAtHgtTime.posD2 - observation[obsIndex];
        //融合了与 imu 相关的项（由于篇幅原因，不写了）
    }
    else if (obsIndex == 0 || obsIndex == 1 || obsIndex == 2) {
        //把加速度计统计的速度融合到 imu 加速度计积分的速度和高度中
        for (uint8_t i = 23; i <= 26; i++) {
            states[i] = states[i] - Kfusion[i] * velInnov1[obsIndex];
        }
        for (uint8_t i = 27; i <= 30; i++) {
            states[i] = states[i] - Kfusion[i] * velInnov2[obsIndex];
        }
    }
}

//对普通项进行正常的融合
for (uint8_t i = 0; i <= 21; i++) {
    if (i != 13) {
        if ((i <= 3 && highRates) || i >= 10 || constPosMode || constVelMode) {
            //融合与速度和位置无关的项
            states[i] = states[i] - Kfusion[i] * innovVelPos[obsIndex];
        } else {
            if (obsIndex == 5) {
                //计算高度修正值

```

```

        hgtIncrStateDelta[i] -= Kfusion[i] * innovVelPos[obsIndex] *
                                hgtUpdateCountMaxInv;
    } else {
        //计算速度修正值
        gpsIncrStateDelta[i] -= Kfusion[i] * innovVelPos[obsIndex] *
                                gpsUpdateCountMaxInv;
    }
}
}
}
}
}
}
}
}
}
}

```

第五章 mavlink 与地面站的通信

第一节 mavlink 协议

(声明：原创吕元宙)

内容一栏表

Mavlink 包描述

基础枚举类型

Heartbeat, 心跳包

Sys status, 系统状态

System_time

Set mode, 设置飞行模式

Param request read, 获取参数信息

param request list, 获取所有的参数信息

Param value, 参数信息

Param set, 设置参数值

Gps_raw_int, gps 原始数据包

Raw imu, 1 号 imu 原始数据

Scaled pressure, 气压计原始数据

Attitude, 姿态信息

Local position ned, ned 框架的相对位置

Global position int, 绝对位置

Rc channels sscaled, rc 输入通道转换信息

Rc channels raw, rc 输入通道原始信息

Servo_output_raw, rc 输入通道信息

Mission write partial list 写入任务队列

MISSION_ITEM, 写入任务项
MISSION_REQUEST, 查询指定任务项
MISSION_SET_CURRENT, 设置当前运行的任务项
MISSION_CURRENT, 当前运行任务号
MISSION_REQUEST_LIST, 查询任务总数
MISSION_COUNT, 任务总数
MISSION_CLEAR_ALL, 清除所有任务
MISSION_ACK, 任务应答包
NAV_CONTROLLER_OUTPUT, 发送导航信息
REQUEST_DATA_STREAM, 设置数据流
RC_CHANNELS_OVERRIDE, 设置 RC 输入值
VFR_HUD, HUD 信息
COMMAND_LONG, 执行指定命令
COMMAND_ACK, 命令应答包
SET_POSITION_TARGET_LOCAL_NED, 设置飞行的相对目标
SET_POSITION_TARGET_GLOBAL_INT, 设置飞行的绝对目标
OPTICAL_FLOW, 光流传感器数据
RADIO, 数传状态
SCALED_IMU2, 2 号 IMU 原始数据
LOG_REQUEST_LIST, 查询 log 列表
LOG_ENTRY, log 列表信息
LOG_REQUEST_DATA, 申请发送
LOG_DATA, 发送 log 数据
LOG_ERASE, 擦除所有 log 信息
LOG_REQUEST_END, 停止发送 log
POWER_STATUS, 电源状态
SCALED_IMU3, 3 号 IMU 原始数据
SENSOR_OFFSETS, 传感器校准数据
MEMINFO, 内存信息
FENCE_STATUS, 未实现
AHRS, 姿态解算信息
HWSTATUS, 硬件状态信息
RANGEFINDER, 测距器信息
EKF_STATUS_REPORT, EKF 状态信息
PID_TUNING, 内环 PID 状态
VIBRATION, 机体震动状态
STATUSTEXT, 发送文字信息
附录 1:MAV_CMD

MAVLINK 包描述

MAVLINK 包分为 9 个部分, 每个部分以 1 个字节为单位, 如下

| | 位置 | 长度 | 取值范围 | 描述 |
|-----|----|----|-------|---------------|
| STX | 0 | 1 | 254 | 指示包头, 固定为 254 |
| LEN | 1 | 1 | 0-255 | 包的长度 |

| | | | | |
|---------|-----|---|-------|--------------------|
| SEQ | 2 | 1 | 0-255 | 包的顺序号 |
| SYS | 3 | 1 | 7 | SYS ID 号(固定为 7) |
| COMP | 4 | 1 | 1 | COMP ID 号(固定为 1) |
| MSG | 5 | 1 | 0-255 | MSG ID 号 |
| PAYLOAD | 6 | n | 0-255 | 数据, 由 MSG ID 号进行指定 |
| CKA | n+7 | 1 | 0-255 | 校验和低字节 |
| CKB | n+8 | 1 | 0-255 | 校验和高字节 |

基础枚举类型

| MAV_POWER_STATUS | | |
|----------------------------|----|------------------|
| BRICK_VALID | 1 | 电池电源是否有效 |
| SERVO_VALID | 2 | 伺服电机电源是否有效 |
| USB_CONNECTED | 4 | USB 电源是否有效 |
| PERIPH_OVERCURRENT | 8 | 总线 BUS 是否过流 |
| PERIPH_HIPOWER_OVERCURRENT | 16 | SERIAL4/5 接口是否过流 |
| CHANGED | 32 | |

| MAV_MODE_FLAG | | |
|----------------------|-----|-----------|
| CUSTOM_MODE_ENABLED | 1 | 启用定制模式 |
| TEST_ENABLED | 2 | 启用测试模式 |
| AUTO_ENABLED | 4 | 启用自动模式 |
| GUIDED_ENABLED | 8 | 启用跟随模式 |
| STABILIZE_ENABLED | 16 | 启用自稳模式 |
| HIL_ENABLED | 32 | 启用 HIL 模式 |
| MANUAL_INPUT_ENABLED | 64 | 启用手动输入模式 |
| SAFETY_ARMED | 128 | 启用安全模式 |

| MAV_STATE | | |
|-------------|---|----------|
| UNINIT | 0 | 未初始化 |
| BOOT | 1 | 启动 |
| CALIBRATING | 2 | 校准 |
| STANDBY | 3 | 待机 |
| ACTIVE | 4 | 激活 |
| CRITICAL | 5 | 紧急(仍可操控) |
| EMERGENCY | 6 | 危机(不可操控) |
| POWEROFF | 7 | 关机 |

| MAV_SYS_STATUS |
|----------------|
|----------------|

| | | |
|-------------------------------|----------|---------|
| SENSOR_3D_GYRO | 0x01 | 陀螺仪 |
| SENSOR_3D_ACCEL | 0x02 | 加速计 |
| SENSOR_3D_MAG | 0x04 | 罗盘 |
| SENSOR_ABSOLUTE_PRESSURE | 0x08 | 绝对气压计 |
| SENSOR_DIFFERENTIAL_PRESSURE | 0x10 | 相对气压计 |
| SENSOR_GPS | 0x20 | GPS |
| SENSOR_OPTICAL_FLOW | 0x40 | 光流计 |
| SENSOR_VISION_POSITION | 0x80 | 视觉位置 |
| SENSOR_LASER_POSITION | 0x100 | 激光位置 |
| SENSOR_EXTERNAL_GROUND_TRUTH | 0x200 | 外部观察 |
| SENSOR_ANGULAR_RATE_CONTROL | 0x400 | 角速度控制 |
| SENSOR_ATTITUDE_STABILIZATION | 0x800 | 姿态稳定 |
| SENSOR_YAW_POSITION | 0x1000 | 偏航位置 |
| SENSOR_Z_ALTITUDE_CONTROL | 0x2000 | 高度控制 |
| SENSOR_XY_POSITION_CONTROL | 0x4000 | XY 平面控制 |
| SENSOR_MOTOR_OUTPUTS | 0x8000 | 马达输出 |
| SENSOR_RC_RECEIVER | 0x10000 | RC 输入 |
| SENSOR_3D_GYRO2 | 0x20000 | 2 号陀螺仪 |
| SENSOR_3D_ACCEL2 | 0x40000 | 2 号加速计 |
| SENSOR_3D_MAG2 | 0x80000 | 2 号罗盘 |
| GEOFENCE | 0x100000 | 地理围栏 |
| AHRS | 0x200000 | 姿态解算 |
| TERRAIN | 0x400000 | |

| MAV_AUTOPILOT | | |
|---------------|---|---------------|
| ARDUPILOTMEGA | 3 | Ardupilot 驾驶仪 |

| MAV_TYPE | | |
|-----------|----|----|
| QUADROTOR | 2 | 四轴 |
| HEXAROTOR | 13 | 六轴 |
| OCTOROTOR | 14 | 八轴 |

| EKF_STATUS_FLAGS | | |
|------------------|----|-------------|
| ATTITUDE | 1 | 姿态正常 |
| VELOCITY_HORIZ | 2 | 速度(水平方向) 正常 |
| VELOCITY_VERT | 4 | 速度(垂直方向) 正常 |
| POS_HORIZ_REL | 8 | 水平位置(相对) 正常 |
| POS_HORIZ_ABS | 16 | 水平位置(绝对) 正常 |

| | | |
|--------------------|-----|---------------|
| POS_VERT_ABS | 32 | 垂直位置(绝对) 正常 |
| POS_VERT_AGL | 64 | 垂直位置(相对大地) 正常 |
| CONST_POS_MODE | 128 | 固定位置正常 |
| PRED_POS_HORIZ_REL | 256 | 预测水平(相对)位置正常 |
| PRED_POS_HORIZ_ABS | 512 | 预测水平(绝对)位置正常 |

| autopilot_modes | | |
|-----------------|----|------|
| STABILIZE | 0 | 自稳模式 |
| ALT_HOLD | 2 | 定高模式 |
| AUTO | 3 | 航点模式 |
| GUIDED | 4 | 跟随模式 |
| RTL | 6 | 返航模式 |
| CIRCLE | 7 | 环绕模式 |
| LAND | 9 | 降落模式 |
| POSHOLD | 16 | 定点模式 |

| MAV_PARAM_TYPE | | |
|----------------|----|----------|
| CHAR | 0 | 字符 |
| UINT8_T | 1 | 无符号 8 位 |
| INT8_T | 2 | 有符号 8 位 |
| UINT16_T | 3 | 无符号 16 位 |
| INT16_T | 4 | 有符号 16 位 |
| UINT32_T | 5 | 无符号 32 位 |
| INT32_T | 6 | 有符号 32 位 |
| UINT64_T | 7 | 无符号 64 位 |
| INT64_T | 8 | 有符号 64 位 |
| FLOAT | 9 | float |
| DOUBLE | 10 | double |

| MAV_CMD | | |
|----------------------|----|--------|
| NAV_WAYPOINT | 16 | 普通航点 |
| NAV_LOITER_UNLIM | 17 | 悬停模式 |
| NAV_LOITER_TURNS | 18 | 环绕模式 |
| NAV_LOITER_TIME | 19 | 定时悬停 |
| NAV_RETURN_TO_LAUNCH | 20 | RTL 模式 |
| NAV_LAND | 21 | 降落模式 |
| NAV_TAKEOFF | 22 | 起飞模式 |
| NAV_SPLINE_WAYPOINT | 82 | 曲线航点 |

| | | |
|--------------------------------|-----|-----------|
| NAV_GUIDED_ENABLE | 92 | 引导模式 |
| CONDITION_DELAY | 112 | 延时 |
| CONDITION_YAW | 115 | 设定航向 |
| DO_CHANGE_SPEED | 178 | 更改航点速度 |
| DO_SET_HOME | 179 | 设置 HOME 点 |
| DO_SET_RELAY | 181 | 设置继电器 |
| DO_REPEAT_RELAY | 182 | 设置继电器 |
| DO_SET_SERVO | 183 | 设置伺服 |
| DO_REPEAT_SERVO | 184 | 设置伺服 |
| DO_SET_ROI | 201 | 设置兴趣区域 |
| DO_DIGICAM_CONFIGURE | 202 | 相机配置 |
| DO_DIGICAM_CONTROL | 203 | 相机操作 |
| DO_SET_CAM_TRIGG_DIST | 206 | 相机触发 |
| DO_FENCE_ENABLE | 207 | 地理围栏 |
| DO_PARACHUTE | 208 | 降落伞 |
| DO_MOTOR_TEST | 209 | 电机测试 |
| DO_GRIPPER | 211 | 夹子 |
| DO_GUIDED_LIMITS | 222 | 引导限制 |
| PREFLIGHT_CALIBRATION | 241 | 校准传感器 |
| PREFLIGHT_SET_SENSOR_OFFSETS | 242 | 设置罗盘偏移 |
| PREFLIGHT_REBOOT_SHUTDOWN | 246 | 重启飞控 |
| MISSION_START | 300 | 开始任务 |
| COMPONENT_ARM_DISARM | 400 | 解锁加锁 |
| REQUEST_AUTOPILOT_CAPABILITIES | 520 | 发送版本号 |

| MAV_DATA_STREAM | | |
|-----------------|----|------------------|
| ALL | 0 | 所有数据流 |
| RAW_SENSORS | 1 | IMU 和 GPS 数据流 |
| EXTENDED_STATUS | 2 | GPS, 控制和 AUX 数据流 |
| DC_CHANNELS | 3 | RC 和 SERVO 数据流 |
| RAW_CONTROLLER | 4 | 姿态, 位置和导航数据流 |
| POSITION | 6 | 局部和全局位置数据流 |
| EXTRA1 | 10 | 保留 |
| EXTRA2 | 11 | 保留 |
| EXTRA3 | 12 | 保留 |

| MAV_RESULT | | |
|------------|---|------|
| ACCEPTED | 0 | 执行成功 |

| | | |
|----------------------|---|------|
| TEMPORARILY_REJECTED | 1 | 暂时拒绝 |
| DENIED | 2 | 永久拒绝 |
| UNSUPPORTED | 3 | 不支持 |
| FAILED | 4 | 失败 |

| MAV_FRAME | | |
|-------------------------|----|--|
| GLOBAL | 0 | WGS84(x:lat y:lon z:基于海平面的正值) |
| LOCAL_NED | 1 | x:north y:east z:down |
| MISSION | 2 | |
| GLOBAL_RELATIVE_ALT | 3 | WGS84(x:lat y:lon z:基于 Home 的正值) |
| LOCAL_ENU | 4 | x:east y:north z:up |
| GLOBAL_INT | 5 | WGS84(x:lat *1.0e-7 y:lon *1.0e-7 z:基于海平面的正值) |
| GLOBAL_RELATIVE_ALT_INT | 6 | WGS84(x:lat *1.0e-7 y:lon *1.0e-7 z:基于 Home 的正值) |
| LOCAL_OFFSET_NED | 7 | 基于当前局部坐标框架的差值 |
| BODY_NED | 8 | 基于机体 NED 框架(前后左右) |
| BODY_OFFSET_NED | 9 | 基于机体 NED 框架(东南西北) |
| GLOBAL_TERRAIN_ALT | 10 | |
| GLOBAL_TERRAIN_ALT_INT | 11 | |

| MAV_MISSION_RESULT | | |
|-------------------------------|----|----------|
| MAV_MISSION_ACCEPTED | 0 | 处理完成 |
| MAV_MISSION_ERROR | 1 | 处理失败 |
| MAV_MISSION_UNSUPPORTED_FRAME | 2 | 不支持的坐标框架 |
| MAV_MISSION_UNSUPPORTED | 3 | 不支持的命令 |
| MAV_MISSION_NO_SPACE | 4 | 没有空间存储任务 |
| MAV_MISSION_INVALID | 5 | 其中一个参数无效 |
| MAV_MISSION_INVALID_PARAM1 | 6 | 参数 1 无效 |
| MAV_MISSION_INVALID_PARAM2 | 7 | 参数 2 无效 |
| MAV_MISSION_INVALID_PARAM3 | 8 | 参数 3 无效 |
| MAV_MISSION_INVALID_PARAM4 | 9 | 参数 4 无效 |
| MAV_MISSION_INVALID_PARAM5_X | 10 | 参数 5 无效 |
| MAV_MISSION_INVALID_PARAM6_Y | 11 | 参数 6 无效 |
| MAV_MISSION_INVALID_PARAM7 | 12 | 参数 7 无效 |
| MAV_MISSION_INVALID_SEQUENCE | 13 | 航点序列号错误 |

| | | |
|--------------------|----|------|
| MAV_MISSION_DENIED | 14 | 拒绝处理 |
|--------------------|----|------|

HEARTBEAT,心跳包

| MSG 编号 | 名字 | 输入输出 |
|-----------------|-------------------------------|-------------------------|
| 0 | HEARTBEAT | IO |
| 描述 | 确认和地面站之间的通信是否持续 可以设置超时失控保护 | |
| 成员 | 类型 | 描述 |
| custom_mode | uint32_t | 定制模式 (autopilot_modes) |
| type | uint8_t | 机架类型 (MAV_TYPE) |
| autopilot | uint8_t | 自动驾驶仪型号 (MAV_AUTOPILOT) |
| base_mode | uint8_t | 基础模式 (MAV_MODE_FLAG) |
| system_status | uint8_t | 系统状态 (MAV_STATE) |
| mavlink_version | uint8_t | MAVLINK 版本 (固定为 3) |

ardupilot 的发送处理流程为:

1. 设置 custom_mode 为飞行模式 autopilot_modes 中的一项
2. 设置 type 为机架类型 MAV_TYPE 中的一项
3. 设置 autopilot 为自动驾驶仪类型 MAV_AUTOPILOT 中的一项
4. 设置 base_mode 为基础模式 MAV_MODE_FLAG 中项的混合, 必选
MAV_MODE_FLAG_STABILIZE_ENABLED
MAV_MODE_FLAG_MANUAL_INPUT_ENABLED
MAV_MODE_FLAG_CUSTOM_MODE_ENABLED
当处于 ATUO, RTL, GUIDED, CIRCLE, POSHOLD 模式时需选中
MAV_MODE_FLAG_GUIDED_ENABLED 模式
当处于电机解锁状态时需选中 MAV_MODE_FLAG_SAFETY_ARMED 模式
5. 设置 system_status 为系统状态 MAV_STATE 中的一项

ardupilot 的接收处理流程为:

1. 将 failsafe 类中的 last_heartbeat_ms 设置为当前时间
2. pmTest1 心跳包计数器自加

SYS_STATUS,系统状态

| MSG 编号 | 名字 | 输入输出 |
|---------------------------------|-------------------|---------------------------------|
| 1 | SYS_STATUS | 0 |
| 描述 | 发送传感器, 电池和 CPU 信息 | |
| 成员 | 类型 | 描述 |
| onboard_control_sensors_present | uint32_t | 传感器是否在位 (MAV_SYS_STATUS_SENSOR) |
| onboard_control_sensors_enabled | uint32_t | 传感器是否开启 (MAV_SYS_STATUS_SENSOR) |
| onboard_control_sensors_health | uint32_t | 传感器是否健康 (MAV_SYS_STATUS_SENSOR) |
| load | uint16_t | 主循环使用率 |

| | | |
|-------------------|----------|--------------|
| voltage_battery | uint16_t | 电池电压, 单位为 mv |
| current_battery | int16_t | 电池电流, 单位为 ma |
| drop_rate_comm | uint16_t | 保留为 0 |
| errors_comm | uint16_t | 保留为 0 |
| errors_count1 | uint16_t | 保留为 0 |
| errors_count2 | uint16_t | 保留为 0 |
| errors_count3 | uint16_t | 保留为 0 |
| errors_count4 | uint16_t | 保留为 0 |
| battery_remaining | int8_t | 剩余电量, 单位为% |

ardupilot 的发送处理流程为:

1. 设置 onboard_control_sensors_present 为 MAV_SYS_STATUS_SENSOR 中项的混合, 默认选择

| | | |
|-----------------------------|-------------------------------|--------------------------|
| SENSOR_3D_GYRO | SENSOR_3D_ACCEL | SENSOR_ABSOLUTE_PRESSURE |
| SENSOR_ANGULAR_RATE_CONTROL | SENSOR_ATTITUDE_STABILIZATION | SENSOR_YAW_POSITION |
| SENSOR_Z_ALTITUDE_CONTROL | SENSOR_XY_POSITION_CONTROL | SENSOR_MOTOR_OUTPUTS |
| AHRS | | |

- 当罗盘可用时选中 SENSOR_3D_MAG
 - 当 GPS 可用时选中 SENSOR_GPS
 - 当光流计可用时选中 SENSOR_OPTICAL_FLOW
 - 当 RC 接收可用时选中 SENSOR_RC_RECEIVER
 - 当超声波可用时选中 SENSOR_LASER_POSITION
 - 当 AHRS 未初始化完成和未校准完成时去掉 SENSOR_3D_GYRO 和 SENSOR_3D_ACCEL
2. 设置 onboard_control_sensors_enabled 和 onboard_control_sensors_present 相等
 - 当不为 ALT_HOLD, AUTO, GUIDED, RTL, CIRCLE, LAND, POSHLOD 等飞行模式时去掉 SENSOR_Z_ALTITUDE_CONTROL 和 SENSOR_XY_POSITION_CONTROL
 - 当安全开关未按下时, 去掉 SENSOR_MOTOR_OUTPUTS
 - 当 AHRS 未初始化完成和未校准完成时去掉 SENSOR_3D_GYRO 和 SENSOR_3D_ACCEL
 3. 设置 onboard_control_sensors_health 和 onboard_control_sensors_present 相等
 - 当气压计不健康时去掉 SENSOR_ABSOLUTE_PRESSURE
 - 当罗盘不健康时去掉 SENSOR_3D_MAG
 - 当 GPS 未定位时去掉 SENSOR_GPS
 - 当光流计不健康时去掉 SENSOR_OPTICAL_FLOW
 - 当 RC 接收不健康时去掉 SENSOR_RC_RECEIVER
 - 当陀螺仪不健康时去掉 SENSOR_3D_GYRO
 - 当加速计不健康时去掉 SENSOR_3D_ACCEL
 - 当 AHRS 不健康时去掉 AHRS

SYSTEM_TIME

| MSG 编号 | 名字 | 输入输出 |
|--------|----|------|
|--------|----|------|

| | | |
|----------------|-------------|---------------|
| 2 | SYSTEM_TIME | 0 |
| 描述 | 反馈系统时间 | |
| 成员 | 类型 | 描述 |
| time_unix_usec | uint64_t | GPS 时间, 用毫秒表示 |
| time_boot_ms | uint32_t | 系统开机时间, 用毫秒表示 |

SET_MODE, 设置飞行模式

| | | |
|---------------|-------------|--------------------------|
| MSG 编号 | 名字 | 输入输出 |
| 11 | SET_MODE | I |
| 描述 | 设置飞行模式为指定模式 | |
| 成员 | 类型 | 描述 |
| custom_mode | uint32_t | 目标定制模式 (autopilot_modes) |
| target_system | uint8_t | 保留 |
| base_mode | uint8_t | 目标基础模式 (MAV_MODE_FLAG) |

ardupilot 的接收处理流程为:

1. 检查 base_mode 是否配置了 MAV_MODE_FLAG 中的 CUSTOM_MODE_ENABLED 项
 - 使用 Copter::set_mode 根据 custom_mode 配置目标定制模式
2. 如果没有再检查是否配置了 MAV_MODE_FLAG 中的 DECODE_POSITION_SAFETY 项
 - 如果 custom_mode 为 0 则关闭安全开关检查
 - 如果 custom_mode 为 0 则开启安全开关检查
3. 根据执行结果返回 ACK 包

PARAM_REQUEST_READ, 获取参数信息

| | | |
|------------------|--------------------|-------------|
| MSG 编号 | 名字 | 输入输出 |
| 20 | PARAM_REQUEST_READ | I |
| 描述 | 根据指定参数获取参数信息 | |
| 成员 | 类型 | 描述 |
| param_index | int16_t | 参数序列号 |
| target_system | uint8_t | 保留 |
| target_component | uint8_t | 保留 |
| param_id | char[16] | 参数 ID |

ardupilot 的接收处理流程为:

1. 根据 param_index 查找参数
 - param_index 不为-1 按序列号进行查找
 - 否则按 param_id 进行字符串查找
2. 根据查找结果将参数封装成 PARAM_VALUE 包并发送返回

PARAM_REQUEST_LIST, 获取所有参数信息

| MSG 编号 | 名字 | 输入输出 |
|------------------|--------------------|-----------|
| 21 | PARAM_REQUEST_LIST | I |
| 描述 | 收到该包后将所有参数顺序发出 | |
| 成员 | 类型 | 描述 |
| target_system | uint8_t | 保留 |
| target_component | uint8_t | 保留 |

ardupilot 的接收处理流程为:

1. 发送固件版本号
2. 发送 PX4 版本号和 Nuttx 版本号
3. 发送飞行器框架类型
4. 发送 sysid 号
5. 配置待发参数队列, 配置后按照一定的频率发送参数队列
 - 设队列指向第一个参数
 - 设队列序列号为 0
 - 设队列计数器为参数总数

PARAM_VALUE, 参数信息

| MSG 编号 | 名字 | 输入输出 |
|-------------|-------------|-----------|
| 22 | PARAM_VALUE | 0 |
| 描述 | 发送参数信息 | |
| 成员 | 类型 | 描述 |
| param_value | float | 参数值 |
| param_count | uint16_t | 参数总数 |
| param_index | uint16_t | 参数序列号 |
| param_id | char[16] | 参数名字 |
| param_type | uint8_t | 参数类型 |

PARAM_SET, 设置参数值

| MSG 编号 | 名字 | 输入输出 |
|------------------|---------------|-----------|
| 23 | PARAM_SET | I |
| 描述 | 根据参数信息设置新的参数值 | |
| 成员 | 类型 | 描述 |
| param_value | float | 目标参数值 |
| target_system | uint8_t | 保留 |
| target_component | uint8_t | 保留 |
| param_id | char[16] | 目标参数名 |
| param_type | uint8_t | 目标参数类型 |

ardupilot 的接收处理流程为:

1. 使用 param_id 历遍所有参数名进行匹配
2. 有匹配项则设置其值为 param_value, 并发送 PARAM_VALUE 包返回修改后的参数

GPS_RAW_INT, GPS 原始数据

| MSG 编号 | 名字 | 输入输出 |
|--------------------|-------------|-----------------|
| 24 | GPS_RAW_INT | 0 |
| 描述 | 发送 GPS 原始信息 | |
| 成员 | 类型 | 描述 |
| time_usec | uint64_t | 系统时间 |
| lat | int32_t | 纬度 |
| lon | int32_t | 经度 |
| alt | int32_t | 高度 |
| eph | uint16_t | HDOP |
| epv | uint16_t | VDOP, 保留为 65536 |
| vel | uint16_t | 地速 |
| cog | uint16_t | 航线? |
| fix_type | uint8_t | GPS 锁定类型 |
| satellites_visible | uint8_t | 搜星数 |

ardupilot 的发送处理流程为:

1. 当 GPS 处于锁定状态时, 如果无新数据则不发送数据包
2. 当 GPS 处于非锁定状态时, 则按 1HZ 的频率发送数据包

RAW_IMU, 1 号 imu 原始数据

| MSG 编号 | 名字 | 输入输出 |
|-----------|----------------|-----------|
| 27 | RAW_IMU | 0 |
| 描述 | 发送 1 号 IMU 的信息 | |
| 成员 | 类型 | 描述 |
| time_usec | uint64_t | 系统时间 |
| xacc | int16_t | 加速度 X |
| yacc | int16_t | 加速度 Y |
| zacc | int16_t | 加速度 Z |
| xgyro | int16_t | 角速度 X |
| ygyro | int16_t | 角速度 Y |
| zgyro | int16_t | 角速度 Z |
| xmag | int16_t | 罗盘 X |
| ymag | int16_t | 罗盘 Y |
| zmag | int16_t | 罗盘 Z |

SCALED_PRESSURE, 气压计原始数据

| MSG 编号 | 名字 | 输入输出 |
|--------------|-----------------|-------|
| 29 | SCALED_PRESSURE | 0 |
| 描述 | 发送气压计原始数据 | |
| 成员 | 类型 | 描述 |
| time_boot_ms | uint32_t | 系统时间 |
| press_abs | float | 绝对气压值 |
| press_diff | float | 相对气压值 |
| temperature | int16_t | 温度 |

ATTITUDE, 姿态信息

| MSG 编号 | 名字 | 输入输出 |
|--------------|----------|-------|
| 30 | ATTITUDE | 0 |
| 描述 | 发送姿态信息 | |
| 成员 | 类型 | 描述 |
| time_boot_ms | uint32_t | 系统时间 |
| roll | float | 横滚角 |
| pitch | float | 俯仰角 |
| yaw | float | 偏航角 |
| rollspeed | float | 横滚角速度 |
| pitchspeed | float | 俯仰角速度 |
| yawspeed | float | 偏航角速度 |

LOCAL_POSITION_NED, NED 框架的相对位置

| MSG 编号 | 名字 | 输入输出 |
|--------------|--------------------|------|
| 32 | LOCAL_POSITION_NED | 0 |
| 描述 | 发送 NED 框架的局部位置信息 | |
| 成员 | 类型 | 描述 |
| time_boot_ms | uint32_t | 系统时间 |
| x | float | X 位置 |
| y | float | Y 位置 |
| z | float | Z 位置 |
| vx | float | X 速度 |
| vy | float | Y 速度 |
| vz | float | Z 速度 |

ardupilot 的发送处理流程为：

1. 检查是否能获得 NED 的相对位置和速度, 如果不能则不发送数据包

GLOBAL_POSITION_INT, 绝对位置

| MSG 编号 | 名字 | 输入输出 |
|--------------|---------------------|-----------|
| 33 | GLOBAL_POSITION_INT | 0 |
| 描述 | 发送绝对位置信息 | |
| 成员 | 类型 | 描述 |
| time_boot_ms | uint32_t | 系统时间 |
| lat | int32_t | 纬度 |
| lon | int32_t | 经度 |
| alt | int32_t | 高度 |
| relative_alt | int32_t | 相对地面高度 |
| vx | int16_t | 经度速度 |
| vy | int16_t | 纬度速度 |
| vz | int16_t | 高度速度 |
| hdg | uint16_t | 航向角 |

ardupilot 的发送处理流程为:

1. 当 GPS 处于锁定状态时, time_boot_ms 为最后一次获取的 GPS 时间
2. 当 GPS 不为锁定状态时, time_boot_ms 为系统时间

RC_CHANNELS_SCALED, rc 输入通道转换信息

| MSG 编号 | 名字 | 输入输出 |
|--------------|--------------------|-----------|
| 34 | RC_CHANNELS_SCALED | 0 |
| 描述 | 发送 RC 输入通道转后的信息 | |
| 成员 | 类型 | 描述 |
| time_boot_ms | uint32_t | 系统时间 |
| chan1_scaled | int16_t | 通道 1 |
| chan2_scaled | int16_t | 通道 2 |
| chan3_scaled | int16_t | 通道 3 |
| chan4_scaled | int16_t | 通道 4 |
| chan5_scaled | int16_t | 通道 5 |
| chan6_scaled | int16_t | 通道 6 |
| chan7_scaled | int16_t | 通道 7 |
| chan8_scaled | int16_t | 通道 8 |
| port | uint8_t | 端口, 保留为 0 |
| rsi | uint8_t | 接收信号强度 |

ardupilot 的发送处理流程为:

1. chan1_scaled 为 RC1 的 servo_out 输出
2. chan2_scaled 为 RC2 的 servo_out 输出

3. chan3_scaled 为 RC3 的 radio_out 输出
4. chan4_scaled 为 RC4 的 servo_out 输出
5. chan5_scaled 为 RC1 的 norm_output 输出
6. chan6_scaled 为 RC2 的 norm_output 输出
7. chan7_scaled 为 RC3 的 norm_output 输出
8. chan8_scaled 为 RC4 的 norm_output 输出

RC_CHANNELS_RAW, RC 输入通道原始信息

| MSG 编号 | 名字 | 输入输出 |
|--------------|-----------------|-----------|
| 35 | RC_CHANNELS_RAW | 0 |
| 描述 | RC 输入通道的原始信息 | |
| 成员 | 类型 | 描述 |
| time_boot_ms | uint32_t | 系统时间 |
| chan1_raw | uint16_t | 通道 1 |
| chan2_raw | uint16_t | 通道 2 |
| chan3_raw | uint16_t | 通道 3 |
| chan4_raw | uint16_t | 通道 4 |
| chan5_raw | uint16_t | 通道 5 |
| chan6_raw | uint16_t | 通道 6 |
| chan7_raw | uint16_t | 通道 7 |
| chan8_raw | uint16_t | 通道 8 |
| port | uint8_t | 端口, 保留为 0 |
| rsi | uint8_t | 接收信号强度 |

ardupilot 的发送处理流程为:

1. 从 hal.rcin 中读取各个通道的输入并保存到 chanx_raw 通道中

SERVO_OUTPUT_RAW, rc 输入通道信息

| MSG 编号 | 名字 | 输入输出 |
|--------------|-----------------------|-----------|
| 36 | SERVO_OUTPUT_RAW | 0 |
| 描述 | 发送 RC 输出通道的信息(电机驱动通道) | |
| 成员 | 类型 | 描述 |
| time_boot_ms | uint32_t | 系统时间 |
| servo1_raw | uint16_t | 通道 1 |
| servo2_raw | uint16_t | 通道 2 |
| servo3_raw | uint16_t | 通道 3 |
| servo4_raw | uint16_t | 通道 4 |
| servo5_raw | uint16_t | 通道 5 |
| servo6_raw | uint16_t | 通道 6 |

| | | |
|------------|----------|------|
| servo7_raw | uint16_t | 通道 7 |
| servo8_raw | uint16_t | 通道 8 |
| port | uint8_t | 端口 |

ardupilot 的发送处理流程为:

1. 从 hal.rcout 中读取各个通道的输入并保存到 chanx_raw 通道中

MISSION_WRITE_PARTIAL_LIST, 写入任务队列

| MSG 编号 | 名字 | 输入输出 |
|------------------|---|-------|
| 38 | MISSION_WRITE_PARTIAL_LIST | I |
| 描述 | 写入任务队列, 接收到该包后使用 MISSION_ITEM 包对指定的序列进行写入 | |
| 成员 | 类型 | 描述 |
| start_index | int16_t | 开始序列号 |
| end_index | int16_t | 结束序列号 |
| target_system | uint8_t | 保留 |
| target_component | uint8_t | 保留 |

ardupilot 的接收处理流程为:

1. 检查 start_index 是否大于最大命令数
2. 检查 end_index 是否大于最大命令数
3. 检查 start_index 是否大于 end_index
4. 设置 waypoint_timelast_receive 为当前时间
5. 设置 waypoint_timelast_request 为 0
6. 设置 waypoint_receiving 为 true
7. 设置 waypoint_request_i 为 start_index
8. 设置 waypoint_request_last 为 end_index

MISSION_ITEM, 写入任务项

| MSG 编号 | 名字 | 输入输出 |
|--------|------------------|------|
| 39 | MISSION_ITEM | I |
| 描述 | 写入任务项, 包含具体的任务信息 | |
| 成员 | 类型 | 描述 |
| param1 | float | 参数 1 |
| param2 | float | 参数 2 |
| param3 | float | 参数 3 |
| param4 | float | 参数 4 |
| x | float | 参数 5 |
| y | float | 参数 6 |
| z | float | 参数 7 |

| | | |
|------------------|----------|------|
| seq | uint16_t | 序列号 |
| command | uint16_t | 命令 |
| target_system | uint8_t | 保留 |
| target_component | uint8_t | 保留 |
| frame | uint8_t | 地理框架 |
| current | uint8_t | |
| autocontinue | uint8_t | |

ardupilot 的接收处理流程为:

1. 首先根据 seq 和 command 转换为 cmd 命令, 并将参数赋给 cmd
2. 如果 current 为 2 时, 使用 handle_guided_request 处理 cmd, 并返回 ACK 包 (ACCEPTED)
3. 如果 current 为 3 时, 使用 handle_change_alt_request 处理 cmd, 并返回 ACK 包 (ACCEPTED)
4. 如果 waypoint_receiving 为 false, 则返回 ACK 包 (ERROR)
5. 如果 seq 不等于 waypoint_request_i, 则返回 ACK 包 (INVALID_SEQUENCE)
6. 如果 seq 小于最大命令数, 则进行替换检查, 成功则返回 ACK 包 (ACCEPTED), 失败则返回 ACK 包 (ERROR)
7. 如果 seq 等于最大命令数, 则进行插入检查, 成功则返回 ACK 包 (ACCEPTED), 失败则返回 ACK 包 (ERROR)
8. 更新 waypoint_timelast_receive 为当前时间
9. 更新 waypoint_request_i 累加 1
10. 如果 waypoint_request_i 大于等于 waypoint_request_last
 - 发送 ACK 包 (ACCEPTED)
 - 发送文字 (flight plan received)
 - 设置 waypoint_receiving 为 false
11. 如果 waypoint_request_i 小于 waypoint_request_last, 发送 MISSION_REQUEST 包

MISSION_REQUEST, 查询指定任务项

| MSG 编号 | 名字 | 输入输出 |
|------------------|-----------------------------|------|
| 40 | MISSION_REQUEST | I/O |
| 描述 | 查询指定任务项并使用 MISSION_ITEM 包返回 | |
| 成员 | 类型 | 描述 |
| seq | uint16_t | 序列号 |
| target_system | uint8_t | 保留 |
| target_component | uint8_t | 保留 |

ardupilot 的接收处理流程为:

1. 根据 seq 从 eeprom 中读取 cmd, 失败则返回一个 ACK 包 (ERROR)
2. 将 cmd 转换为一个 MISSION_ITEM 包, 失败则返回一个 ACK 包 (ERROR)
3. 如果 cmd 为当前执行的命令, 则将 MISSION_ITEM 包中的 current 设为 1, 否则为 0
4. 设置 MISSION_ITEM 包中的 autocontinue 为 1
5. 设置 MISSION_ITEM 包中的 seq 为当前的 seq

6. 设置 MISSION_ITEM 包中的 command 为 cmd 包的 id
7. 将 MISSION_ITEM 包发送返回

MISSION_SET_CURRENT, 设置当前运动的任务项

| MSG 编号 | 名字 | 输入输出 |
|------------------|--|------|
| 41 | MISSION_SET_CURRENT | I |
| 描述 | 设置当前运行的任务为指定任务项, 并使用 MISSION_CURRENT 包返回 | |
| 成员 | 类型 | 描述 |
| seq | uint16_t | 序列号 |
| target_system | uint8_t | 保留 |
| target_component | uint8_t | 保留 |

ardupilot 的接收处理流程为:

1. 停止当前执行的命令
2. 如果 seq 为 0, 则设 seq 为 1
3. 如果当前状态不为 MISSION_RUNNING
 - 根据 nav_cmd_loaded 的状态查找所有的 cmd
 - 从 eeprom 中获取 index 指定的 cmd
 - 如果该 cmd 为导航命令, 则将 nav_cmd_loaded 设为 true
 - 如果该 cmd 为执行命令, 则将 index 设为 cmd.index 加 1, 继续进行查找
 - 如果查找失败, 则设置 _nav_cmd.index 为 AP_MISSION_CMD_INDEX_NONE
 - 返回查找结果
4. 根据 nav_cmd_loaded 的状态查找所有的 cmd
 - 从 eeprom 中获取 index 指定的 cmd
 - 如果该 cmd 为导航命令, 则设 nav_cmd_loaded 为 true, 并执行该命令
 - 如果该 cmd 为执行命令, 则检查当前 do_cmd_loaded 状态, 为 false 则执行该命令
5. 将当前运行的 nav_cmd.index 通过 MISSION_CURRENT 包发送返回

MISSION_CURRENT, 当前运动任务号

| MSG 编号 | 名字 | 输入输出 |
|--------|-----------------|-------|
| 42 | MISSION_CURRENT | O |
| 描述 | 发送当前正在运行的任务号 | |
| 成员 | 类型 | 描述 |
| seq | uint16_t | 命令序列号 |

MISSION_REQUEST_LIST, 查询任务总数

| MSG 编号 | 名字 | 输入输出 |
|--------|---------------------------------|------|
| 43 | MISSION_REQUEST_LIST | I |
| 描述 | 接收到这个包后使用 MISSION_COUNT 包返回任务总数 | |
| 成员 | 类型 | 描述 |

| | | |
|------------------|---------|----|
| target_system | uint8_t | 保留 |
| target_component | uint8_t | 保留 |

ardupilot 的接收处理流程为:

1. 将命令总数通过 MISSION_COUNT 包返回

MISSION_COUNT, 任务总数

| MSG 编号 | 名字 | 输入输出 |
|------------------|---------------|-----------|
| 44 | MISSION_COUNT | I/O |
| 描述 | 发送任务总数 | |
| 成员 | 类型 | 描述 |
| count | uint16_t | 任务数量 |
| target_system | uint8_t | 保留 |
| target_component | uint8_t | 保留 |

ardupilot 的接收处理流程为:

1. 比较任务数量是否大于 eeprom 的最大存储任务数, 如果大于则返回一个 ACK 包 (NO_SPACE)
2. 如果任务总数大于包的任务数量, 则设任务总数为包的任务数量
3. 设置 waypoint_timelast_receive 为当前时间
4. 设置 waypoint_receiving 为 true
5. 设置 waypoint_request_i 为 0
6. 设置 waypoint_request_last 为包的任务数量
7. 设置 waypoint_timelast_request 为 0

MISSION_CLEAR_ALL, 清除所有任务

| MSG 编号 | 名字 | 输入输出 |
|------------------|-------------------|-----------|
| 45 | MISSION_CLEAR_ALL | I |
| 描述 | 清除所有任务 | |
| 成员 | 类型 | 描述 |
| target_system | uint8_t | 保留 |
| target_component | uint8_t | 保留 |

ardupilot 的接收处理流程为:

1. 清除所有的航点, 根据执行结果返回一个 ACK 包 (ACCEPTED, TEMPORARILY_REJECTED)

MISSION_ACK, 任务应答包

| MSG 编号 | 名字 | 输入输出 |
|-----------|-------------|-----------|
| 47 | MISSION_ACK | O |
| 描述 | 反馈任务包执行结果 | |
| 成员 | 类型 | 描述 |

| | | |
|------------------|---------|----------------------|
| target_system | uint8_t | 保留 |
| target_component | uint8_t | 保留 |
| type | uint8_t | 任务包处理结果 (MAV_RESULT) |

NAV_CONTROLLER_OUTPUT, 发送导航信息

| MSG 编号 | 名字 | 输入输出 |
|----------------|-----------------------|------------|
| 62 | NAV_CONTROLLER_OUTPUT | 0 |
| 描述 | 发送导航信息 | |
| 成员 | 类型 | 描述 |
| nav_roll | float | 目标横滚角 |
| nav_pitch | float | 目标俯仰角 |
| alt_error | float | 高度差 |
| aspd_error | float | 保留为 0 |
| xtrack_error | float | 保留为 0 |
| nav_bearing | int16_t | 目标航向角 |
| target_bearing | int16_t | 航向误差角 |
| wp_dist | uint16_t | 距离目标地点剩余距离 |

REQUEST_DATA_STREAM, 设置数据流

| MSG 编号 | 名字 | 输入输出 |
|------------------|--------------------------|-----------|
| 66 | REQUEST_DATA_STREAM | I |
| 描述 | 设置传感器, RC 通道等数据流的输出使能和频率 | |
| 成员 | 类型 | 描述 |
| req_message_rate | uint16_t | 数据流速率 |
| target_system | uint8_t | 目标系统 |
| target_component | uint8_t | 目标组件 |
| req_stream_id | uint8_t | 数据流 ID |
| start_stop | uint8_t | 使能 |

ardupilot 的接收处理流程为:

1. 如果 start_stop 为 0, 将频率设为 0
2. 如果 start_stop 为 1, 将频率设为 req_message_rate
3. 根据 req_stream_id 的数据流类型设置对应数据的输出频率, 频率由 req_message_rate 决定

RC_CHANNELS_OVERRIDE, 设置 RC 输入值

| MSG 编号 | 名字 | 输入输出 |
|-----------|----------------------|------|
| 70 | RC_CHANNELS_OVERRIDE | I |
| 描述 | 覆盖 RC 输入通道上的数据 | |

| 成员 | 类型 | 描述 |
|------------------|----------|------|
| chan1_raw | uint16_t | 通道 1 |
| chan2_raw | uint16_t | 通道 2 |
| chan3_raw | uint16_t | 通道 3 |
| chan4_raw | uint16_t | 通道 4 |
| chan5_raw | uint16_t | 通道 5 |
| chan6_raw | uint16_t | 通道 6 |
| chan7_raw | uint16_t | 通道 7 |
| chan8_raw | uint16_t | 通道 8 |
| target_system | uint8_t | 目标系统 |
| target_component | uint8_t | 目标组件 |

ardupilot 的接收处理流程为:

1. 将通道数值写入 RCIN 中
2. 设置 last_heartbeat_ms 为当前时间

VFR_HUD, HUD 信息

| MSG 编号 | 名字 | 输入输出 |
|-------------|-----------|--------------|
| 74 | VFR_HUD | 0 |
| 描述 | 发送 HUD 信息 | |
| 成员 | 类型 | 描述 |
| airspeed | float | 空速 (GPS 的地速) |
| groundspeed | float | 地速 (GPS 的地速) |
| alt | float | 高度 |
| climb | float | 爬升率 |
| heading | int16_t | 航向角 |
| throttle | uint16_t | 油门 |

COMMAND_LONG, 执行指定命令

| MSG 编号 | 名字 | 输入输出 |
|--------|--------------|------|
| 76 | COMMAND_LONG | I |
| 描述 | 执行指定命令 | |
| 成员 | 类型 | 描述 |
| param1 | float | 参数 1 |
| param2 | float | 参数 2 |
| param3 | float | 参数 3 |
| param4 | float | 参数 4 |
| param5 | float | 参数 5 |

| | | |
|------------------|----------|------|
| param6 | float | 参数 6 |
| param7 | float | 参数 7 |
| command | uint16_t | 命令号 |
| target_system | uint8_t | 保留 |
| target_component | uint8_t | 保留 |
| confirmation | uint8_t | |

ardupilot 的接收处理流程为:

1. 根据 command 中的命令执行对应命令
2. 根据执行结果返回 ACK 包

COMMAND_ACK, 命令应答包

| MSG 编号 | 名字 | 输入输出 |
|-----------|-------------|-------------------|
| 77 | COMMAND_ACK | I/O |
| 描述 | 反馈命令执行结果 | |
| 成员 | 类型 | 描述 |
| command | uint16_t | 命令号 (MAV_CMD) |
| result | uint8_t | 执行结果 (MAV_RESULT) |

ardupilot 的接收处理流程为:

1. 设置 command_ack_counter 自加 1

SET_POSITION_TARGET_LOCAL_NED, 设置飞行的相对目标

| MSG 编号 | 名字 | 输入输出 |
|--------------|-------------------------------|-----------|
| 84 | SET_POSITION_TARGET_LOCAL_NED | I |
| 描述 | 设置飞行的相对目标 | |
| 成员 | 类型 | 描述 |
| time_boot_ms | uint32_t | 系统时间 |
| x | float | NED 位置 X |
| y | float | NED 位置 Y |
| z | float | NED 位置 Z |
| vx | float | NED 速度 X |
| vy | float | NED 速度 Y |
| vz | float | NED 速度 Z |
| afx | float | NED 加速度 X |
| afy | float | NED 加速度 Y |
| afz | float | NED 加速度 Z |
| yaw | float | 偏航角 |
| yaw_rate | float | 偏航角速率 |

| | | |
|------------------|----------|------|
| type_mask | uint16_t | 使能标志 |
| target_system | uint8_t | 保留 |
| target_component | uint8_t | 保留 |
| coordinate_frame | uint8_t | 坐标框架 |

ardupilot 的接收处理流程为:

1. 如果当前飞行模式不为 GUIDED 和 AUTO 模式则直接返回
2. 根据 type_mask 来决定是否使用其中的位置, 速度和加速度项

SET_POSITION_TARGET_GLOBAL_INT, 设置飞行的绝对目标

| MSG 编号 | 名字 | 输入输出 |
|------------------|--------------------------------|------------|
| 86 | SET_POSITION_TARGET_GLOBAL_INT | I |
| 描述 | 设置飞行的绝对目标 | |
| 成员 | 类型 | 描述 |
| time_boot_ms | uint32_t | 系统时间 |
| lat_int | int32_t | WGS84 位置 X |
| lon_int | int32_t | WGS84 位置 Y |
| alt | float | 高度 |
| vx | float | NED 速度 X |
| vy | float | NED 速度 Y |
| vz | float | NED 速度 Z |
| afx | float | NED 加速度 X |
| afy | float | NED 加速度 Y |
| afz | float | NED 加速度 Z |
| yaw | float | 偏航角 |
| yaw_rate | float | 偏航角速率 |
| type_mask | uint16_t | 使能标志 |
| target_system | uint8_t | 保留 |
| target_component | uint8_t | 保留 |
| coordinate_frame | uint8_t | 坐标框架 |

ardupilot 的接收处理流程为:

1. 如果当前飞行模式不为 GUIDED 和 AUTO 模式则直接返回
2. 根据 type_mask 来决定是否使用其中的位置, 速度和加速度项

OPTICAL_FLOW, 光流传感器数据

| MSG 编号 | 名字 | 输入输出 |
|-----------|--------------|------|
| 100 | OPTICAL_FLOW | O |
| 描述 | 发送光流传感器的数据 | |

| 成员 | 类型 | 描述 |
|-----------------|----------|-----------|
| time_usec | uint64_t | 系统时间 |
| flow_comp_m_x | float | X 轴上移动的距离 |
| flow_comp_m_y | float | Y 轴上移动的距离 |
| ground_distance | float | 对地距离 |
| flow_x | int16_t | X 轴上移动的像素 |
| flow_y | int16_t | Y 轴上移动的像素 |
| sensor_id | uint8_t | 传感器 ID |
| quality | uint8_t | 光流品质 |

ardupilot 的发送处理流程为:

1. 设置 flow_x(y) 为 flowRate
2. 设置 flow_comp_m_x(y) 为 bodyRate

RADIO, 数据状态

| MSG 编号 | 名字 | 输入输出 |
|-----------|--------------------|-----------|
| 166/109 | RADIO_STATUS/RADIO | I |
| 描述 | 发送数传的传输状态 | |
| 成员 | 类型 | 描述 |
| rxerrors | uint16_t | 收到的错包量 |
| fixed | uint16_t | 收到的可纠正错包量 |
| rsssi | uint8_t | 本地信号强度 |
| remrsssi | uint8_t | 远端信号强度 |
| txbuf | uint8_t | 剩余的发射缓冲空间 |
| noise | uint8_t | 后台噪音强度 |
| remnoise | uint8_t | 远端后台噪音强度 |

ardupilot 的接收处理流程为:

1. 根据 txbuf 的数值来调整所有数据流的传输的频率

SCALED_IMU2, 2 号 imu 原始数据

| MSG 编号 | 名字 | 输入输出 |
|--------------|------------------|-------|
| 116 | SCALED_IMU2 | 0 |
| 描述 | 发送 2 号 IMU 的原始数据 | |
| 成员 | 类型 | 描述 |
| time_boot_ms | uint32_t | 系统时间 |
| xacc | int16_t | 加速计 X |
| yacc | int16_t | 加速计 Y |
| zacc | int16_t | 加速计 Z |
| xgyro | int16_t | 陀螺仪 X |

| | | |
|-------|---------|-------|
| ygyro | int16_t | 陀螺仪 Y |
| zgyro | int16_t | 陀螺仪 Z |
| xmag | int16_t | 罗盘 X |
| ymag | int16_t | 罗盘 Y |
| zmag | int16_t | 罗盘 Z |

LOG_REQUEST_LIST, 查询 log 列表

| MSG 编号 | 名字 | 输入输出 |
|------------------|----------------------------------|-----------|
| 117 | LOG_REQUEST_LIST | I |
| 描述 | 接收该包后返回一个 LOG_ENTRY 包描述 log 列表信息 | |
| 成员 | 类型 | 描述 |
| start | uint16_t | 日志开始序列号 |
| end | uint16_t | 日志结束序列号 |
| target_system | uint8_t | 保留 |
| target_component | uint8_t | 保留 |

ardupilot 的接收处理流程为：

1. 设置_log_num_logs 为 log 数量
2. 设置_log_next_list_entry 为 start, 设置_log_last_list_entry 为 end
3. 设置_log_listing 为 true
4. 根据_log_next_list_entry 从存储器中获得 log 的大小和时间
5. 根据获得的信息返回一个 LOG_ENTRY 包

LOG_ENTRY, log 列表信息

| MSG 编号 | 名字 | 输入输出 |
|--------------|--------------|-----------|
| 118 | LOG_ENTRY | O |
| 描述 | 发送 log 列表的信息 | |
| 成员 | 类型 | 描述 |
| time_utc | uint32_t | UTC 时间 |
| size | uint32_t | log 大小 |
| id | uint16_t | log 开始序列号 |
| num_logs | uint16_t | log 总数 |
| last_log_num | uint16_t | log 结束序列号 |

LOG_REQUEST_DATA, 申请发送 log

| MSG 编号 | 名字 | 输入输出 |
|-----------|--------------------------------|-----------|
| 119 | LOG_REQUEST_DATA | I |
| 描述 | 申请发送 log 数据, 数据根据该包中的信息从存储器中读取 | |
| 成员 | 类型 | 描述 |

| | | |
|------------------|----------|---------|
| ofs | uint32_t | 日志偏移量 |
| count | uint32_t | 字节数 |
| id | uint16_t | 日志 ID 号 |
| target_system | uint8_t | 保留 |
| target_component | uint8_t | 保留 |

ardupilot 的接收处理流程为:

1. 设置_log_listing 为 false
2. 检查_log_sending 是否为发送状态或者 id 号是否和当前发送的 log 号不符, 如果其中一项符合则
 - 设置_log_num_data 为 id
 - 设置_log_data_size 为 log 的大小
 - 设置_log_data_page 为 log 的起始位置
3. 设置_log_data_offset 为 log 的偏移位置
4. 设置_log_data_remaining 为 log 的待发送大小
5. 设置_log_sending 为 true
6. 从存储器中获取数据并通过 LOG_DATA 包进行发送

LOG_DATA, 发送 log 数据

| MSG 编号 | 名字 | 输入输出 |
|-----------|------------------------|-----------|
| 120 | LOG_DATA | 0 |
| 描述 | 发送 log 数据, 每次最大 90 个字节 | |
| 成员 | 类型 | 描述 |
| ofs | uint32_t | log 偏移 |
| id | uint16_t | log 序列号 |
| count | uint8_t | log 字节数 |
| data | uint8_t[90] | log 数据 |

LOG_ERASE, 擦除所有 log 信息

| MSG 编号 | 名字 | 输入输出 |
|------------------|---------------|-----------|
| 121 | LOG_ERASE | I |
| 描述 | 擦除存储器上的所有 log | |
| 成员 | 类型 | 描述 |
| target_system | uint8_t | 保留 |
| target_component | uint8_t | 保留 |

ardupilot 的接收处理流程为:

1. 擦除所有 log

LOG_REQUEST_END, 停止发送 log

| MSG 编号 | 名字 | 输入输出 |
|------------------|-----------------|------|
| 122 | LOG_REQUEST_END | I |
| 描述 | 停止发送 log 信息 | |
| 成员 | 类型 | 描述 |
| target_system | uint8_t | 保留 |
| target_component | uint8_t | 保留 |

ardupilot 的接收处理流程为:

1. 设置_log_sending 为 false

POWER_STATUS, 电源状态

| MSG 编号 | 名字 | 输入输出 |
|--------|---------------|----------|
| 125 | POWER_STATUS | 0 |
| 描述 | 发送系统各个电源的当前状态 | |
| 成员 | 类型 | 描述 |
| Vcc | uint16_t | 系统 5V 状态 |
| Vservo | uint16_t | 伺服电机电源状态 |
| flags | uint16_t | 电源状态 |

SCALED_IMU3, 3 号 imu 原始数据

| MSG 编号 | 名字 | 输入输出 |
|--------------|------------------|-------|
| 129 | SCALED_IMU3 | 0 |
| 描述 | 发送 3 号 IMU 的原始数据 | |
| 成员 | 类型 | 描述 |
| time_boot_ms | uint32_t | 系统时间 |
| xacc | int16_t | 加速计 X |
| yacc | int16_t | 加速计 Y |
| zacc | int16_t | 加速计 Z |
| xgyro | int16_t | 陀螺仪 X |
| ygyro | int16_t | 陀螺仪 Y |
| zgyro | int16_t | 陀螺仪 Z |
| xmag | int16_t | 罗盘 X |
| ymag | int16_t | 罗盘 Y |
| zmag | int16_t | 罗盘 Z |

SENSOR_OFFSETS, 传感器校准数据

| MSG 编号 | 名字 | 输入输出 |
|--------|------------------|------|
| 150 | SENSOR_OFFSETS | 0 |
| 描述 | 1 号 IMU 传感器的校准数据 | |

| 成员 | 类型 | 描述 |
|-----------------|---------|-----------|
| mag_declination | float | 磁偏角 |
| raw_press | int32_t | 气压计的气压值 |
| raw_temp | int32_t | 气压计的温度 |
| gyro_cal_x | float | 陀螺仪 X 校正量 |
| gyro_cal_y | float | 陀螺仪 Y 校正量 |
| gyro_cal_z | float | 陀螺仪 Z 校正量 |
| accel_cal_x | float | 加速度 X 校正量 |
| accel_cal_y | float | 加速度 Y 校正量 |
| accel_cal_z | float | 加速度 Z 校正量 |
| mag_ofs_x | int16_t | 罗盘 X 校正量 |
| mag_ofs_y | int16_t | 罗盘 Y 校正量 |
| mag_ofs_z | int16_t | 罗盘 Z 校正量 |

MEMINFO, 内存信息

| MSG 编号 | 名字 | 输入输出 |
|---------|-------------|--------|
| 152 | MEMINFO | 0 |
| 描述 | 当前系统的内存使用情况 | |
| 成员 | 类型 | 描述 |
| brkval | uint16_t | 堆头 |
| freemem | uint16_t | 剩余内存容量 |

FENCE_STATUS, 未实现

| MSG 编号 | 名字 | 输入输出 |
|--------|--------------|------|
| 162 | FENCE_STATUS | 0 |
| 描述 | 未实现 | |
| 成员 | 类型 | 描述 |

AHRS, 姿态解算信息

| MSG 编号 | 名字 | 输入输出 |
|--------------|--------|---------|
| 163 | AHRS | 0 |
| 描述 | 姿态解算信息 | |
| 成员 | 类型 | 描述 |
| omegaIx | float | 陀螺仪积分 X |
| omegaIy | float | 陀螺仪积分 Y |
| omegaIz | float | 陀螺仪积分 Z |
| accel_weight | float | 保留为 0 |
| renorm_val | float | 保留为 0 |

| | | |
|-----------|-------|-------------------|
| error_rp | float | imu 和 gps 之间的差值 |
| error_yaw | float | imu 和罗盘/GPS 之间的差值 |

HWSTATUS, 硬件状态信息

| MSG 编号 | 名字 | 输入输出 |
|--------|----------|-------------|
| 165 | HWSTATUS | 0 |
| 描述 | 描述当前硬件状态 | |
| 成员 | 类型 | 描述 |
| Vcc | uint16_t | 系统 5V 电压值 |
| I2Cerr | uint8_t | I2C 传输失败计数器 |

RANGEFINDER, 测距器信息

| MSG 编号 | 名字 | 输入输出 |
|----------|-------------|------|
| 173 | RANGEFINDER | 0 |
| 描述 | 测距器状态信息 | |
| 成员 | 类型 | 描述 |
| distance | float | 测距值 |
| voltage | float | 电压值 |

EKF_STATUS_REPORT, EKF 状态信息

| MSG 编号 | 名字 | 输入输出 |
|--------------------|-------------------|-------------|
| 193 | EKF_STATUS_REPORT | 0 |
| 描述 | 描述 EKF 当前工作状态信息 | |
| 成员 | 类型 | 描述 |
| velocity_variance | float | 速度方差 |
| pos_horiz_variance | float | 位置水平方差 |
| pos_vert_variance | float | 位置垂直方差 |
| compass_variance | float | 罗盘方差 |
| tas_variance | float | 空速方差 |
| flags | uint16_t | EKF 各组件工作状态 |

PID_TUNING, 内环 pid 状态

| MSG 编号 | 名字 | 输入输出 |
|----------|------------------|-------|
| 194 | PID_TUNING | 0 |
| 描述 | 描述当前内环 PID 的状态信息 | |
| 成员 | 类型 | 描述 |
| desired | float | 期望角速率 |
| achieved | float | 实际角速率 |

| | | |
|------|---------|---------|
| FF | float | PID 最大值 |
| P | float | P 值 |
| I | float | I 值 |
| D | float | D 值 |
| axis | uint8_t | 轴通道 |

VIBRATION, 机体震动状态

| MSG 编号 | 名字 | 输入输出 |
|-------------|-------------|------------------|
| 241 | VIBRATION | 0 |
| 描述 | 描述当前机体的震动状态 | |
| 成员 | 类型 | 描述 |
| time_usec | uint64_t | 系统时间 |
| vibration_x | float | X 轴震动等级 |
| vibration_y | float | Y 轴震动等级 |
| vibration_z | float | Z 轴震动等级 |
| clipping_0 | uint32_t | 加速计 1 的 G 值临界计数器 |
| clipping_1 | uint32_t | 加速计 2 的 G 值临界计数器 |
| clipping_2 | uint32_t | 加速计 3 的 G 值临界计数器 |

STATUSTEXT, 发送文字信息

| MSG 编号 | 名字 | 输入输出 |
|-----------|--------------------|-----------|
| 253 | STATUSTEXT | 0 |
| 描述 | 发送文字信息, 最大为 50 个字节 | |
| 成员 | 类型 | 描述 |
| severity | uint8_t | 安全等级 |
| text | char[50] | 字符信息 |

附录 1: MAV_CMD

| 编号 | 名字 |
|-----------|--------------|
| 16 | NAV_WAYPOINT |
| 成员 | 描述 |
| param_1 | 停留时间 |
| param_2 | |
| param_3 | |
| param_4 | |
| param_5 | 纬度 |
| param_6 | 经度 |
| param_7 | 高度 |

| 编号 | 名字 |
|----|----|
|----|----|

| | |
|-----------|------------------|
| 17 | NAV_LOITER_UNLIM |
| 成员 | 描述 |
| param_1 | |
| param_2 | |
| param_3 | 旋转方向 |
| param_4 | |
| param_5 | 纬度 |
| param_6 | 经度 |
| param_7 | 高度 |

| | |
|-----------|--------------------|
| 编号 | 名字 |
| 18 | NAV_LOITER_TURNS |
| 成员 | 描述 |
| param_1 | 转圈次数 |
| param_2 | |
| param_3 | 任务半径, 旋转方向使用正负进行区分 |
| param_4 | |
| param_5 | 纬度 |
| param_6 | 经度 |
| param_7 | 高度 |

| | |
|-----------|-----------------|
| 编号 | 名字 |
| 19 | NAV_LOITER_TIME |
| 成员 | 描述 |
| param_1 | 时间 |
| param_2 | |
| param_3 | 旋转方向 |
| param_4 | |
| param_5 | 纬度 |
| param_6 | 经度 |
| param_7 | 高度 |

| | |
|-----------|----------------------|
| 编号 | 名字 |
| 20 | NAV_RETURN_TO_LAUNCH |
| 成员 | 描述 |
| param_1 | |
| param_2 | |
| param_3 | |
| param_4 | |
| param_5 | 纬度 |
| param_6 | 经度 |
| param_7 | 高度 |

| 编号 | 名字 |
|---------|----------|
| 21 | NAV_LAND |
| 成员 | 描述 |
| param_1 | |
| param_2 | |
| param_3 | |
| param_4 | |
| param_5 | 纬度 |
| param_6 | 经度 |
| param_7 | 高度 |

| 编号 | 名字 |
|---------|-------------|
| 22 | NAV_TAKEOFF |
| 成员 | 描述 |
| param_1 | |
| param_2 | |
| param_3 | |
| param_4 | |
| param_5 | 纬度 |
| param_6 | 经度 |
| param_7 | 高度 |

| 编号 | 名字 |
|---------|---------------------|
| 82 | NAV_SPLINE_WAYPOINT |
| 成员 | 描述 |
| param_1 | 时间 |
| param_2 | |
| param_3 | |
| param_4 | |
| param_5 | 纬度 |
| param_6 | 经度 |
| param_7 | 高度 |

| 编号 | 名字 |
|---------|-------------------|
| 92 | NAV_GUIDED_ENABLE |
| 成员 | 描述 |
| param_1 | 使能 |
| param_2 | |
| param_3 | |
| param_4 | |
| param_5 | |
| param_6 | |
| param_7 | |

| 编号 | 名字 |
|---------|-----------------|
| 112 | CONDITION_DELAY |
| 成员 | 描述 |
| param_1 | 时间 |
| param_2 | |
| param_3 | |
| param_4 | |
| param_5 | |
| param_6 | |
| param_7 | |

| 编号 | 名字 |
|---------|---------------|
| 115 | CONDITION_YAW |
| 成员 | 描述 |
| param_1 | 目标航向角 |
| param_2 | 偏航角速率 |
| param_3 | 正反旋转 |
| param_4 | 相对绝对 |
| param_5 | |
| param_6 | |
| param_7 | |

| 编号 | 名字 |
|---------|---------|
| 177 | DO_JUMP |
| 成员 | 描述 |
| param_1 | 序列号 |
| param_2 | 重复次数 |
| param_3 | |
| param_4 | |
| param_5 | |
| param_6 | |
| param_7 | |

| 编号 | 名字 |
|---------|-----------------|
| 178 | DO_CHANGE_SPEED |
| 成员 | 描述 |
| param_1 | 速度类型 |
| param_2 | 目标速度 |
| param_3 | 油门 |
| param_4 | |
| param_5 | |
| param_6 | |

| | |
|---------|--|
| param_7 | |
|---------|--|

| 编号 | 名字 |
|---------|-------------|
| 179 | DO_SET_HOME |
| 成员 | 描述 |
| param_1 | 是否使用当前位置 |
| param_2 | |
| param_3 | |
| param_4 | |
| param_5 | 纬度 |
| param_6 | 经度 |
| param_7 | 高度 |

| 编号 | 名字 |
|---------|--------------|
| 181 | DO_SET_RELAY |
| 成员 | 描述 |
| param_1 | 继电器号 |
| param_2 | 使能 |
| param_3 | |
| param_4 | |
| param_5 | |
| param_6 | |
| param_7 | |

| 编号 | 名字 |
|---------|-----------------|
| 182 | DO_REPEAT_RELAY |
| 成员 | 描述 |
| param_1 | 继电器号 |
| param_2 | 开启次数 |
| param_3 | 开启时间 |
| param_4 | |
| param_5 | |
| param_6 | |
| param_7 | |

| 编号 | 名字 |
|---------|--------------|
| 183 | DO_SET_SERVO |
| 成员 | 描述 |
| param_1 | 伺服输出通道 |
| param_2 | 输出值 |
| param_3 | |
| param_4 | |
| param_5 | |

| | |
|---------|--|
| param_6 | |
| param_7 | |

| 编号 | 名字 |
|---------|-----------------|
| 184 | DO_REPEAT_SERVO |
| 成员 | 描述 |
| param_1 | 伺服输出通道 |
| param_2 | 输出值 |
| param_3 | 开启次数 |
| param_4 | 开启时间 |
| param_5 | |
| param_6 | |
| param_7 | |

| 编号 | 名字 |
|---------|------------|
| 201 | DO_SET_ROI |
| 成员 | 描述 |
| param_1 | 兴趣点类型 |
| param_2 | |
| param_3 | |
| param_4 | |
| param_5 | 纬度 |
| param_6 | 经度 |
| param_7 | 高度 |

| 编号 | 名字 |
|---------|----------------------|
| 202 | DO_DIGICAM_CONFIGURE |
| 成员 | 描述 |
| param_1 | |
| param_2 | |
| param_3 | |
| param_4 | |
| param_5 | |
| param_6 | |
| param_7 | |

| 编号 | 名字 |
|---------|--------------------|
| 203 | DO_DIGICAM_CONTROL |
| 成员 | 描述 |
| param_1 | |
| param_2 | |
| param_3 | |
| param_4 | |

| | |
|---------|--|
| param_5 | |
| param_6 | |
| param_7 | |

| 编号 | 名字 |
|---------|-----------------------|
| 206 | DO_SET_CAM_TRIGG_DIST |
| 成员 | 描述 |
| param_1 | |
| param_2 | |
| param_3 | |
| param_4 | |
| param_5 | |
| param_6 | |
| param_7 | |

| 编号 | 名字 |
|---------|-----------------|
| 207 | DO_FENCE_ENABLE |
| 成员 | 描述 |
| param_1 | 使能 |
| param_2 | |
| param_3 | |
| param_4 | |
| param_5 | |
| param_6 | |
| param_7 | |

| 编号 | 名字 |
|---------|--------------|
| 208 | DO_PARACHUTE |
| 成员 | 描述 |
| param_1 | |
| param_2 | |
| param_3 | |
| param_4 | |
| param_5 | |
| param_6 | |
| param_7 | |

| 编号 | 名字 |
|---------|---------------|
| 209 | DO_MOTOR_TEST |
| 成员 | 描述 |
| param_1 | |
| param_2 | |
| param_3 | |

| | |
|---------|--|
| param_4 | |
| param_5 | |
| param_6 | |
| param_7 | |

| 编号 | 名字 |
|---------|------------|
| 211 | DO_GRIPPER |
| 成员 | 描述 |
| param_1 | |
| param_2 | |
| param_3 | |
| param_4 | |
| param_5 | |
| param_6 | |
| param_7 | |

| 编号 | 名字 |
|---------|------------------|
| 222 | DO_GUIDED_LIMITS |
| 成员 | 描述 |
| param_1 | |
| param_2 | |
| param_3 | |
| param_4 | |
| param_5 | |
| param_6 | |
| param_7 | |

| 编号 | 名字 |
|---------|-----------------------|
| 241 | PREFLIGHT_CALIBRATION |
| 成员 | 描述 |
| param_1 | |
| param_2 | |
| param_3 | |
| param_4 | |
| param_5 | |
| param_6 | |
| param_7 | |

| 编号 | 名字 |
|---------|------------------------------|
| 242 | PREFLIGHT_SET_SENSOR_OFFSETS |
| 成员 | 描述 |
| param_1 | |
| param_2 | |

| | |
|---------|--|
| param_3 | |
| param_4 | |
| param_5 | |
| param_6 | |
| param_7 | |

| 编号 | 名字 |
|---------|---------------------------|
| 246 | PREFLIGHT_REBOOT_SHUTDOWN |
| 成员 | 描述 |
| param_1 | |
| param_2 | |
| param_3 | |
| param_4 | |
| param_5 | |
| param_6 | |
| param_7 | |

| 编号 | 名字 |
|---------|---------------|
| 300 | MISSION_START |
| 成员 | 描述 |
| param_1 | |
| param_2 | |
| param_3 | |
| param_4 | |
| param_5 | |
| param_6 | |
| param_7 | |

| 编号 | 名字 |
|---------|----------------------|
| 400 | COMPONENT_ARM_DISARM |
| 成员 | 描述 |
| param_1 | |
| param_2 | |
| param_3 | |
| param_4 | |
| param_5 | |
| param_6 | |
| param_7 | |

| 编号 | 名字 |
|---------|--------------------------------|
| 520 | REQUEST_AUTOPILOT_CAPABILITIES |
| 成员 | 描述 |
| param_1 | |

| | |
|---------|--|
| param_2 | |
| param_3 | |
| param_4 | |
| param_5 | |
| param_6 | |
| param_7 | |

第六章 Pid 控制

第七章 相关实验测试

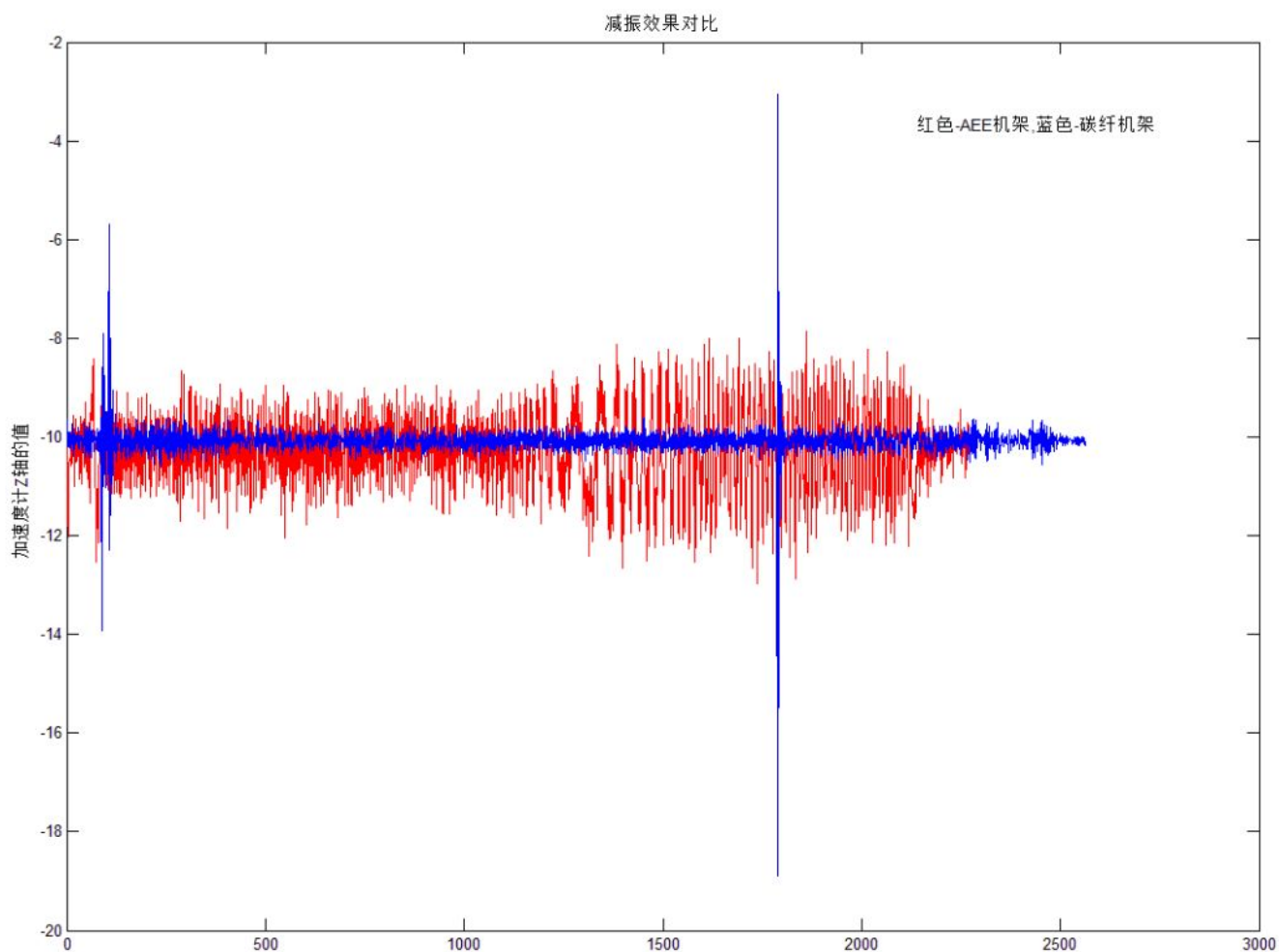
实验一 IMU 减振实验报告分析

（本实验作者：邹荣）

本次实验主要是研究机架、桨叶以及电机对 IMU 传感器振动干扰的影响情况。实验中分别对 AP10 机架、采购的碳纤机架、Tmotor 桨叶、大疆桨叶、AP10 自带电机以及大疆电机分别进行对比实验。

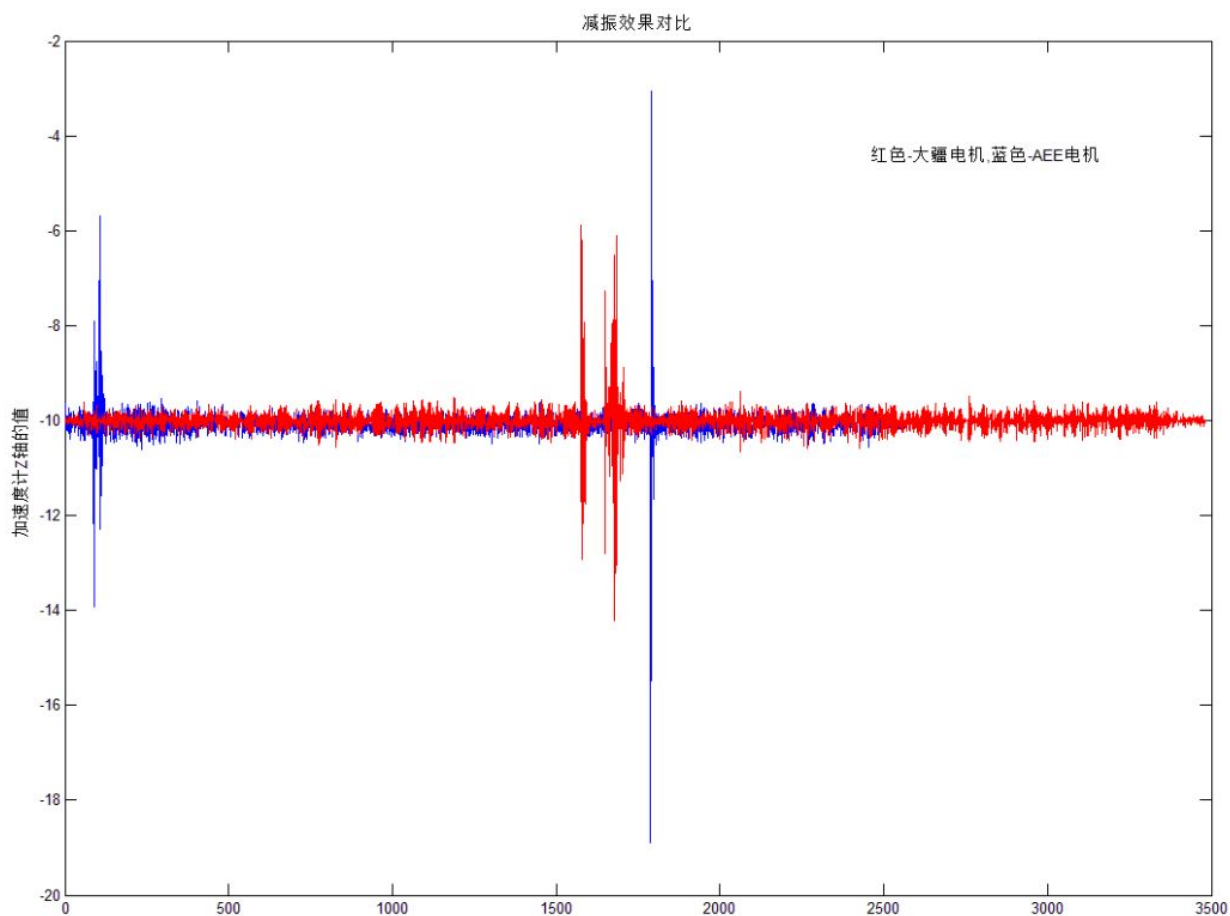
本次实验分别进行了如下 6 次对比测试：

第一次实验：不带桨叶，采用 AP10 机架和碳纤机架开电机进行对比测试（电机、电调、主板都采用的是 AP10 的配置），记录 IMU 的加速度计 Z 轴的原始数据对比如下：



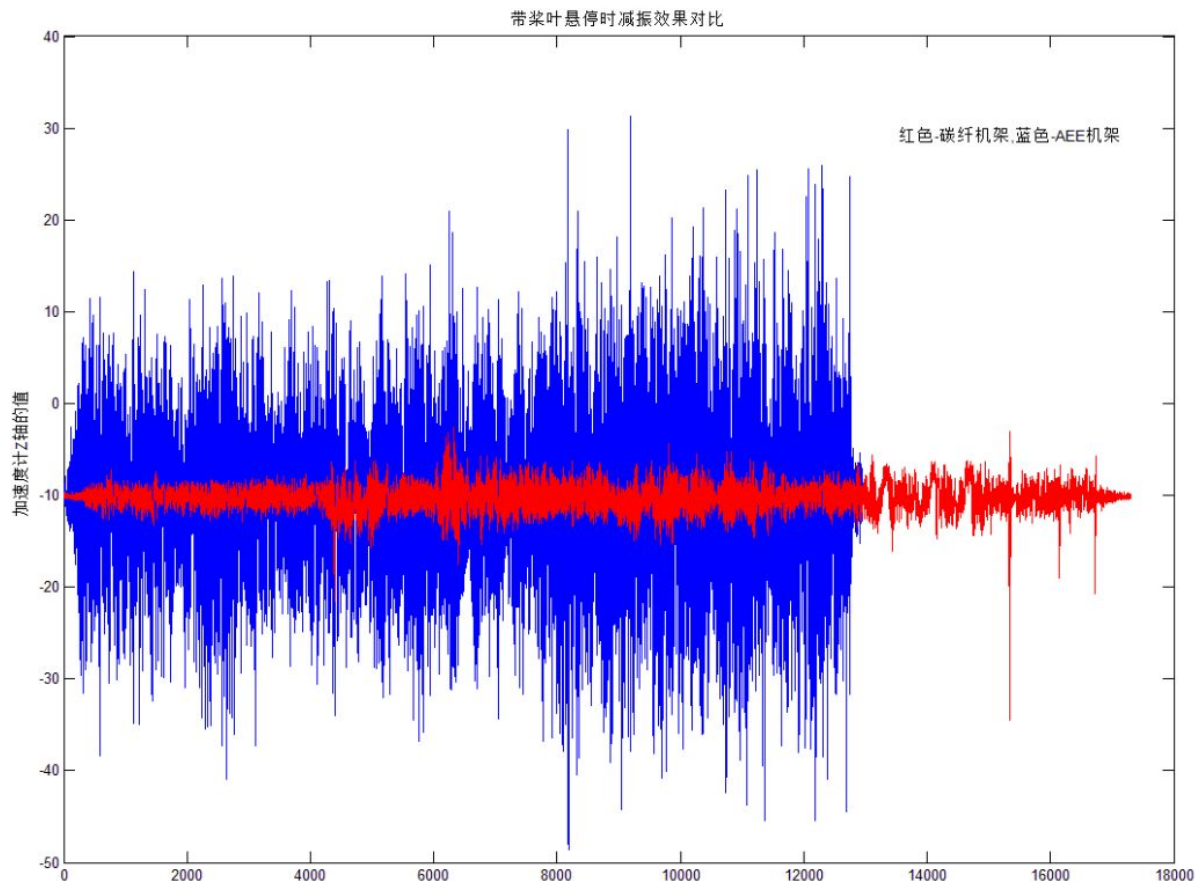
从图中可以看出：采用碳纤维机架可以明显的降低高频噪声对 IMU 加速度计的干扰。

第二次实验：不带桨叶，分别对大疆电机和 AP10 自带电机进行对比测试（其他配置均一致，都采用碳纤维机架和 AP10 自带电调以及主板），记录 IMU 的加速度计 Z 轴的原始数据对比如下：



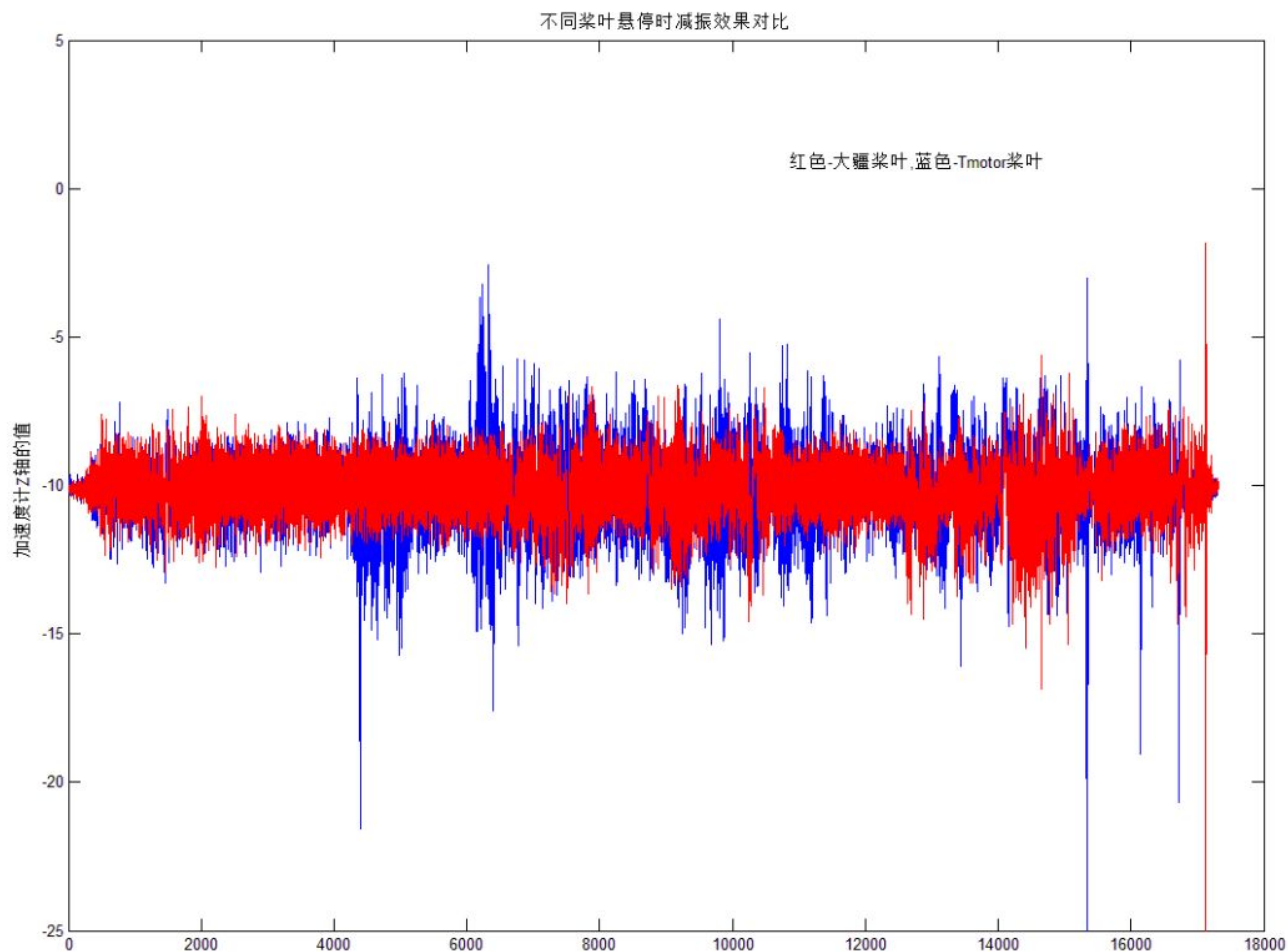
从图中可以看出，平稳状态下大疆电机对 IMU 造成的高频噪声比 AP10 自带的电机更小一些（图中变换比较大的部分是由于油门打杆导致的）。

第三次实验：带 Tmotor 桨叶悬停飞行，**分别对 AP10 机架和碳纤机架进行对比测试**（其他配置均一致，都采 AP10 自带的电机、电调以及主板），记录 IMU 的加速度计 Z 轴的原始数据对比如下：



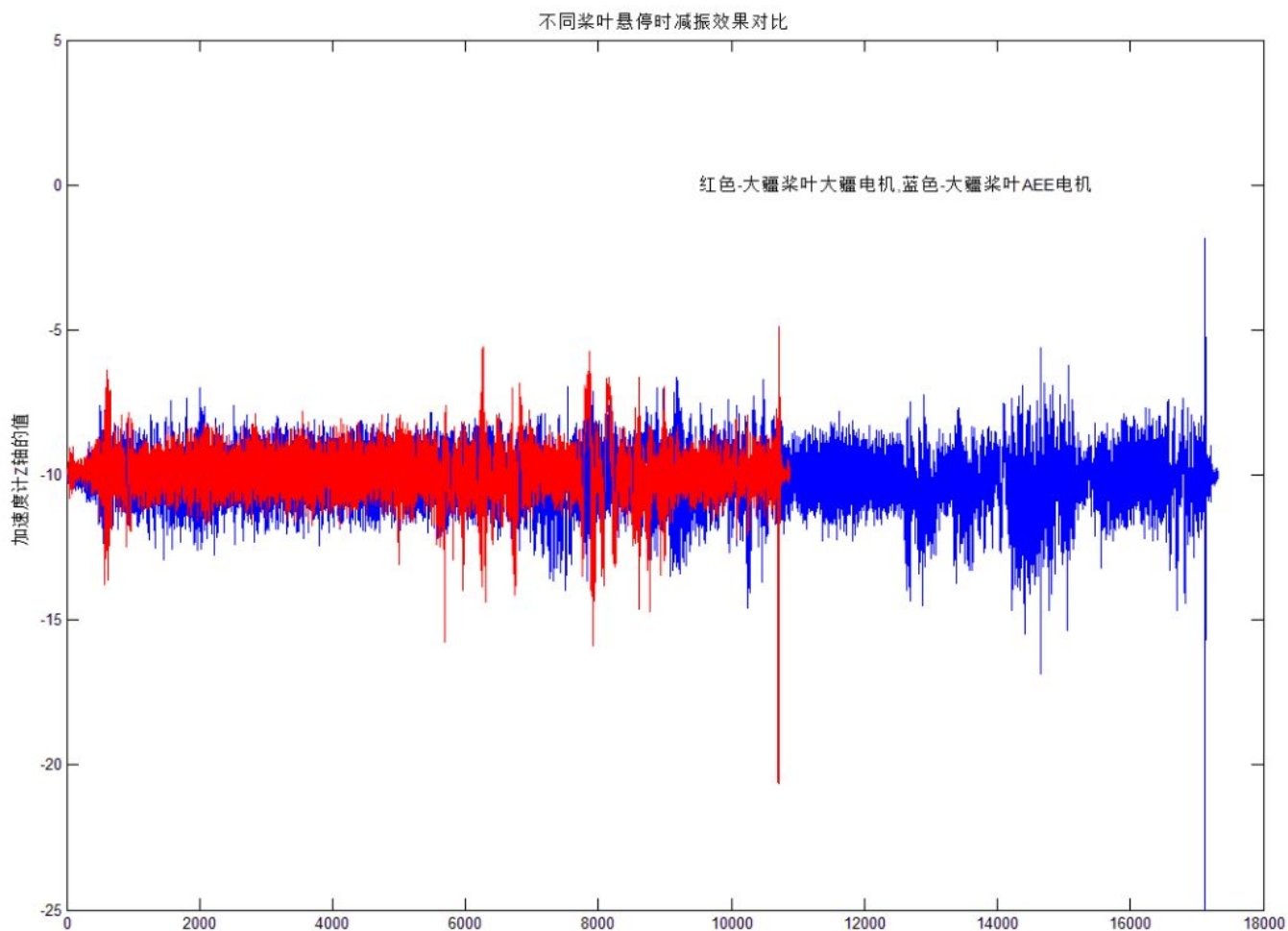
从图中可以看出：在悬停飞行时，采用碳纤机架对比 AP10 机架可以明显的降低高频噪声对 IMU 加速度计原始数据的干扰。

第四次实验：悬停飞行，**分别对大疆桨叶和 Tmotor 桨叶进行对比测试**（其他配置均一致，都采碳纤机架，AP10 自带的电机、电调以及主板），记录 IMU 的加速度计 Z 轴的原始数据对比如下：



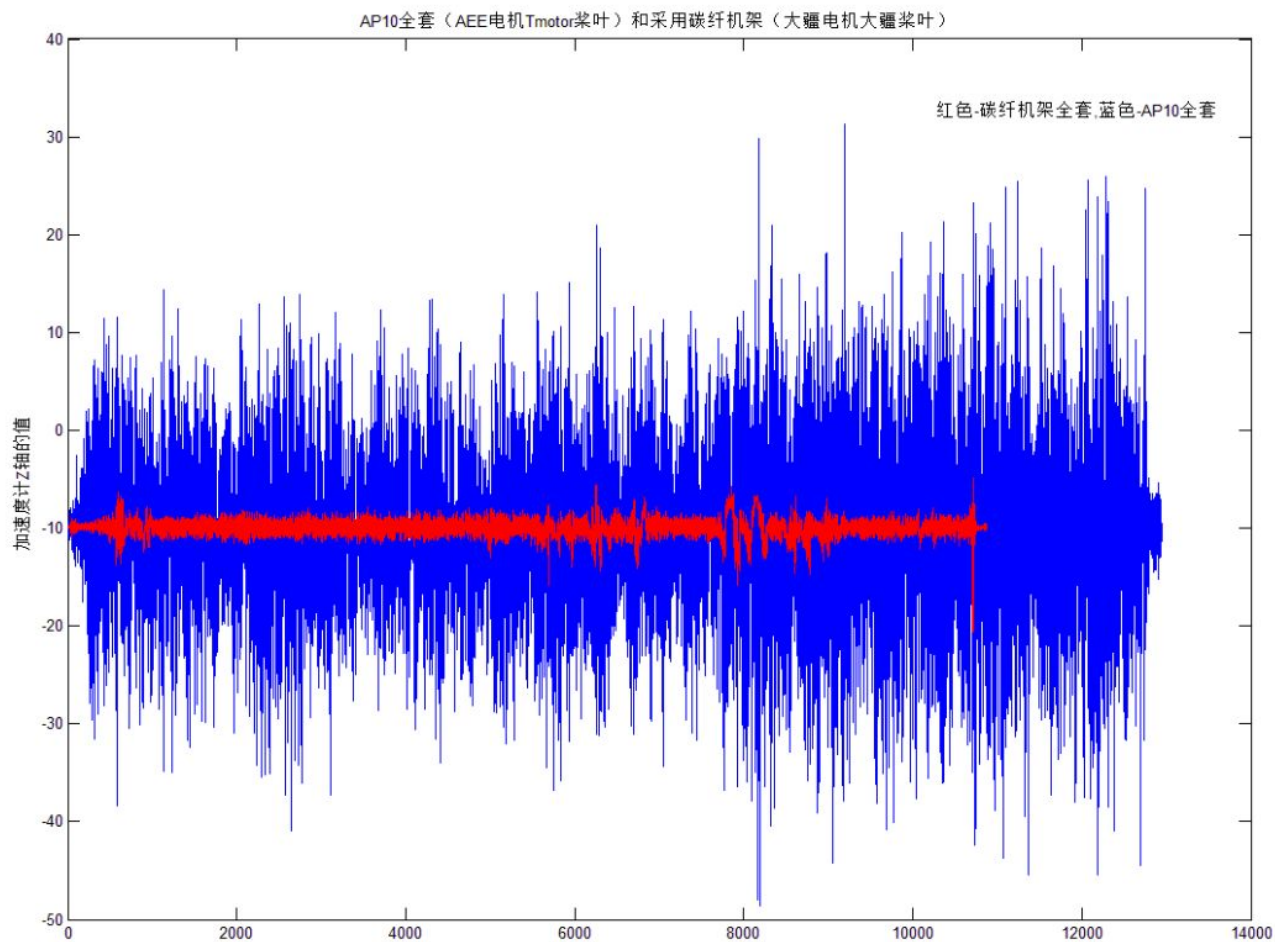
从图中可知：大疆桨叶相对 Tmotor 桨叶对 IMU 的加速度计 Z 轴产生的高频噪声干扰相对来说会更小一些。

第五次实验：带大疆桨叶悬停飞行，分别对大疆电机和 AP10 自带的电机进行对比测试（其他配置均一致，都采碳纤机架、AP10 自带的电调以及主板），记录 IMU 的加速度计 Z 轴的原始数据对比如下：



从图中可知：大疆电机相对 AP10 自带的电机对 IMU 的加速度计 Z 轴产生的高频噪声干扰相对来说会更小一些。

第六次实验：悬停飞行，分别对 AP10 飞机（AP10 自带的电机、电调、主板以及 Tmotor 桨叶）和采用碳纤机架组装的飞机（AP10 主板、AP10 自带电调、大疆电机以及大疆桨叶）进行对比测试，记录 IMU 的加速度计 Z 轴的原始数据对比如下：



总结：从整个实验分析来看，机架、电机、桨叶对 IMU 振动噪声都会带来不同程度的影响。

